

10/85

الجمهوريّة الجزائريّة الديموقراطية الشعوبية

REPUBLIQUE ALGERIENNE DEMOCRATIQUE ET POPULAIRE

وزارة التعليم و البحث العلمي

MINISTERE DE L'ENSEIGNEMENT ET DE LA RECHERCHE SCIENTIFIQUE

BIBLIOTHEQUE

ECOLE NATIONALE POLYTECHNIQUE

DEPARTEMENT : GENIE CHIMIQUE

PROJET DE FIN D'ETUDES

EN VUE DE L'OBTENTION DU DIPLOME D'INGENIEUR

S U J E T

CONCEPTION ET REALISATION
D'UN APPAREIL DE MESURE DE
TENSION DE VAPEUR

Proposé par :

- Pr. S.E. CHITOUR

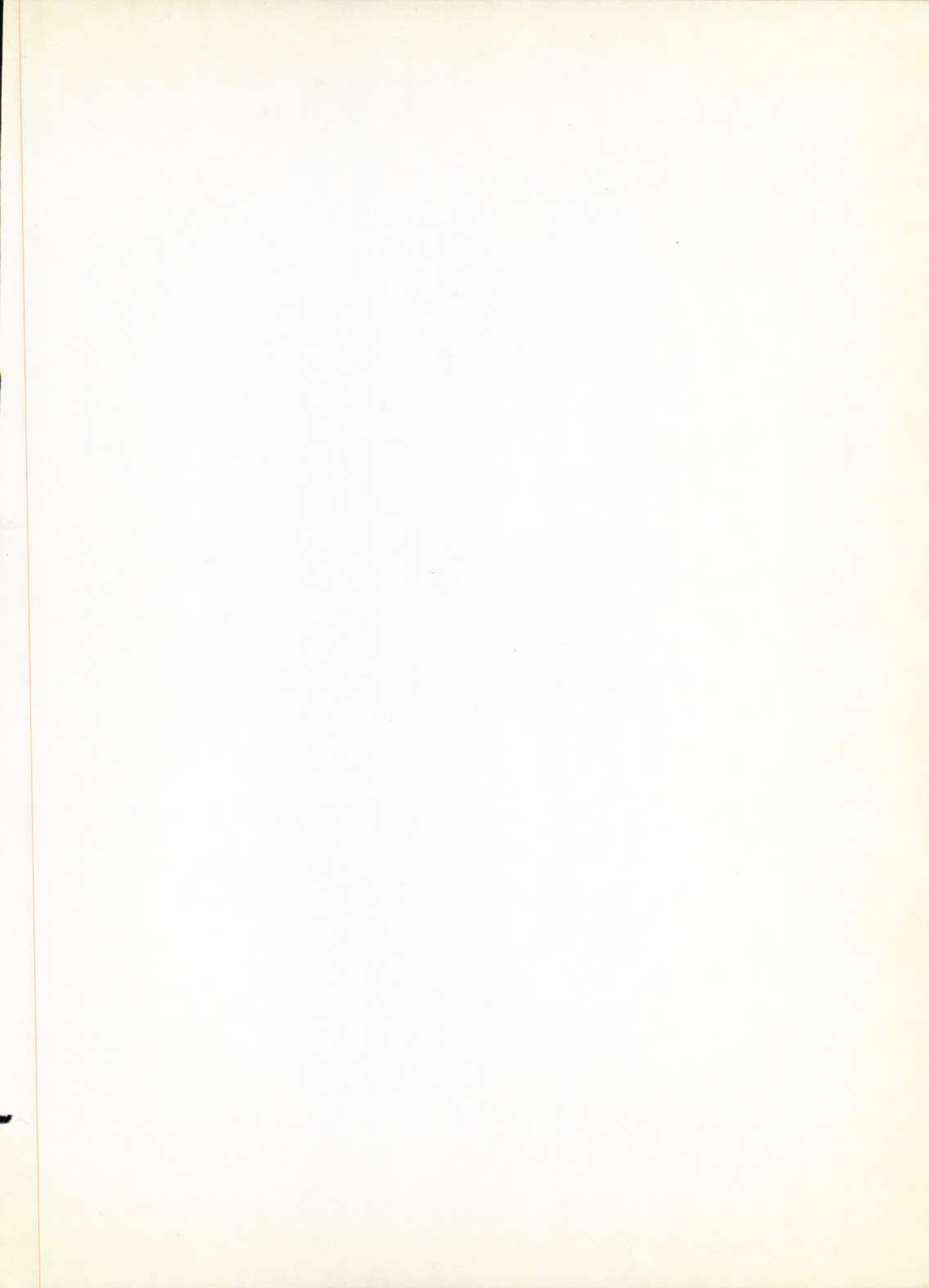
Etudié par :

D.E. LEGHERABA

Dirigé par :

- Pr. S.E. CHITOUR
- Mme AMEFTI

PROMOTION : JUIN 85



الجمهورية الجزائرية الديمقراطية الشعبية
REPUBLIQUE ALGERIENNE DEMOCRATIQUE ET POPULAIRE

وزارة التعليم و البحث العلمي
MINISTÈRE DE L'ENSEIGNEMENT ET DE LA RECHERCHE SCIENTIFIQUE

ECOLE NATIONALE POLYTECHNIQUE

DEPARTEMENT : GENIE CHIMIQUE

PROJET DE FIN D'ETUDES

EN VUE DE L'OBTENTION DU DIPLOME D'INGENIEUR

S U J E T

CONCEPTION ET REALISATION
D'UN APPAREIL DE MESURE DE
TENSION DE VAPEUR

Proposé par :

- Pr. S.E. CHITOUR

Etudié par :

D.E. LEGHERABA

Dirigé par :

- Pr. S.E. CHITOUR
- Mme A'MEFTI

PROMOTION : JUIN 85

partement : GENIE CHIMIQUE

moteur : Monsieur CHITOUR - Mme MEFTI.

ve Ingénieur : LEGHERABA Djamel Eddine

ملحة : الهندسة الكيميائية
موجه : السيد شيتور والسيدة مفتى
للمهندس من: لفرابة جمال الدين

الموضوع : دراسة وانجاز جهاز يسمح بقياس الضغط الهوائي

الملخص : يتمثل البحث في دراسة وانجاز جهاز يسمح بقياس دقيق لضغط الهوائي
لل أجسام الصافية ومجموعة الأجسام الصافية والأجزاء البترولية
في المرحلة الثانية نقارن نتائجنا متحصل عليها بالتجربة تطابقها مع النتائج
النظيرية ووسائل تجربة أخرى ،وند فيما ايضا حرارة التبخر لمختلف الأجسام الصافية وجموعة الأجسم
الصافية والأجزاء البترولية ،

أ : Conception et Réalisation d'un appareil de mesure de tension de vapeur
 المهم : Il s'agit de concevoir et de construire un appareil permettant de mesurer les tensions de vapeurs de corps purs, de corps purs en mélange et des fractions pétrolières.
 Dans un second temps nous avons comparé les résultats obtenus expérimentalement avec ceux calculés par différentes corrélations et par d'autre méthodes cités dans la littérature, nous avons aussi calculé les chaleurs de vaporisation pour les différentes familles de corps purs, de mélange de corps purs et des fractions pétrolières.

B : Conceving and Making an apparatus which measure thes vapor pressure،

المهم : It's about conceving and making an apparatus which may hilp to accurately measure tensions of vapor, pur corps and combined pur corps and petroleum fragments.
 Then we have checked the experimently obtained measures are théorically proved, and by means of other experimental methods and correlations we have also calculated heats of vaporization of the different ranger of pur corps, and courbined pur corps and petroleum fragments.

DEDICACE

Je dédie ce modeste et sérieux travail

à :

- mes parents
- ma famille
- tous mes camarades et Amis(es)

LEGHERABA Djamel Eddine

Legheraba

REMERCIEMENTS

Le présent travail a été réalisé au département de génie chimique de l'école nationale polytechnique.

Au terme de ce travail qu'il me soit permis d'adresser mes vifs remerciements à monsieur S.E. CHITOUR professeur et directeur de l'école nationale polytechnique, pour m'avoir suggéré un tel sujet et m'avoir guidé durant ce projet.

J'exprime mes sincères remerciements à Madame A. METTI - maître assistante à l'ENP pour m'avoir guidé tout au long de cette étude.

Je remercie monsieur R. BELABBES - professeur et directeur de la post-graduation à l'ENP pour l'aide et les conseils qu'il m'a prodigues et pour avoir bien voulu accepter de faire partie de mon jury.

J'exprime mes remerciements à Madame R. DERRICHE chargée de cours à l'ENP d'avoir accepté de présider le Jury.

Je remercie M^E H. GUERMOUCHE Professeur à l'USTHB de l'honneur qu'il me fait en participant au Jury.

Mes remerciements vont enfin à M^E KHETIB menuisier de l'ENP pour l'aide précieuse dans la réalisation du support et tous ceux qui ont contribués de près ou de loin à la réalisation de ce travail.

- MEMBRES DU JURY -

Président : - Madame R. DERRICHE
chargée de cours à l'ENP.

Examinateurs: - Monsieur S.E. CHITOUR
professeur à l'ENP

- Monsieur R. BELABBES
professeur à l'ENP .

- Madame A. MEFTI
maître assistante à l'ENP

Invité : - Monsieur M.H. GUERMOUCHE
professeur à l'U.S.T.H.B.

INTRODUCTION

Ce travail a pour objet la conception et la construction d'un appareil, réalisé au laboratoire à partir d'éléments simples, permettant la mesure avec précision des tensions de vapeur de corps purs, de corps purs en mélange et des fractions pétrolières.

Dans une première partie bibliographique et théorique le point sera fait sur l'étude des tensions de vapeur et la comparaison des différentes corrélations proposées.

Ensuite nous procéderons à la mesure expérimentale des tensions de vapeur des corps purs, des mélanges de corps pur et des fractions pétrolières. Après avoir élaboré un appareil de mesure des tensions de vapeur.

Après cela, il s'agira pour nous d'utiliser nos résultats expérimentaux, afin d'une part de les comparer avec ceux de la théorie et d'autre part de calculer les chaleurs de vaporisation pour les différentes familles de corps purs, Mélanges et fractions pétrolières.

Enfin; nous utiliserons les valeurs de la tension de vapeur pour accéder à d'autres paramètres ($M, d, T_e \dots$) par la méthode de construction de Nomogramme, ainsi que le calcul de la contribution dans la chaleur de vaporisation du groupement $-CH_2-$ pour les différentes familles d'hydrocarbures.

Chapitre : 1

ETUDE THERMODYNAMIQUE DE LA TENSION DE VAPEUR

I - INTRODUCTION :

L'industrie du raffinage met en oeuvre des techniques de séparation et de transformation permettant de produire à partir du pétrole brut l'éventail complet de produits commerciaux allant des gaz jusqu'au coke. Chaque produit répond à des spécifications bien définies pour pouvoir être commercialisé.

Parmi ces spécifications, la tension de vapeur joue un rôle important. Les spécifications de tension de vapeur imposent un maximum à ne pas dépasser (800 g/cm^2 en hiver - 650 g/cm^2 en été) pour les essences les éléments volatils favorisent le démarrage à froid en hiver, mais risquent de provoquer le givrage du carburateur pendant la mise en température du moteur, par suite de l'humidité atmosphérique. On remédie à cet inconvénient en limitant la tension de vapeur et en ajoutant des additifs antigivres; de même en été, une trop forte proportion d'hydrocarbures légers peut provoquer l'arrêt du moteur par formation d'un "bouchon de vapeur". La tension de vapeur conditionne directement les pertes au cours du stockage et de la manutention. Les ennuis causés par la variation anarchique de la tension de vapeur, nous impose son étude afin de délimiter le domaine dans lequel doit se situer la tension de vapeur des produits pétroliers.

Plusieurs raffineurs du pétrole prévoient que la qualité des essences à l'horizon 1990 doit subir une variation de la pression Reid à $37,8^\circ\text{C}$. Cette variation au futur est due à l'élargissement de la coupe de distillation ce qui entraîne une élévation de la tension de vapeur afin d'avoir un rendement plus élevé en essences sur les bruts. Il ne faut pas exclure un relevage de la pression

le vapeur jusqu'à 0,9 bar en hiver et 0,7 bar en été. Cela supposerait l'harmonisation de la législation sur le transport des carburants. Un tel relevé favoriserait l'incorporation des composés oxygénés aux essences.

- Phénomène de saturation - Expérience de Toricelli.

On sait que si l'on verse une longue éprouvette remplie de mercure au dessus d'une cuve à mercure, le niveau du liquide se stabilise dans l'éprouvette à une hauteur H qui correspond à la pression atmosphérique s'exerçant sur la surface libre du mercure contenu dans la cuve, au sommet de l'éprouvette au dessus du $Hg(l)$, se trouve de la vapeur de Hg dont la pression à température ambiante est très faible et peut être négligée. A l'aide d'une pipette en courbée introduisons une goutte d'un liquide très volatil, de l'ether par exemple (Expérience de Toricelli) dans l'éprouvette. Elle se vaporise rapidement et le niveau de mercure descend d'une hauteur h . La pression qui régne donc à l'intérieur de ce volume de vapeur est :

$$P = h$$

si P est exprimée en torr et h en mm

$$\text{ou } P = g \cdot g \cdot h$$

avec P en Pascal ; g : masse volumique en kg/m^3

g : la pesanteur en m s^{-2} et h : en m.

Lorsqu'il ne reste plus de liquide on dit que la vapeur est sèche. Continuons d'introduire d'autres gouttes d'ether, la pression de vapeur augmente et le niveau de mercure diminue. Il arrive au moment où la nouvelle goutte d'ether ne se vaporise plus et reste à l'état liquide au dessus du mercure. La pression se stabilise alors à la valeur atteinte P_s , si on ajoute encore du liquide il ne vaporise plus et la pression garde la même valeur P_s . Il y a équilibre entre la phase liquide et la phase vapeur. La vapeur est dite saturée.

ante et la pression P^s est la pression de vapeur saturante ou pression maximale de la vapeur ou encore tension de vapeur.

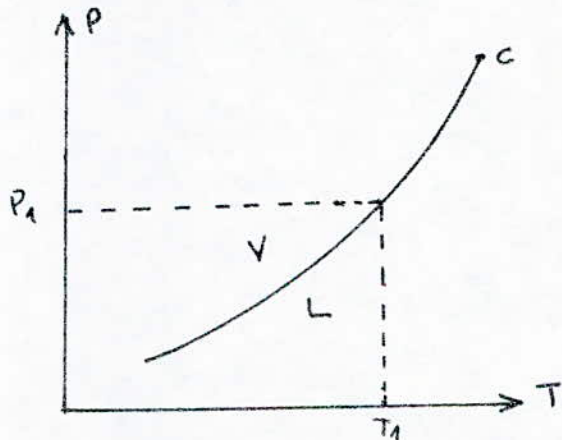
Donc la tension de vapeur est la pression maximale que peut avoir la vapeur d'un liquide à une température donnée.

II ETUDE DE LA TENSION DE VAPEUR D'UN CORPS PUR :

II-1- Definition

La tension de vapeur mesure la tendance des molécules à n'échapper d'une phase liquide pour engendrer une phase vapeur en équilibre thermodynamiquement avec l'air.

C'est une fonction croissante de la température et spécifique de chaque corps pur.



- Courbe $P = f(T)$ de la Tension de vapeur -

L'équilibre d'un liquide et de sa vapeur n'est possible que sous une pression P qui est sa tension de vapeur à la température T . La courbe $P = f(T)$ s'arrête au point critique C elle y admet une tangente dont la pente n'est pas infinie.

Il existe de nombreux diagrammes représentant les courbes de tension de vapeur des hydrocarbures jusqu'à 8 ou 10 atomes de carbone dans la molécule. (Voir annexe-1-).

Pour un corps pur expérimentalement il est facile de déduire sa valeur, comme il est possible de la déterminer à partir des relations suivantes :

II-2. Equation de Clapeyron :

Si on considère un corps pur à la pression P , à la température T et à l'équilibre liquide-vapeur, la vaporisation de dN moles se fait à pression et température constantes et puisqu'il y'a équilibre sans variation d'enthalpie libre.

Designant par g_V et g_L l'enthalpie libre molaire du corps pur à l'état vapeur, et liquide on peut écrire que :

$$dG_V = g_V dN$$

$$dG_L = -g_L dN$$

$$dG = dG_V + dG_L = (g_V - g_L) dN = 0$$

$$\Rightarrow g_V = g_L \quad (1)$$

L'enthalpie libre molaire d'un corps pur à l'équilibre liquide-vapeur est donc la même dans les deux phases. Cette relation est vraie quelles que soient la pression et la température, pourvu qu'on reste à l'équilibre de sorte que le long de la courbe de tension de vapeur :

$$dg_V = dg_L \quad (2)$$

De plus on sait que :

$$dG = V dP + S dT \quad (3)$$

En définissant P la tension de vapeur on écrit alors :

$$V_V dP - S_V dT = V_L dP - S_L dT$$

$$\frac{dP}{dT} = \frac{S_V - S_L}{V_V - V_L} = \frac{\Delta S}{\Delta V} \quad (4)$$

Où l'opérateur Δ correspond aux variations des fonctions thermodynamiques au cours du phénomène de vaporisation. Mais selon la relation (1) définissant l'enthalpie libre :

$$g_V - g_L = (h_V - h_L) - T(S_V - S_L) = 0$$

$$\Delta S = -\frac{\Delta H}{T}$$

et reportant cette dernière dans (4) on aboutit à l'équation de Clapeyron :

$$\frac{dp}{dT} = -\frac{\Delta H}{T \Delta V} \quad (5)$$

Dans cette relation :

P : la tension de vapeur en atm.

T : la température en °K

ΔH : la chaleur de vaporisation moléculaire en cal/mol

$\Delta V = V_V - V_L$: variation de volume en l

Équation de tension de vapeur :

Si on admet que le volume molaire du liquide est négligeable devant celui de la vapeur et que la vapeur peut-être assimilée à un gaz parfait :

$$V_L \ll V_V$$

$$V_V = \frac{RT}{P}$$

L'équation (5) se met sous la forme :

$$\frac{dp}{dT} = \frac{\Delta H}{RT^2} P$$

On aboutit alors à l'équation de Clausius-Clapeyron (1850)

$$\frac{d}{dT} \log P = \frac{\Delta H}{RT^2}$$

On a aussi :

$$\frac{dp}{P} = \frac{\Delta H}{RT^2} dT$$

$$d \ln P = -\frac{\Delta H}{R} d\left(\frac{1}{T}\right) \quad (6)$$

Remarque :

Dans la rigueur des relations thermodynamiques, on applique la définition du facteur de compressibilité :

$$z = \frac{PV}{RT}$$

L'expression (5) devient alors :

$$d \ln P = \frac{\Delta H}{(z_V - z_L) RT^2} (dT)$$

Qui ne peut être intégrer que si la relation de T fonction de $\frac{\Delta H}{z_V - z_L}$ est connue. Reid et Sherwood en 1966 ont montré que

le ratio a une valeur finie au Point critique, montrant ainsi que aussi bien ΔH et $Z_V - Z_L$ tendaient vers zéro.

Si on ouvre on admet que la chaleur d'evaporation reste constante dans un intervalle étroit de température la relation (6) peut être intégrée

$$\ln \frac{P_1}{P_2} = -\frac{\Delta H}{R} \left(\frac{1}{T_1} - \frac{1}{T_2} \right) \quad (7)$$

Ces approximations ne sont, une par une, acceptables que si on se trouve loin du point critique : la Tension de vapeur augmentant avec la température, les écarts aux lois du gaz parfait deviennent rapidement importantes et si $T \rightarrow T_c$ Alors

$$\Delta H_V \rightarrow 0$$

$$V_V - V_L \rightarrow 0$$

Cependant, par effet de compensation la relation (7) conduit à une bonne approximation, par la à une bonne représentation de la courbe de tension de vapeur dans un très vaste domaine de Pression et de température.

On voit ainsi que pour le pentane, et dans les systèmes de coordonnées $(1/T; \log P_s)$ Les points expérimentaux sont à la précision graphique près, alignés et ce depuis la température d'ébullition sous pression atmosphérique (T_b) jusqu'au point critique T_c la droite d'interpolation.

$$\int_p^{P_a} \frac{dp}{p} = \frac{\Delta H_V}{R} \int_{T_b}^{T_c} \left(\frac{dT}{T^2} \right)$$

$$\ln P_a - \ln p = \frac{\Delta H_V}{R} \left(\frac{1}{T} - \frac{1}{T_b} \right)$$

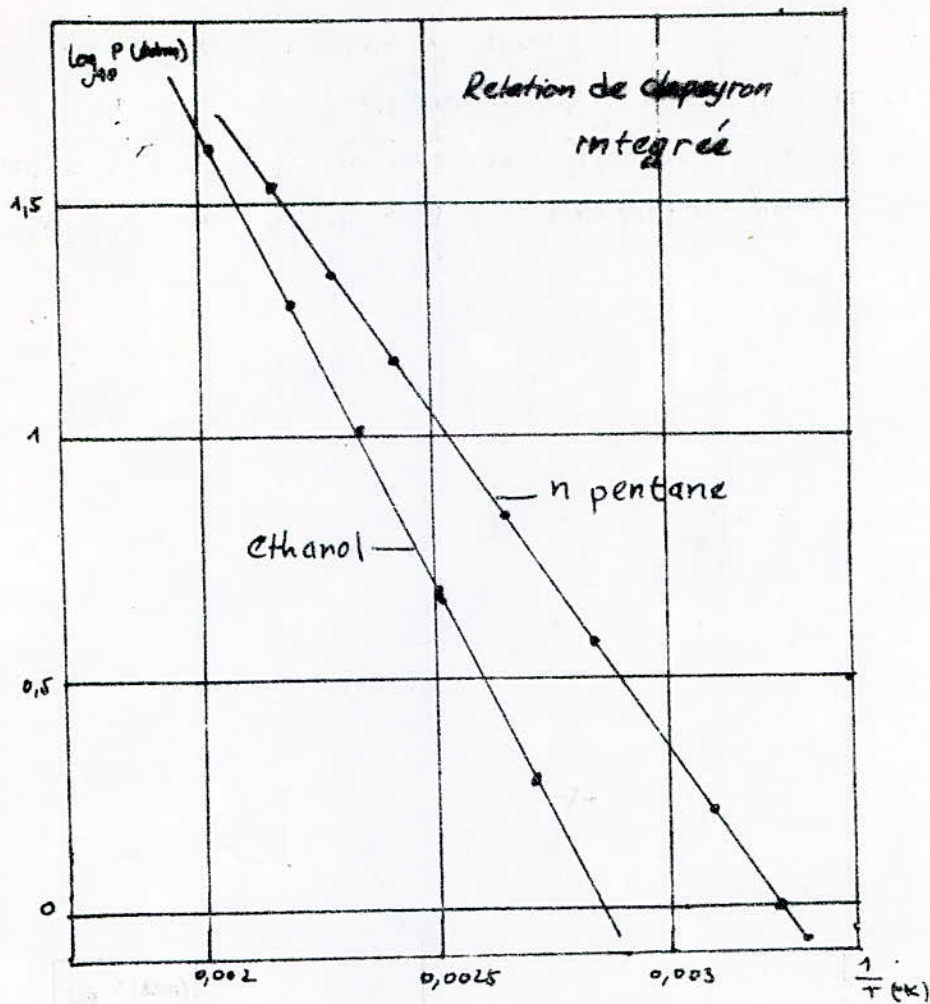
Comme $P_a = P_{atm} = 1 \text{ atm}$

$$-\ln p = \frac{\Delta H_V}{R} \left(\frac{1}{T} - \frac{1}{T_b} \right)$$

$$\ln p = \frac{\Delta H_V}{R} \left(\frac{1}{T_b} - \frac{1}{T} \right) \quad (a)$$

$$\int_p^{P_c} \frac{dp}{p} = \frac{\Delta H_V}{R} \int_{T_b}^{T_c} \left(\frac{dT}{T^2} \right)$$

et



$$\ln P_c - \ln P_a = \frac{\Delta H_v}{R} \left(\frac{1}{T_b} - \frac{1}{T_c} \right)$$

puisque $\ln P_a = 0$

$$\text{Il vient alors } \ln P_c = \frac{\Delta H_v}{R} \left(\frac{1}{T_b} - \frac{1}{T_c} \right) \quad (b)$$

En faisant $\frac{(a)}{(b)}$ on obtient :

$$\log_{10} P = \frac{\log P_c}{\frac{1}{T_e} - \frac{1}{T_b}} \left(\frac{1}{T} - \frac{1}{T_b} \right) \quad (8)$$

Elle permet un calcul approximatif de la tension de vapeur, l'erreur relative n'excède pas 2%.

On note néanmoins que si T n'est pas trop près du point critique ($V_L \ll V_g$) on intègre l'équation (6) en prenant en considération que ΔH_v varie avec T . Empiriquement on trouve que :

$$\Delta H_v = \Delta H_0 + \alpha T$$

$$\Rightarrow \log P = -\frac{\Delta H_0}{RT} + \frac{\alpha}{R} \log T + C$$

Pour cela on trouve les équations empiriques proposées sous la forme : $\log P = \frac{A}{T} + B \log T + C$.

I-3. Équation d'Antoine :

On peut chercher à conserver l'équation (7) sous sa forme :

$$\ln P = \frac{-\Delta H/R}{t^o + 273,16} + \text{Cste} \quad (9)$$

en substituant à l'enthalpie de vaporisation et à l'échelle de température absolue des constantes par ajustement aux résultats expérimentaux. On aboutit ainsi à l'équation d'Antoine. Dans laquelle les tensions de vapeur sont ordinairement exprimées en millimètres de mercure et les températures en degrés Celsius :

$$\log_{10} P = A - \frac{B}{C+t} \quad (10)$$

Cette équation permet de représenter la courbe de tension de vapeur avec une excellente précision, dans le domaine de faibles pressions de 10 à 1500 mm de mercure.

Remarque :

Connaissant 3 valeurs de la température d'ébullition et leur pression correspondante, il est possible de calculer les paramètres A, B et C pour n'importe quel hydrocarbure.

(Voir Annexe -2 - TABLEAU des constantes d'Antoine)

I-4- Équation de Collingwood - Davis :

On a proposé de simplifier l'équation d'Antoine en imposant à C une valeur constante différente de 273,16 l'équation obtenue est alors :

$$\log_{10} P = A - \frac{B}{t + 230} \quad (11)$$

elle est appelée équation de Calingaert-Davis. Elle donne d'excellents résultats dans un intervalle étroit de température.

Remarque :

Les constantes A et B sont les mêmes que celles de l'équation d'Antoine.

II - 5 - Utilisation d'un corps de référence : Abaque de "Cox-athmer"

Si on écrit l'équation de Clapeyron pour le corps étudié et pour un corps de référence dont la tension de vapeur et l'enthalpie de vaporisation sont désignées par P' et $\Delta H_V'$:

$$d \ln P = - \frac{\Delta H_V}{R} d\left(\frac{1}{T}\right) \quad (12)$$

$$d \ln P' = - \frac{\Delta H_V'}{R} d\left(\frac{1}{T}\right) \quad (13)$$

Alors

$$d \ln P = \frac{\Delta H_V}{\Delta H_V'} d \ln P'$$

que l'on peut intégrer en admettant que le rapport des enthalpies reste constant avec la température :

$$\ln P = \frac{\Delta H_V}{\Delta H_V'} \ln P' + \text{Cste}$$

Ainsi, les courbes de tensions de vapeur seront en fonction de la tension de vapeur du composé de référence, représentées par un faisceau de droites de pente $\frac{\Delta H_V}{\Delta H_V'}$, ce réseau de droites est connu sous le nom de "cox-chart". Le corps de référence est l'hexane (voir Annexe-3).

Cette représentation universelle a été établie pour les hydrocarbures paraffiniques ($K_{UOP} = 12$) dont les courbes de tension de vapeur sont limitées au points critiques.

En réalité, dans le domaine des Pressions usuelles, cet abaque est également valable pour les hydrocarbures naphténiques ou aromatiques qui sont représentés par des courbes se placant régulièrement à l'intérieur du réseau paraffinique, mais

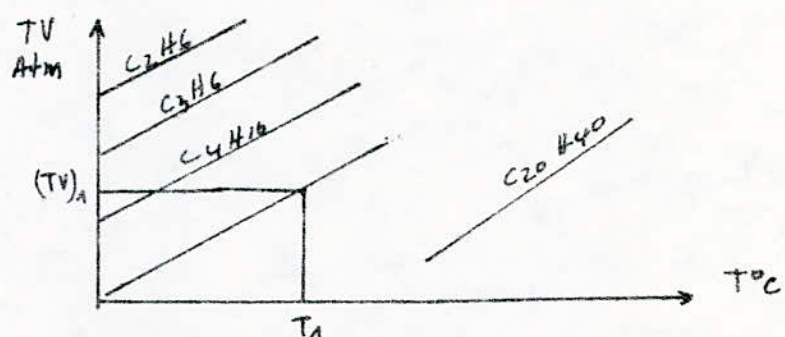
dépassant le lieu des points critiques la formule de correction proposée par Maxwell pour les hydrocarbures ayant un Kuop différent de 12:

$$\Delta t_c = 1,39 (K - 12) \log \frac{P_2}{P_1}$$

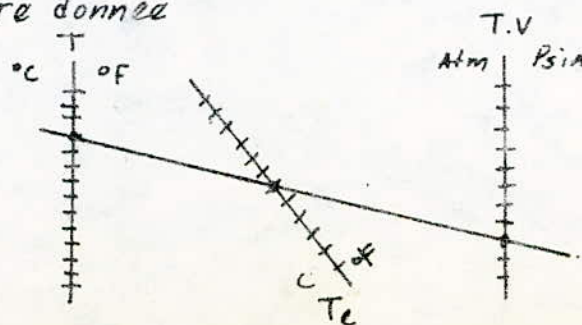
montre que dans le cas le plus favorable, la correction de température apportée aux paraffines ne dépasse pas 10°C pour Kuop=10 et $P_2/P_1 = 10000$.

Comme d'autre part, cette représentation Universelle conserve de par sa définition, un caractère approximatif. On préfère quelquefois tracer non pas les courbes de tension de vapeur des hydrocarbures purs, mais des courbes repérées par des points d'ébullition normaux fictifs régulièrement échelonnés, en établissant la notion de continuité entre les hydrocarbures comme le montre l'annexe 3; l'annexe 4 présente les mêmes données dans un système de représentation par points alignés.

L'abaque de "cox-chart" permet de lire directement la tension de vapeur à la température désirée



Connaissant la température d'ébullition d'un corps on peut au moyen de l'abaque 4 déterminer sa tension de vapeur à une température donnée



II - 6 - Equations Empiriques:

Diverses formes empiriques ont été utilisées.

On peut citer :

II - 6. 1. Expression de Rankine (1851) :

$$\ln P = A + \frac{B}{T} + \frac{C}{T^2} \quad (14)$$

Les coefficients A, B, C sont des constantes de Rankine.

II - 6. 2. Expression de Kirchoff (1858) :

L'expression de Kirchoff est basée sur l'intégration de $\ln P = \Delta H_V / (Z_V - Z_L) RT^2$ on supposant que $\Delta H_V / Z_V - Z_L$ varie linéairement avec la température.

$$\ln P = A + \frac{B}{T} + C \ln T \quad (15)$$

Où A, B, C constantes de Kirchoff.

II - 6. 3. Expression d'Unwin (1886) :

L'expression d'Unwin modifie l'équation de $\ln P = A + B/T$ en donnant un exposant à T

$$\ln P = A + \frac{B}{T^n} \quad (16)$$

Où A, B, n Constantes d'Unwin.

II - 6. 4. Expression proposée par Riedel :

$$\ln P = A_1 - \frac{A_2}{T} + A_3 \ln T + D T^6 \quad (17)$$

à laquelle on peut appliquer la loi des états correspondants A_1, A_2, A_3 et D constantes de Riedel.

II - 6. 5. Expression de Frost-Kalkwarf:

Si l'on admet que l'enthalpie de vaporisation

est fonction linéaire de la Température, et que l'équation d'état de Van der Waals représente le comportement de la vapeur. Le volume du liquide étant pris égal au co-volume on aboutit à l'équation de Frost - Kalkwarf :

$$\log P = A + \frac{B}{T} + C \log T + \frac{D P}{T^2} \quad (18)$$

Après détermination des constantes A, B, C et D à partir des valeurs expérimentales dont on dispose, cette équation permet de représenter la courbe de tension de vapeur avec une excellente précision et dans toute son étendue. On notera cependant qu'elle n'est pas explicite ni en pression ni en température.

II-6.6. Les équations de Thodos (1950) :

En étudiant la région complète d'existence de la vapeur le long de la courbe $\ln P = f(1/T)$, le renversement brusque de courbure amena Thodos à ajouter le terme DT^n dans l'expression de Rontine et proposer les équations suivantes :

$$\ln P_r = \alpha + \frac{\beta}{T_r} + \frac{\gamma}{T_r^2} + \delta T_r^n \quad (19)$$

$$\ln P_r = \varepsilon + \frac{\zeta}{T_r} + \eta \ln T_r + \vartheta T_r^n \quad (20)$$

$$\ln P_r = a + \frac{b}{T_r^m} + d T_r^n \quad (21)$$

$$\text{et } \ln P_r = c + \frac{f}{T_r - g} + h T_r^n \quad (22)$$

la détermination des constantes de Thodos se fait expérimentalement.

II-6.7. Corrélation de Richard A. Wilsak and et de Georges Thodos (1984) :

Cette corrélation permet de décrire les pressions de vapeur de l'Argon et d'un-heptane dans la région complète

d'existence de l'équilibre liquide-vapeur.

Se basant sur les 4 équations de Redlich-Kister qui décrivent le comportement de P en incluant le point triple et le point critique, Wilsakand choisi pour son étude le modèle de l'Argon et du n-heptane. Du fait que l'argon est mono atomique ayant un seul degré de translation; la chaîne du n-heptane est en plus caractérisée par la rotation et la vibration; leurs tensions de vapeur sont différentes. Alors on choisit le système de représentation suivant :

$$\operatorname{tg} \Psi = \frac{\ln P_r}{\frac{1}{T_r} - 1}$$

ce qui donne: $x = \sin \Psi \ln P_r + \cos \Psi \left(\frac{1}{T_r} - 1 \right)$
 $y = \cos \Psi \ln P_r - \sin \Psi \left(\frac{1}{T_r} - 1 \right)$

En éliminant les valeurs négatives de x et y , on représente uniquement dans le 1^{er} quadrant, on obtient alors les coordonnées suivantes:

$$X = \frac{\sin \Psi \ln P_r + \cos \Psi \left(\frac{1}{T_r} - 1 \right) - x_1}{x_3 - x_1} \quad (23)$$

$$Y = \frac{\cos \Psi \ln P_r - \sin \Psi \left(\frac{1}{T_r} - 1 \right) - y_1}{y_4 - y_1} \quad (24)$$

en prenant:

$$\Psi = -79,38^\circ C$$

$$x_1 = -0,0046305$$

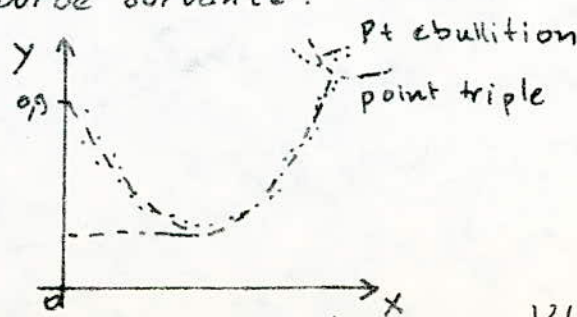
$$x_3 = 433,67$$

$$y_2 = -0,0060822$$

$$y_4 = 0,008579$$

| | T_c (K) | $\frac{\ln m + \Psi}{P_r}$ | T_c (K) | P_c (atm) |
|-----------|-----------|----------------------------|-----------|-------------|
| argon | 83,76 | 516,44 | 150,65 | 48,02 |
| n-heptane | 299,189 | 48,19 | 540,21 | 27,09 |

Il obtient la courbe suivante:



le point d'inflexion est calculé par: $\frac{d^2 \ln P}{d(1/T)^2} = 0$ avec un facteur de correction s défini par:

$$s = \frac{T_b \ln P_c}{T_c - T_b} \quad \text{avec } T \text{ en } ^\circ\text{K et } P \text{ en Atm.}$$

et le facteur acentrique w :

$$w = -\log P_r (T_r = 0,7) - 1,00$$

Wilsakand calcule alors P_r pour l'argon et le n-heptane. Sachant que le paramètre critique de Reidel est défini par:

$$\alpha_c = \left(\frac{d \ln P_r}{d \ln T_r} \right)_c \quad \text{et à } T = T_c \quad \frac{d \alpha_c}{d T_r} = 0$$

ainsi il a pu déterminer les constantes de Thodos pour les équations de l'Argon et du n-heptane.

II-6-8. Corrélation de J. Cordon Hanna (1984):

Cette corrélation caractérise l'entropie de vaporisation de l'équation $\log P = f(T/P)$; ΔS_V à la température qui caractérise ($\log T/P = 0,5$) est directement lié au terme c de la série de Hanna:

$$(25) \quad \log P = A [\log T/P]^3 + B [\log T/P]^2 + C [\log T/P] + D$$

Hidebrand (1915) montre que ΔS_V reste constante

pour les liquides normaux à la T qui donne à ces liquides la même concentration de vapeur, à la température qui donne P_s , la même donnée par la relation de Trouton. Il définit alors C la constante de la concentration vapeur par:

$$c = \log (T/P)$$

Hanna (1981) proposa la série (25) dans laquelle D est lié au point d'ébullition. ΔH_V est donnée alors par:

$$\log \frac{\Delta H_{V1}}{\Delta H_{V2}} = w \log \frac{T_c - T_1}{T_c - T_2} + Y$$

Ainsi ΔS_V est:

$$\Delta S_V = 268,82 C + 320,25$$

c'est calculé de l'équation 25 au point ($\log T/P = 0,5$)

Notant que Jones (1958) proposa que:

$$\frac{\Delta H_{V1}}{\Delta H_{V2}} = m \log \frac{T_c - T_1}{T_c - T_2} \quad \text{avec } m = \frac{T_c}{T_c - T_2}$$

II-7. Expression de la tension de vapeur en coordonnées critiques:

La tension de vapeur est aussi définie en fonction des propriétés critiques:

II-7.1 En fonction du facteur de compressibilité:

$$\log \frac{P}{P_c} = -A \frac{(1-Tr)}{Tr} - 10^{-8,68} (Tr - b)^2 \quad (26)$$

Avec : $Tr = T/T_c$: température réduite

P_c : pression critique

$$A = 16,25 - 73,85 Z_c + 90 Z_c^2$$

Z_c : facteur de compressibilité ou facteur de taille défini par une valeur de référence pour tous les corps : 0,27

La valeur exacte est calculée par la relation de Watson-Hougen:

$$Z = [Z(P_r, Tr)]_{0,27} + [Z - 0,27] \Delta Z (P_r, Tr)$$

à condition que $0 < P_r < 30$ et $0 < Tr < 15$

II-7.2 En fonction du facteur acentrique:

Le facteur acentrique w est le facteur de forme qui tient compte des forces de cohésion dans l'équilibre liquide-vapeur. Défini par Pitzer par :

$$w = -\log \frac{P_s}{P_c} - 1$$

autres expressions de calcul:

$$w = \frac{3}{7} \left(\frac{\log P_c}{T_c / T_0 - 1} - 1 \right)$$

$$\text{à } Tr = 0,7 \quad w = -\log P_r (Tr = 0,7) - 1$$

Z_c et w sont liés par : $Z_c = 0,291 - 0,08w$

On trouve ainsi des corrélations faisant intervenir w pour les phases liquides et vapeurs :

$$(27) \quad \log \left(\frac{P}{P_c} \right) = -\log P_r - w \left(\frac{\partial \log P_r}{\partial w} \right) \frac{1}{T}$$

$$\text{ou: } \log \frac{P}{P_c} = \left[3,029 - \frac{4,318}{Tr} + \frac{1,454 - 0,13456}{Tr^2} \right] + w \left[0,1175 + \frac{2,008}{Tr} - \frac{2,524}{Tr^2} + \frac{0,3981}{Tr^3} \right]$$

en l'absence de données propres à la substance étudiée, la formule

ci dessous permet de calculer la tension de vapeur par une précision de 2 à 3% (Voir Annexe -8-) :

$$(28) \log \frac{P^s}{P_c} = -\frac{7}{3} (1+w) \left(\frac{1}{T_r} - 1 \right)$$

II - 7 - 3 En fonction du paramètre de Ridel :

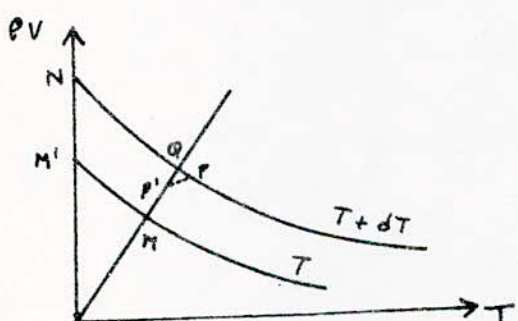
On cite les études de Ridel qui adopta un autre paramètre défini par : $\alpha = \left(\frac{d \ln P}{d \ln T} \right)_{T=T_c}$

$$\text{ou } \alpha = 5,8008 + 4,93 w \text{ donc } Z_c = \frac{1}{0,262 + 1,90}$$

Hors la courbe de Tension de vapeur de Ridel s'exprime par :

$$(29) \ln P = \alpha \ln T_r - 0,00838 T_r (\alpha - 3,75) \left(\frac{36}{T_r} + 35 T_r^4 + 42 \ln T_r \right)$$

II - 7 - 4 Calcul de la Tension de vapeur d'un liquide de van der Waals Dans le cas où elle est petite :



Dans le cas particulier où $P^s \rightarrow 0$ on considère la phase vapeur qui obéit sensiblement à la loi des gaz parfaits:

$$n_1 = \frac{RT}{P^s}$$

faisant tendre $P^s \rightarrow 0$ dans l'équation de Van der Waals.

au point N ; $v \approx b$ puis qu'il est voisin de l'asymptote :

$$\frac{RT}{v-b} = \frac{a}{b^2} \Rightarrow v = b + b^2 \frac{RT}{a}$$

le palier MN , étant proche de l'axe des abscisses on calcule l'intégrale de Maxwell: $\int_{V_3}^{V_1} \frac{RT}{v-b} - \frac{a}{v^2} dv = 0$

$$RT \ln \frac{v_1-b}{v_3-b} + \frac{a}{v_1^2} - \frac{a}{v_3^2} = 0$$

alors : $RT \ln \frac{a}{P^s b^2} \approx \frac{a}{b}$

$$\ln P^s \approx \ln \frac{a}{b^2} - \frac{a}{bRT}$$

on sait que $P_c = \frac{1}{27} \frac{a}{b^2}$ et $T_c = \frac{8}{27} \frac{a}{bR}$

Il vient alors que $\ln \frac{P^s}{P_c} = \ln 27 - \frac{27}{8} \frac{T_c}{T}$

$$\ln \frac{P_s}{P_c} = 3,29 - 3,38 \frac{T_c}{T} \quad (30)$$

soit :

Il existe une formule empirique du même genre :

$$\ln \frac{P_s}{P_c} = 7,4 \left(1 - \frac{T_c}{T}\right) \quad (31)$$

On voit que l'équation de van der waals fournit des valeurs correctes de la pression de vapeur saturante.

II - 8. Autres formules et méthodes:

II - 8.1 Formule de Dupperay:

Pour les calculs rapides et si l'on désire qu'un ordre de grandeur, on peut utiliser dans le cas de l'eau entre 100°C et 200°C la formule de Dupperay:

$$P = \left(\frac{t}{100}\right)^4 \quad (32)$$

P : pression de vapeur en atm.

t : température en °C

II - 8.2 Relation de Regnault:

$$\ln P = \text{Cste} + \frac{A}{T} + \ln T + CT + DT^2 + \dots \quad (33)$$

II - 8.3 Relation du Dupré

Utilisée dans le cas de l'eau:

$$\ln \frac{P}{P_0} = \frac{a}{R} \left(\frac{1}{T_0} - \frac{1}{T} \right) - \frac{b}{R} \ln \frac{T}{T_0} \quad (34)$$

Expérimentalement on a: $\ln P = -\frac{\Delta H_v}{TR} + \text{Cste}$

avec Cste = 10,5

II - 8.4. Nomogramme de Zanker (1977):

En partant de la corrélation de Ridel, le calcul de la tension de vapeur nécessite la solution des équations suivantes:

$$(35) \log \left(\frac{P_c}{P_v} \right) = 0,118B - 7 \log T_r (a-7) (0,0364B - \log T_r)$$

$$B = \frac{36}{T_p} - 35 - (T_p)^6 + 42 \ln T_r$$

$$a = 0,9076 \left(1 - \frac{T_{br} \cdot \ln P_c}{1 - T_{br}} \right)$$

Avec :

P_v : tension de vapeur en Atm.

P_c : pression critique en Atm.

$T_r = \frac{T}{T_c}$ température réduite

$T_{br} = \frac{T_b}{T_r}$ Température réduite au point d'ébullition.

T : Température °K et T_b : Température d'ébullition

Zantker proposa un nomogramme à 4 paramètres T_{br} , P_c , T_r et P_v . Connaissant T_{br} et P_c on peut déterminer la tension de vapeur (voir annexe-6-)

III-LA TENSION DE VAPEUR DES MÉLANGES DE CORPS PURS:

III-1- Loi des solutions idéales - Loi de Raoult:

Pour un système idéal, la pression partielle de chaque constituant est égale à sa pression de vapeur à l'état pur à la température du mélange, multipliée par la fraction molaire dans la phase liquide : $P_i = P_i^{\circ} x_i$

avec: P_i : pression partielle du constituant i dans le mélange

P_i° : pression de vapeur à l'état pur

et la pression totale est égale à la pression somme des pressions partielles soit : $P = \sum x_i P_i^{\circ}$

III-2- Tension de vapeur pour un mélange de corps pur:

De même dans un mélange de corps purs, la pression de la phase vapeur en équilibre avec la phase liquide donnée définit la tension de vapeur de cette dernière. Elle dépend de la température

-rature et de la composition de la phase liquide. Mais on ne peut représenter cette dépendance par une relation simple que dans le cas où la vapeur peut être assimilée à un gaz parfait si de plus la phase liquide est une solution idéale, on écrira que sa tension de vapeur vraie (T.V.V.) varie linéairement avec le % moléculaire de chaque constituant comme le prévoit la loi de Raoult pour les solutions idéales :

$$(T.V.V)_m = \sum (T.V.V)_i x_i$$

avec : $(T.V.V)_m$: tension de vapeur vraie du mélange

$(T.V.V)_i$: tension de vapeur vraie du constituant i

x_i : fraction molaire de i dans le mélange

Donc la tensions de vapeur pour un mélange d'hydrocarbures est additive. Cette additivité des T.V.V. met en cause des molécules. Était entendu que tous les termes de T.V. sont mesurés à la même température et suffisamment éloignées du point critique.

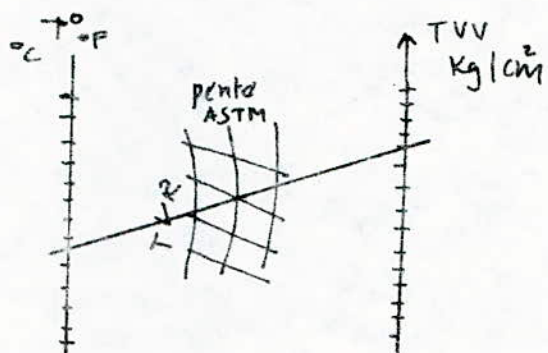
IV. TENSION DE VAPEUR DES FRACTIONS PETROLIERES :

La tension de vapeur d'une fraction pétrolière comme celle d'un corps pur. L'étude des équilibres liquide-vapeur d'un mélange complexe comme étant la pression de bulle de ce mélange à une température donnée. Dans la réalité, on mesure cette tendance des molécules à s'échapper par un essai simple et qui donne la tension de vapeur Reid ou T.V.R. La valeur de la T.V.R à 37,8°C (100°F) est la somme de la tension de vapeur partielle des hydrocarbures et de la pression partielle de l'air comme le volume de la chambre à air est normalisé, il est donc possible d'établir une corrélation entre la T.V.R et la tension de vapeur vraie du mélange (T.V.V.) voir Annexe -S-. Il comporte une figure présentant une corrélation entre la tension de vapeur Reid et la T.V.V. pour les essences en fonction de la pente A.S.T.M. (15% - 5%) et le rapport $1 < T.V.V / T.V.R < 1,5$.

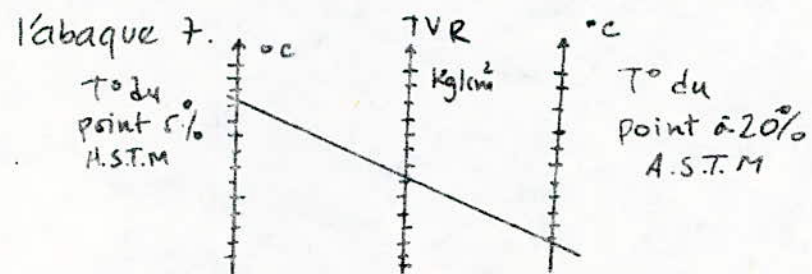
en l'absence des données de la T.V.R. l'Annexe

7 permet son estimation à partir de la connaissance des points A-S.T.M 5% et 20% distillés. Enfin les hydrocarbures qui constituent une fraction pétrolière ont un comportement sensiblement idéal en mélange, il en résulte que ces courbes de tension de vapeur des fractions sont représentées par des droites appartenant au Réseau de Cox - chart (voir II-5).

Connaissant la T.V.R et la pente A.S.T.M on peut au moyen de l'abaque 5 connaître la T.V.V. de la fraction pétrolière



De même connaissant la température du point à 20% et 5% A.S.T.M. d'une fraction pétrolière déterminer sa T.V.R avec l'abaque 7.



VI - 1. Influence de la pression totale sur les pressions de vapeur:

Supposons un liquide se vaporisant dans le vide on atteint une tension de vapeur P bien définie pour chaque T . Il est possible de changer la pression totale P au dessus du liquide, en introduisant un gaz inerte, c'est à dire ne participant pas à l'équilibre air par exemple. On montre alors que P ne varie que très peu avec la pression totale P appliquée. Ce fait est très important dans

L'étude des solutions et des équilibres hétérogènes, car dans le calcul des variations de la tension de vapeur partielle des constituants en fonction des facteurs extérieurs on peut négliger alors l'influence de la pression extérieure.

VI-2 - Calcul de la T.V.V. de l'essence:

La T.V.R mesure en réalité la tension de vapeur partielle à $T = 100^{\circ}\text{F}$. Mais il existe une corrélation entre la T.V.V de l'essence et sa T.V.R. fonction de la pente ASTM - Abaque 5.

$$\text{pente : } \frac{t_{15} - t_5}{10} = \frac{54 - 50}{10} = -0,4$$

$$\text{T.V.R} = 0,585 \text{ Kg/cm}^2 \text{ à } 100^{\circ}\text{F}$$

$$\text{l'abaque donne la T.V.V} = 0,6 \text{ Kg/cm}^2$$

Exemple de calcul :

mélange d'essence et de butane calcul de la fraction butane à ajouter :

$$\text{La T.V.V} = 0,6 \text{ Kg/cm}^2$$

La T.V.R du mélange est fixée à $0,7 \text{ Kg/cm}^2$
pour le butane $\text{T.V.R} = 0,45 \text{ Kg/cm}^2$

$$x = 10^{-4} \left(\frac{d}{n} \right)_{\text{ess}} \frac{\text{T.V.V}_m - \text{T.V.V}_{\text{sec}}}{\text{T.V.V}_{\text{ess}} - \text{T.V.V}_m}$$

$$= 10^{-4} \times 0,675 \frac{0,77 - 0,60}{0,45 - 0,77} = 3,49$$

$x = 3,49\%$ fraction du butane à ajouter.

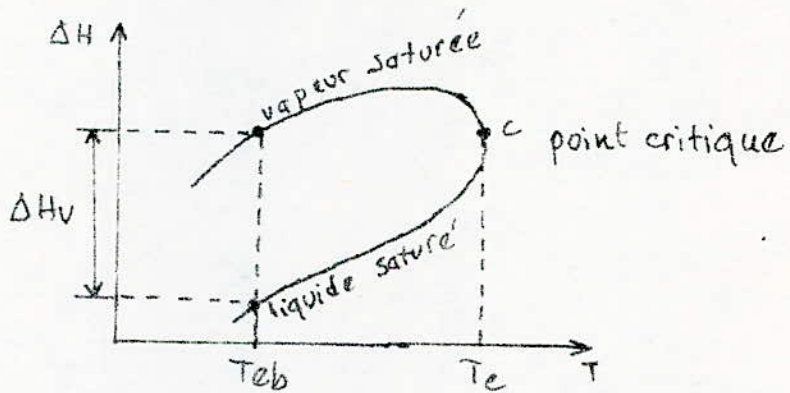
Chapitre : 2

LA CHALEUR LATENTE DE VAPORISATION

I. DEFINITION:

La chaleur latente de vaporisation est la quantité de chaleur fournie à l'unité de poids pour passer de l'état liquide à l'état gazeux à température et pression constantes.

On la définit aussi comme étant la différence d'enthalpie entre la vapeur et le liquide saturé du composé entre la vapeur et le liquide saturé du composé considéré à température constante.



Elle s'exprime en cal/kg ou en cal/mol.

On admet d'une façon générale que si le domaine de température est faible la chaleur de vaporisation est constante.

II - CHALEUR LATENTE DE VAPORISATION DU CORPS PUR :

Dans le cas des hydrocarbures purs, la transformation du liquide en vapeur s'effectue à pression et température constantes, alors que pour les mélanges elle peut se réaliser selon deux voies :

- soit à pression constante et température variable ce qui est le cas le plus fréquent.
- soit à température constante et pression variable.

La chaleur latente de vaporisation des hydrocarbures purs est fonction de la température ou encore de la pression, c'est à dire de la tension de vapeur à la température considérée.

II - 1. Règle de Maxwell:

Pour les hydrocarbures non paraffiniques, Maxwell propose une règle basée sur l'équivalence des chaleurs latentes de vaporisation molaires.

"La chaleur latente de vaporisation est calculée en utilisant la proportionnalité entre les chaleurs latentes de vaporisation de deux hydrocarbures à la même pression réduite"

Pour des composés à bas point d'ébullition on prend comme référence des composés tels que l'éthane, le propane, etc...

Donc la méthode de Maxwell consiste à prendre la paraffine normale ayant la même température d'ébullition que le composé inconnu relever son poids moléculaire et sa pression critique; puis calculer sa tension de vapeur à la température considérée en multipliant la pression réduite de la paraffine.

La même méthode peut être appliquée aux fractions pétrolières ayant un KUOP # 12 (non paraffiniques) en prenant la température moyenne pondérée (T_{mav}) comme point d'ébullition et la pression pseudo-critique comme pression réduite.

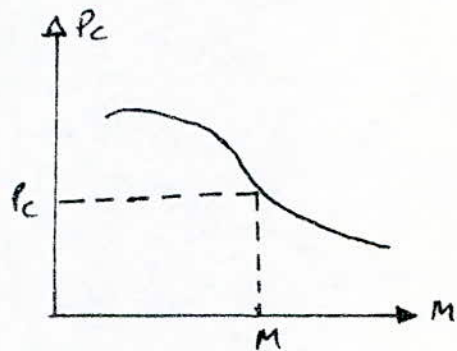
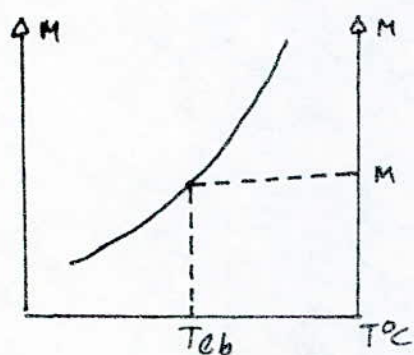
II-2. Méthode de calcul:

Hypothèse : connaissance de T_{eb} , P_c et ρ_c
 ainsi que M du corps considéré.

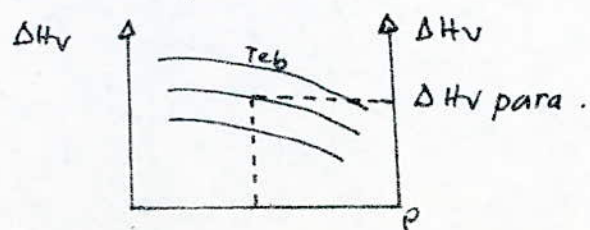
Conclusion : Calcul de ΔH_{vap} ?

Le diagramme de $M = f(T_{eb})$ donne le poids moléculaire M de la paraffine normale ayant une température d'ébullition T_{eb} (voir Annexe-9).

On calcule $P_r = \frac{P}{P_c}$ et on se réfère à l'abaque "critique pressure of normal paraffine - Annexe-10"
 P_r doit être la même que celle de la paraffine. Donc la pression de la paraffine sera : $P = P_r \cdot P_c$.



L'abaque "latent heat of vaporisation of paraffin of hydrocarbons" Annexe-13 nous donne la chaleur de vaporisation pour P de la paraffine soit ΔH_{vap} para.



Cette chaleur latente molaire de vaporisation sera la même pour le corps considéré soit $\Delta H_{vc} = \frac{\Delta H_{vpara}}{M_c}$

L'approximation faite donne des résultats satisfaisants.

III. LES CORRELATIONS:

III-1. Equation de Clapeyron:

La relation de Clapeyron, sous sa forme différentielle permet en principe le calcul de l'enthalpie de vaporisation si on dispose des données nécessaires : expressions représentantes de manière précise la tension de vapeur et les volumes des phases saturées, en fonction de la température quand les approximations citées du chapitre I-II-2 sont raisonnables c'est à dire que le volume gazeux est trop grand devant celui du liquide. L'expression (6) permet un calcul approché si on connaît la tension de vapeur pour deux températures :

$$\Delta H_V = R \frac{d \ln P}{d(1/T)}$$

$$\int_{P_1}^{P_2} d \ln P = \int_{T_1}^{T_2} \frac{1}{R} \Delta H_V d\left(\frac{1}{T}\right)$$

$$\log \frac{P_1}{P_2} = \frac{-\Delta H_V}{2,3R} \left[\frac{1}{T_1} - \frac{1}{T_2} \right]$$

$$\Rightarrow \Delta H_V = 2,3 \cdot R \cdot \log \frac{P_1}{P_2} \left(\frac{T_1 \cdot T_2}{T_2 - T_1} \right) \quad (36)$$

III-2. Corrélation basée sur la loi des états correspondants:

Il est possible d'estimer l'enthalpie de vaporisation en faisant appel à la loi des états correspondants :

$$\frac{d \ln P_r}{d(1/T_r)} = - \frac{\Delta H_V}{RT_c} \cdot \frac{1}{\Delta Z_V}$$

ou P_r : est la pression de vapeur Réduite
 Δz_c : increment

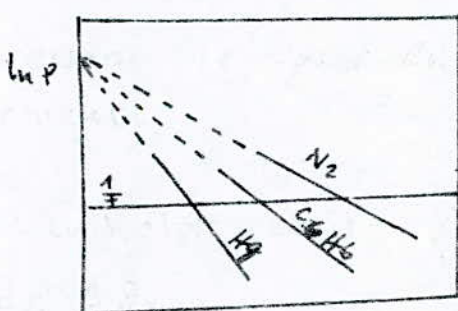
L'enthalpie réduite $-\frac{\Delta H_v}{RT_c}$ est une fonction de
 $\frac{d \ln P_r}{d(1/T_c)}$ et de Δz_r

III - 3 - La règle de Trouton (1860) :

Trouton observa que la chaleur de vaporisation était généralement reliée à la température absolue d'ébullition par l'équation:

$$\Delta H_v^\circ = 21 T_b \text{ cal/mole. (37)}$$

Elle implique d'abord qu'un graphique comme la figure ci-dessus possède une même ordonnée à l'origine pour tous les liquides:



faisceau de droite de Trouton

Ceci permet souvent d'avoir une valeur assez exacte de la constante avec $\ln P_r = 0 \Rightarrow Cste = 21/R = 10,5$. Même lorsque la règle de Trouton ne s'applique pas exactement il est reconnu que pour les liquides de constitution voisine (homologues d'une même série organique par exemple) la constante reste sensiblement la même quoique pas nécessairement égale à 10,5 (Voir Annexe - 11).

On a mesuré les chaleurs de vaporisation de très nombreuses substances à la température d'ébullition sous une atmosphère. De telles données permettent comme

on l'a vu de tracer au voisinage de ce point la courbe de tension de vapeur du corps étudié et d'améliorer la règle de Trouton :

$$\Delta H_v/T = 21 \text{ pour les corps non associés}$$

$$\Delta H_v/T = 26 \text{ pour les corps associés}$$

Cette équation empirique donne des écarts importants

Nernst a apporté des rectifications à cette formule :

$$\Delta H_v/T_c = 9,5 \log T_c - 0,01 T_c \quad (38)$$

III-4. Règle de Kistiakowsky :

$$\frac{\Delta H_v}{T} = 8,25 + R \ln T_b \quad (39)$$

en cal/mol°K

En désignant par T_b la température d'ébullition sous pression atmosphérique.

Comme la règle de Trouton cette règle ne s'applique qu'aux substances apolaires

III-5. Corrélation de Pitzer :

Elle fait intervenir le facteur acentrique w

$$\frac{\Delta H_v}{RT_c} = 7,08 (1-Tr)^{0,354} + 10,95 w (1-Tr)^{0,456} \quad (40)$$

III-6. Corrélation de Chen :

$$\Delta H_{rb} = \frac{(RT_c \cdot T_{br} \cdot 3,978) - 3,938 - 1,555 \ln P_c}{(1,07 - T_{br})} \quad (41)$$

T_c et P_c : température et pression critique.

T_{br} : température réduite rapportée à la T d'ébullition normale

III.-7- Corrélation de Ridel:

$$\Delta H_{vb} = 1,093 RT_c \left[T_{br} \frac{\ln P_c - 1}{0,930 - T_{br}} \right] \quad (42)$$

ΔH_{vb} est prise à la T° normale d'ébullition.

L'erreur varie de 1 à 4% selon la famille d'hydrocarbures considérée.

III.-8- Relation de Watson - Theisson:

Elle décrit la variation de ΔH_v avec la température et la chaleur latente de vaporisation décroît avec la température et s'annule au point critique:

$$\Delta H_{v_2} = \Delta H_{v_1} \left[\frac{1-T_r}{1-T_{r_1}} \right]^n \quad (43)$$

| Remarque | valeur de n | Auteur |
|-----------------------|-----------------------|-----------------------|
| — | 0,333 | Theisson |
| — | 0,380 | Watson |
| liquides normaux | 0,386 | Kandall |
| liquides non associés | 0,393 | Bowden et Jones |
| — | 0,4 | de Wijs |
| — | $A + B T_r + C T_r^2$ | Guermouche et Vennaud |

sous sa forme générale

$$\Delta H_v = K (T_c - T)^n$$

où K et n sont des constantes.

III.-9- Équation de Bradford:

Elle permet d'obtenir de l'enthalpie de vap-

orisation à une température donnée :

$$\Delta H_{va} = \frac{800 M^{0,72}}{M} (1 - Tr)^{0,39} \quad (44)$$

III - 10. Equation de Kafinas :

La chaleur de vaporisation est donnée par :

$$\Delta H = \left[\frac{\tilde{H}_0}{M} - \frac{RT_c}{M} \left(\frac{\tilde{H}_0 - \tilde{H}}{RT_c} \right) \right]_{\text{vap. naturee}} - \left[\frac{\tilde{H}_0}{M} - \frac{RT_c}{M} \left(\frac{\tilde{H}_0 - \tilde{H}}{RT_c} \right) \right]_{\text{liq. naturee}} \quad (45)$$

Cette expression peut être simplifiée :

$$\Delta H = \frac{RT_c}{M} \left[\left(\frac{\tilde{H}_0 - \tilde{H}}{RT_c} \right)_{\text{liq. naturee}} - \left(\frac{\tilde{H}_0 - \tilde{H}}{RT_c} \right)_{\text{vap. naturee}} \right]$$

avec \tilde{H}_0 : enthalpie du gaz idéal.

Lee et Kaster donnent un abaque de $\frac{\Delta H}{RT_c} = f(\frac{T_r}{T_c}, w)$
(Voir Annexe - 12)

Donc connaissant T_r/T_c et w on peut lire $\frac{\Delta H_r \cdot M}{RT_c}$

ΔH_v sera alors directement déduite si on connaît la masse M .

III - 11. Corrélation de Landéé et Wilhier :

$$L_v = \frac{0,29 \cdot T_b^{1,8} \cdot M^{0,95}}{N^{0,9} \cdot \rho^{0,13}} \quad (46)$$

L_v : en cal/g.mol. M : poids moléculaire

T_b : °K

N : nombre d'atomes par molécule

ρ : densité du liquide en g/cm³ à 20°C

III - 12 - Equation de Haggnacher :

En combinant l'équation d'Antoine et de Clapeyron Haggnacher propose

$$\Delta H_v^\circ = \frac{4,576 \cdot B \cdot T^2 \Delta z}{(t + C)^2} \quad (47)$$

dans laquelle : T : en °K t : en °C

B et C sont des constantes de l'équation d'Antoine.

Cette équation est applicable aux composés polaires et non polaires

W.R. GAMBILL donne la valeur de 230 à C et calcul B avec l'équation :

$$B = (t_1 + 230^\circ\text{C}) (t_2 + 230) \log \frac{P_1}{P_2} - (t_1 - t_2)$$

III-13. Correlations sur le ΔH_v pour les hydrocarbures légers :

Plusieurs correlations ont été proposées. celle qui donne les meilleurs résultats (erreur minimale) est :

$$\Delta H_v = d = A (T_c - T)^{1/3} + B (T_c - T)^{2/3} + C (T_c - T) \quad (48)$$

Cette équation a été proposée par DJERANGE, BREDDY et BASAGE. Les constantes A , B et C sont tabulées :

| hydrocarbre | A | B | C |
|-------------|--------|---------|-----------|
| propane | 18,494 | 40778 | -0,39275 |
| n-butane | 4,9739 | 6,5987 | -0,53030 |
| n-pentane | 14,470 | 2,2980 | -0,14569 |
| m-hexane | 14,915 | 1,5513 | -0,084998 |
| m-octane | 26,600 | -2,7427 | 0,24054 |
| m-decane | 27,836 | -3,4800 | 0,28775 |
| cyclohexane | 12,555 | 2,0095 | -0,10531 |
| 1-butène | 18,324 | 2,1081 | -0,14035 |
| 1-pentène | 8,9282 | 3,6057 | -0,22762 |

III-14. Correlation de Slavarschan - Joe Magré et Riki Kobayashi (1984).

Cette corrélation permet de calculer la chaleur de vaporisation des aromatiques du point de fusion au point critique :

$$L^* = L_{(0)}^* + \omega * L_{(1)}^* \quad (49)$$

avec :

$$L^* = L / RT_c ; L_{(0)}^* = L(0) / RT_c ; L_{(1)}^* = L(1) / RT_c$$

$$\omega^* = \frac{\omega - \omega_0}{\omega_1 - \omega_0} \quad \omega = -\log P_r \text{ (at } r=0,3) - 1,0$$

ω : facteur acentrique de la substance

ω_0 : facteur acentrique du Benzène = 0,212

ω_1 : facteur acentrique du Carbazole = 0,461
 $0,21 < \omega < 0,46$

Taraquato et Statt ont proposé en 1982

Les expressions :

$$(50) \quad \begin{aligned} L^*(\sigma) &= A_1 \varepsilon^\beta + A_2 \varepsilon^{\beta+\Delta} + A_3 \varepsilon^{1-\alpha+\beta} + B_1 \varepsilon + B_2 \varepsilon^2 + B_3 \varepsilon^3 \\ L^*(\sigma) &= A_1^* \varepsilon^\beta + A_2^* \varepsilon^{\beta+\Delta} + A_3^* \varepsilon^{1-\alpha+\beta} + B_1^* \varepsilon + B_2^* \varepsilon^2 + B_3^* \varepsilon^3 \end{aligned}$$

Avec

$$\alpha = \frac{1}{8} \quad \beta = \frac{1}{3} \quad \text{et} \quad \Delta = \frac{1}{2}$$

Par un système d'équations on détermine les coefficients:

$A_1, A_2, A_3, B_1, B_2, B_3$ et $A_1^*, A_2^*, A_3^*, B_1^*, B_2^*, B_3^*$

et $\varepsilon = (T_c - T) / T_c$

Alwarappa, Joe, et Ribi proposent en 1984 l'expression suivante:

$$(51) \quad L = D_1 \varepsilon^{0,333} + D_2 \varepsilon^{0,8333} + D_3 \varepsilon^{1,2083} + E_1 \varepsilon + E_2 \varepsilon^2 + E_3 \varepsilon^3$$

Aussi par un système d'équations on détermine les coefficients

L'erreur commise par cette expression est

calculée par: $L_{rms} = \left(\left[\left\{ \sum (L_{exp} - L_{cal}) / L_{exp} \right\} \times 100 \right]^2 / n \right)^{1/2}$

Pour $0 < \varepsilon < 0,64$ l'erreur commise pour les différents aromatiques est $0,91 < L_{rms} < 2,85 \%$

III-4. formules des divers corps:

Pour l'eau Regnaut a proposé :

$$(52) \quad \Delta H_v = 606,5 - 0,695t \quad \text{en cal/g}$$

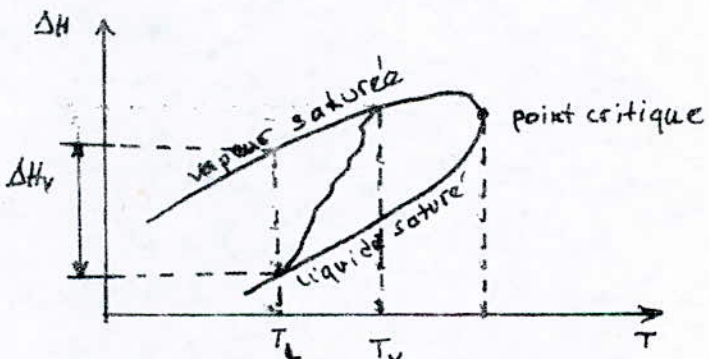
$t \text{ en } ^\circ\text{C}$

Pour le Benzène une formule a été proposée :

$$(53) \quad \Delta H_v = 109,0,135t$$

IV LA CHALEUR LATENTE DE VAPORISATION D'UNE FRACTION PETROLIERE:

Pour une fraction pétrolière, le changement de phase ne n'effectue pas à une température constante mais dans un intervalle de température ($T_b - T_n$)



Si l'on peut calculer ces températures T_b et T_n la chaleur de vaporisation est égale à :

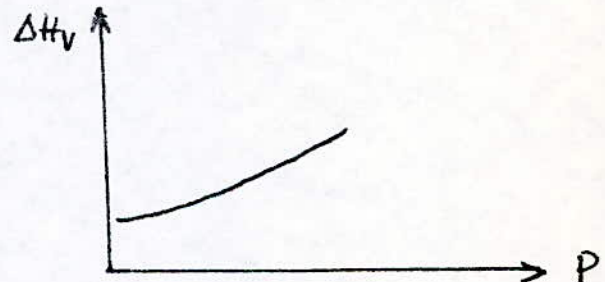
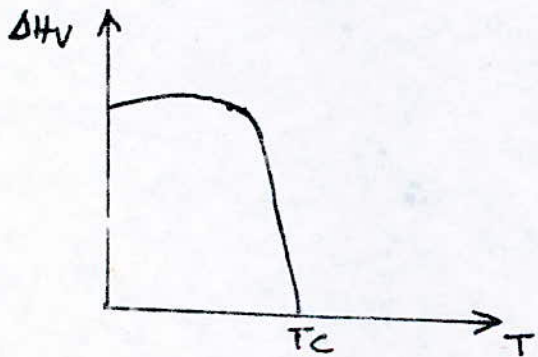
$$\Delta H_v = H_{\text{vap}} - H_{\text{liq}} \quad (54)$$

Une méthode de calcul plus simple consiste à dire que la chaleur de vaporisation d'une fraction pétrolière est égale à la chaleur de vaporisation d'un hydrocarbure pur de même poids moléculaire (ou de même T_{mav}) à vapeur égale à la pression considérée pour la fraction. et on opère de la même façon que pour le corps inconnu. (voir paragraphe II-2)

IV - VARIATION DE LA CHALEUR DE VAPORISATION AVEC LA TEMPERATURE :

La chaleur de vaporisation décroît avec la température et s'annule au point critique

$$\text{à } T=T_c \Rightarrow \Delta H_v = 0 \text{ et } \left(\frac{\partial \Delta H_v}{\partial T} \right)_c = \infty \quad (55)$$



Par contre ΔH_v varie légèrement avec la pression.

PARTIE
EXPERIMENTALE

Chapitre 1

ETUDE DE LA TENSION DE VAPEUR DES HYDROCARBURES

I. Exposé du problème:

Notre travail, dans sa partie expérimentale a consisté en :

— La conception et la mise au point d'un appareil permettant de mesurer la tension de vapeur des différents composés

— l'utilisation de cet appareil pour la mesure avec précision des tensions de vapeur des :

- corps purs.
- mélanges de corps purs.
- fractions pétrolières.

II. Description de l'appareillage: (Fig II-1)

L'appareillage mis au point se compose :

— d'un manomètre (7) : tube en U gradué et rempli d'une hauteur de 760 mm de mercure. Le mercure utilisé est de marque PROLABO d'une densité de 13,6 Kg/l.

— d'une pompe à vide (8) de marque SPEEDIVAC

— d'un ballon tricol de 250ml (9) sur lequel on a placé un thermomètre gradué de 0 à 300°C, une ampoule à brome qui sert à contenir le corps étudié.

— d'un piège (6) servant à éviter :

- * le retour du mercure quand on fait le vide
- * la condensation des hydrocarbures sur le tube en U.

- d'un chauffe ballon ⑤ adapté et réglable.
- d'une réserve à vide ⑧ de 10 l qui sert à éviter la montée brusque du mercure dans l'opération du vide.
- deux robinets à 2 voies ⑩
- d'un robinet à 3 voies ⑨

Le ballon, le chauffe ballon sont fixés au statif et le manomètre, le piège et le robinet à 3 voies à une planche fixe, le tout est relié par des tubes en verre comme le montre la Fig. II. 1.

Pour éviter que le corps étudié ne condense dans le tube horizontal entre le robinet ⑩ et le robinet ⑨ on a recouvert cette partie jusqu'au ballon d'un ruban chauffant.

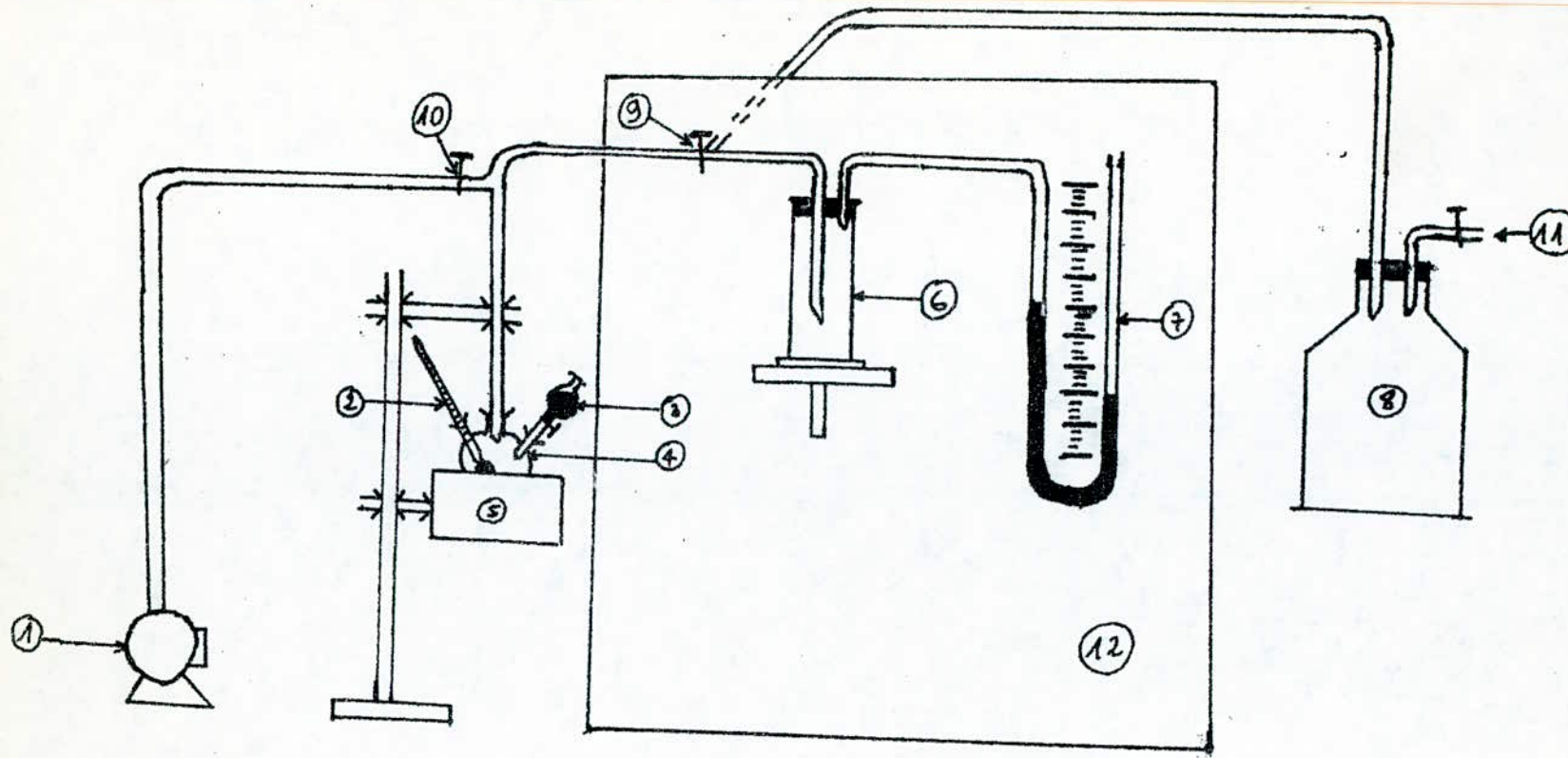
III - Mode opératoire :

Pour mesurer la tension de vapeur du liquide étudié nous avons suivi le protocole opératoire suivant :

1. On démonte partiellement l'appareil et en élimine à l'aide d'un courant d'air toute trace du liquide précédent.
2. On met dans l'ampoule à brome le liquide à étudier
3. A l'aide de la pompe à vide on fait le vide dans le système le plus poussé possible (dans notre cas on atteint la valeur de 3 mm Hg). On isole le système en fermant le robinet ⑨ placé au dessus du ballon et on obture l'accès à la réserve par le robinet à 3 voies ⑨.

S'il n'y pas de fuites la pression est constante, dans le cas contraire, on détecte, on élimine les fuites et on refait le vide.

4. Une fois les fuites éliminées, on allume le chauffe ballon et on laisse le liquide tomber goutte à goutte sur



-SCHEMA DE L'APPAREILLAGE-

fig II-1

Nomenclature:

- | | |
|--|-------------------------|
| ① pompe à vide | ⑦ manomètre à mercure |
| ② thermomètre avec aoute (0° - 300°C) | ⑧ réserve à vide de sol |
| ③ Ampoule à decanter | ⑨ robinet à 3 voies |
| ④ ballon tricol | ⑩ robinet à 2 voies |
| ⑤ chauffe ballon réglable | ⑪ sortie |
| ⑥ piège | ⑫ support du dispositif |

l'aoute qui entoure le réservoir du thermomètre. Chaque goutte doit se vaporiser avant que la suivante tombe.

5. Dans un domaine de 20°C à la T_e Température d'ébullition du corps, pour chaque Température on note la pression (tension de vapeur saturante).

6. On refait un deuxième essai pour le même liquide, si les résultats sont reproductibles avec une marge de tolérance on passe à un autre liquide dans le cas contraire on refait l'expérience jusqu'à reproduction des résultats

IV Corps étudiés

Tous les produits étudiés sont de marque MERCK donnés avec une pureté de 99,5%.

Dans un premier temps on a expérimenté notre dispositif sur les corps simples suivants:

- n-hexane

Les paraffines : - n-pentane

- m-heptane

- cyclohexane

Les naphthalènes :

- méthylcyclopentane

- Benzène

les aromatiques : - Toluène

- Xylène

Dans un second temps on a étudié les mélanges de corps purs et un simulant de fraction pétrolière et une fraction pétrolière légère; on garde le même mode

et on arrête à la température d'ébullition du corps le plus volatil:

- Les mélanges paraffiniques

- 50% n-pentane et 50% n-hexane en volume
- 50% n-pentane et 50% n-heptane en volume
- 50% n-hexane + 50% n-heptane en volume, en poids et en moles
- $\frac{1}{3}$ n-pentane + $\frac{1}{3}$ n-hexane + $\frac{1}{3}$ n-heptane en volume

- Les mélanges naphéniques : - 50% cyclohexane + 50% méthyl-cyclopentane en volume, en poids et en moles

- les mélanges aromatiques

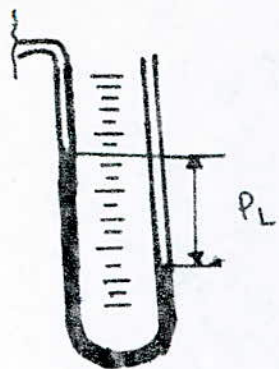
- 50% Benzène + 50% Toluène en volume, en poids et en moles
- 50% Benzène + 50% Xylène en volume
- 50% toluène + 50% xylène en volume
- $\frac{1}{3}$ Benzene + $\frac{1}{3}$ toluène + $\frac{1}{3}$ xylène en volume.

- le mélange simulant une fraction pétrolière :
 $\frac{1}{3}$ n-hexane + $\frac{1}{3}$ cyclohexane + $\frac{1}{3}$ Benzène
en volume, en poids et en moles.

- la fraction pétrolière : - Naphta.

4. Méthode de calcul:

La pression dans l'appareil est obtenue en soustrayant de la pression barométrique, la pression lue au manomètre.



$$P = P_a - P_L$$

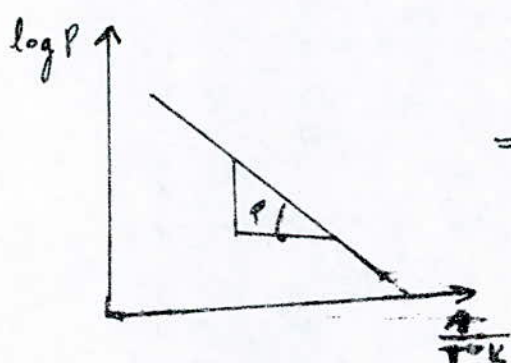
P : pression dans l'appareil en mm Hg

P_a : Pression atmosphérique $\approx 760 \text{ mm Hg}$

P_L : pression lue au manomètre de l'appareil.

Après avoir calculé P on porte la tension de vapeur P en fonction de la température T . En utilisant des points convenables sur la courbe, on porte $\log P$ en fonction de $\frac{1}{T}$.

selon la formule de Clapeyron on obtient une droite dont la pente est une fonction de la chaleur latente de vaporisation.



$$P = \frac{-\Delta H_V}{2,3 R}$$

$$\Rightarrow \Delta H_V = -2,3 \times 1,98 \times P$$

$$\Delta H_{V_{\text{exp}}} = -4,554 P \quad (56)$$

Après cela, on compare ΔH_V^{exp} avec ΔH_V^{th} afin de déterminer l'erreur commise expérimentalement.

IV Tableaux et courbes des essais:

Les Paraffines

TABLEAU -1-

Variation de P fonction de T pour le n-pentane

| T°C | mesure P mm Hg | mesure P mm Hg | mesure P mm Hg | log P | $10^3 \frac{d}{dT} P$ |
|-----|-------------------|-------------------|-------------------|-------|-----------------------|
| 20 | 454 | 456 | 455 | 2,65 | 3,41 |
| 25 | 504 | 498 | 501 | 2,69 | 3,35 |
| 30 | 620 | 624 | 622 | 2,79 | 3,30 |
| 35 | 740 | 736 | 738 | 2,86 | 3,24 |
| 36 | 755 | 761 | 758 | 2,87 | 3,23 |

Calcul de la chaleur de vaporisation:

$$P = \frac{-0,30}{0,28 \cdot 10^{-3}} = -1200$$

$$\Delta H_v \text{ exp} = 5464,8 \text{ cal/mol}$$

$$\Delta H_v \text{ th} = 6160 \text{ cal/mol}$$

écart : 12 %

Les Paraffines

TABLEAU -2-

Variation de P fonction de T pour le m-hexane

| T°C | mesure P mm Hg | mesure P mm Hg | mesure P mm Hg | log P | $10^3 \frac{d}{dT} P$ |
|-----|-------------------|-------------------|-------------------|-------|-----------------------|
| 20 | 185 | 183 | 187 | 2,13 | 3,41 |
| 30 | 196 | 204 | 200 | 2,10 | 3,30 |
| 40 | 290 | 292 | 291 | 2,06 | 3,11 |
| 50 | 395 | 401 | 398 | 2,08 | 3,03 |
| 60 | 532 | 534 | 533 | 2,12 | 3,00 |
| 65 | 620 | 630 | 625 | 2,19 | 2,95 |
| 69 | 754 | 756 | 755 | 2,87 | 2,72 |

Calcul de la chaleur de vaporisation:

$$P = \frac{-0,56}{0,4 \cdot 10^{-3}} = -1400$$

$$\Delta H_v \text{ exp} = 6375,6 \text{ cal/mol}$$

$$\Delta H_v \text{ th} = 6869 \text{ cal/mol}$$

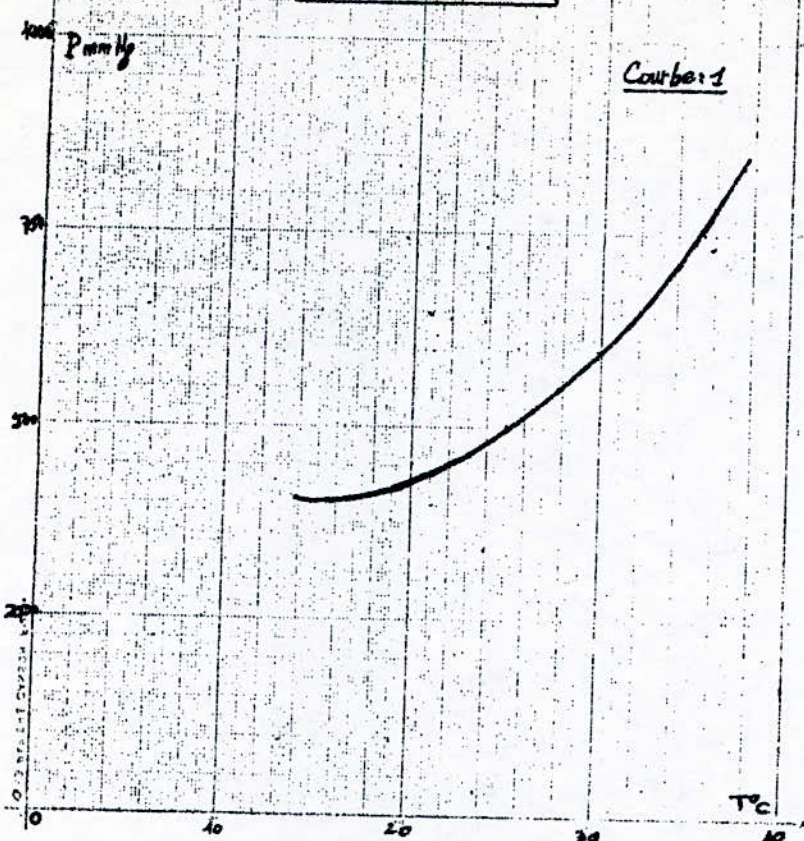
écart : 7 %

Les paraffines

$$P = f(T) \text{ du } n\text{-pentane}$$

P mm Hg

Courbe 1



Les paraffines

$$\log P = f(1/T) \text{ du } n\text{-pentane}$$

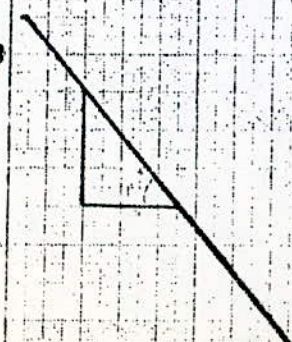
$\log P$

Courbe 2

$$P = \frac{-0.30}{935 \cdot 10^3} = -1200$$

$$\Delta H_r \exp = 5464,7 \text{ cal/mol}$$

3

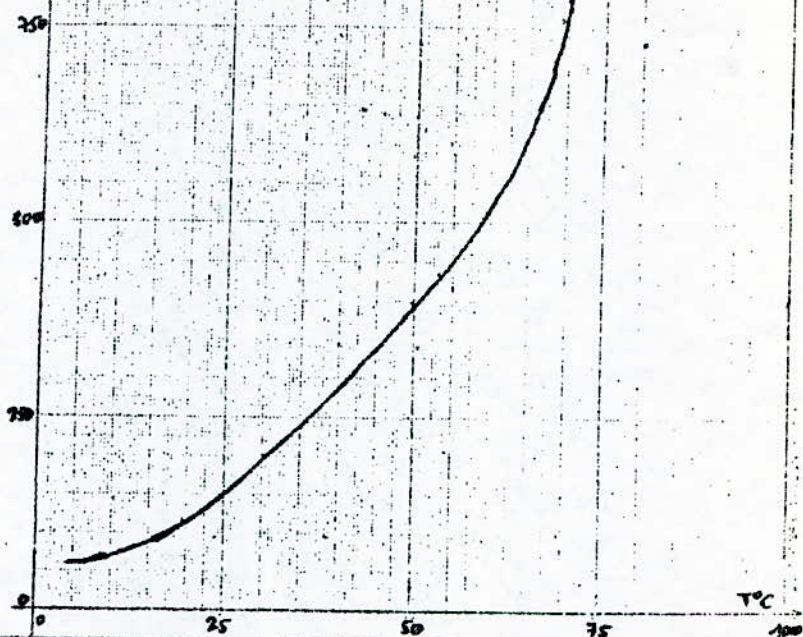


les paraffines

$P = f(T)$ du n-hépane

mmHg

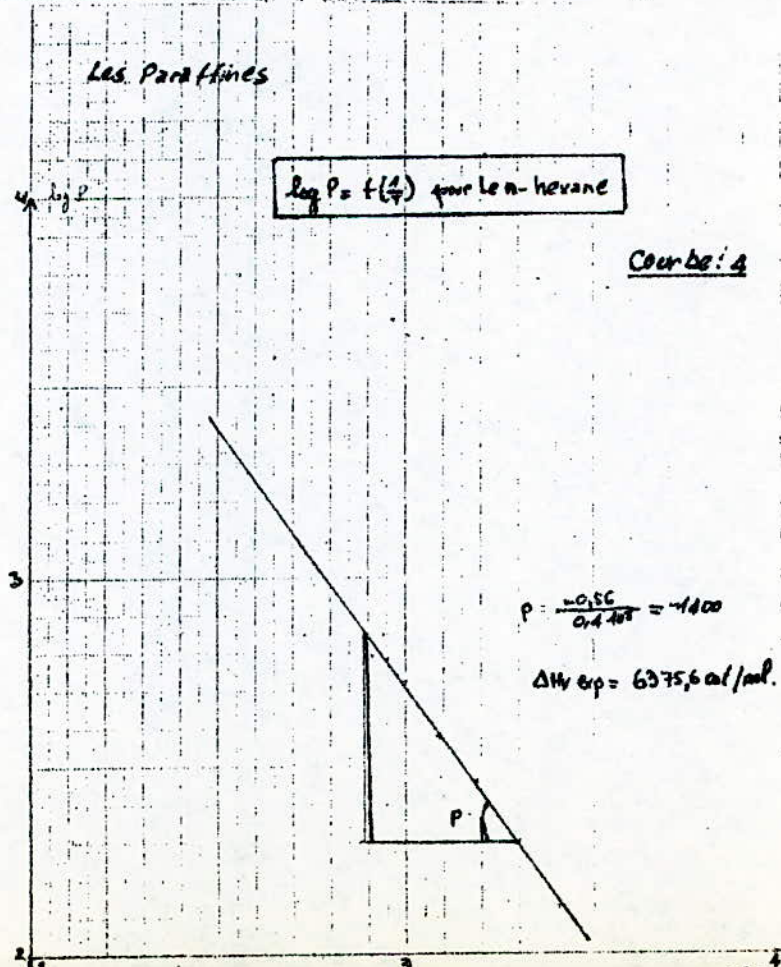
courbe: 3



Les Paraffines

$\log P = f(T)$ pour le n-hexane

Courbe: 4



Les Paraffines

TABLEAU - 3 -

Variation de P fonction de T pour le m-hexane

| $t^{\circ}C$ | ressai P _{m-Hg} | ressai P _{m-Hg} | moyenne P _{m-Hg} | log P | $10^{14} \frac{d}{dT}$ |
|--------------|-----------------------------|-----------------------------|------------------------------|-------|------------------------|
| 20 | 49 | 54 | 50 | 2,17 | 3,41 |
| 30 | 62 | 58 | 60 | 2,77 | 3,30 |
| 40 | 92 | 97 | 95 | 2,97 | 3,19 |
| 50 | 148 | 200 | 199 | 2,79 | 3,09 |
| 60 | 222 | 228 | 225 | 2,86 | 3,00 |
| 70 | 324 | 326 | 325 | 2,84 | 2,92 |
| 80 | 530 | 530 | 530 | 2,72 | 2,83 |
| 90 | 604 | 607 | 604 | 2,78 | 2,75 |
| 95 | 650 | 650 | 650 | 2,81 | 2,71 |
| 98,5 | 750 | 754 | 752 | 2,77 | 2,69 |

Calcul de la chaleur de vaporisation :

$$P = \frac{-0,70}{0,398 \cdot 10^3} = -1772$$

$$\Delta H_v \text{ exp} = 8070 \text{ cal/mol}$$

$$\Delta H_v H_f = 7575 \text{ cal/mol}$$

Les Paraffines

TABLEAU - 4 -

Variation de P fonction de T du mélange

50% du m-pentane + 50% du m-hexane en volume

| $t^{\circ}C$ | ressai P _{m-Hg} | ressai P _{m-Hg} | moyenne P _{m-Hg} | log P | $10^{14} \frac{d}{dT}$ |
|--------------|-----------------------------|-----------------------------|------------------------------|-------|------------------------|
| 20 | 261 | 299 | 280 | 2,14 | 3,44 |
| 25 | 252 | 368 | 360 | 2,55 | 3,45 |
| 30 | 380 | 380 | 380 | 2,57 | 3,30 |
| 35 | 435 | 437 | 436 | 2,63 | 3,20 |
| 36 | 437 | 443 | 440 | 2,66 | 3,23 |

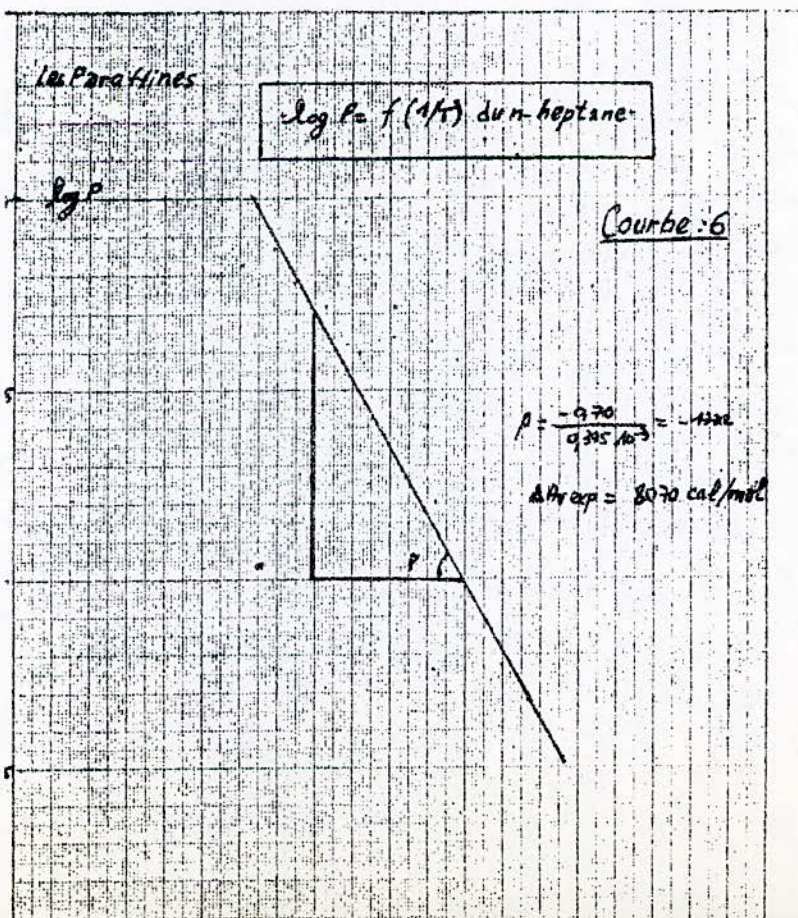
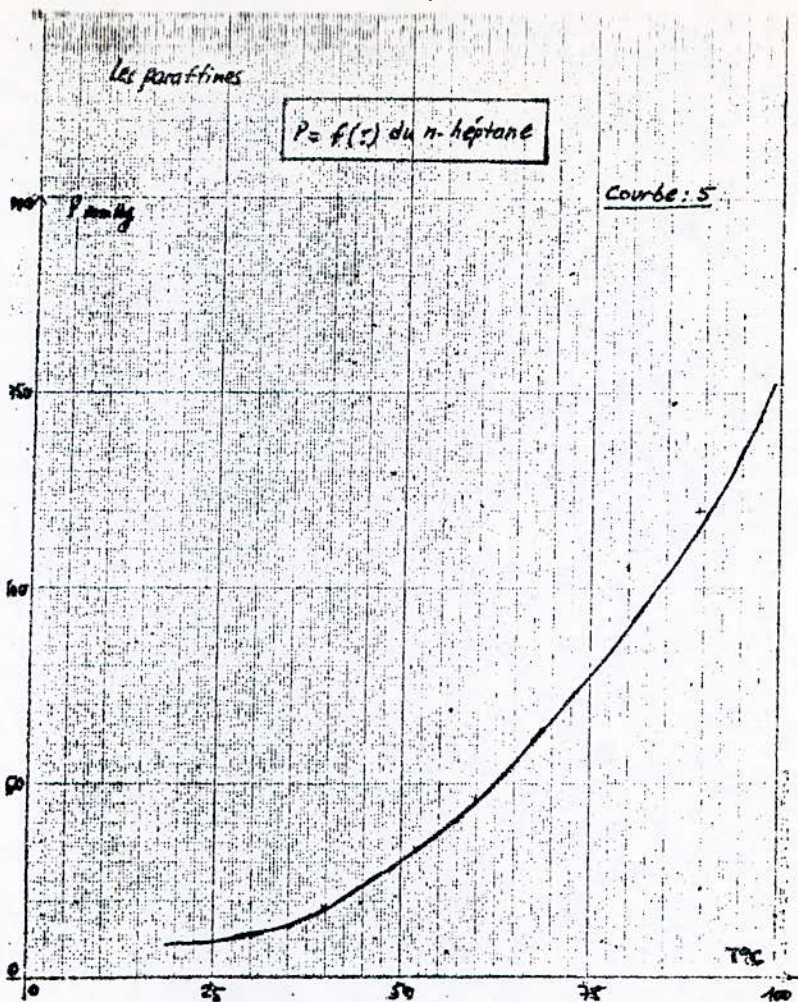
Calcul de la chaleur de vaporisation :

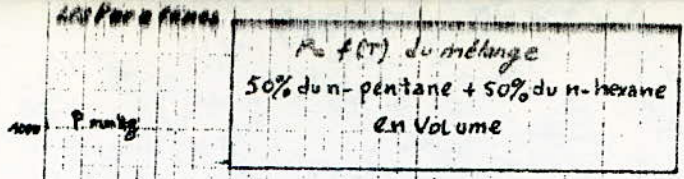
$$P = \frac{-0,70}{0,393 \cdot 10^3} = -1667$$

$$\Delta H_v \text{ exp} = 7595 \text{ cal/mol}$$

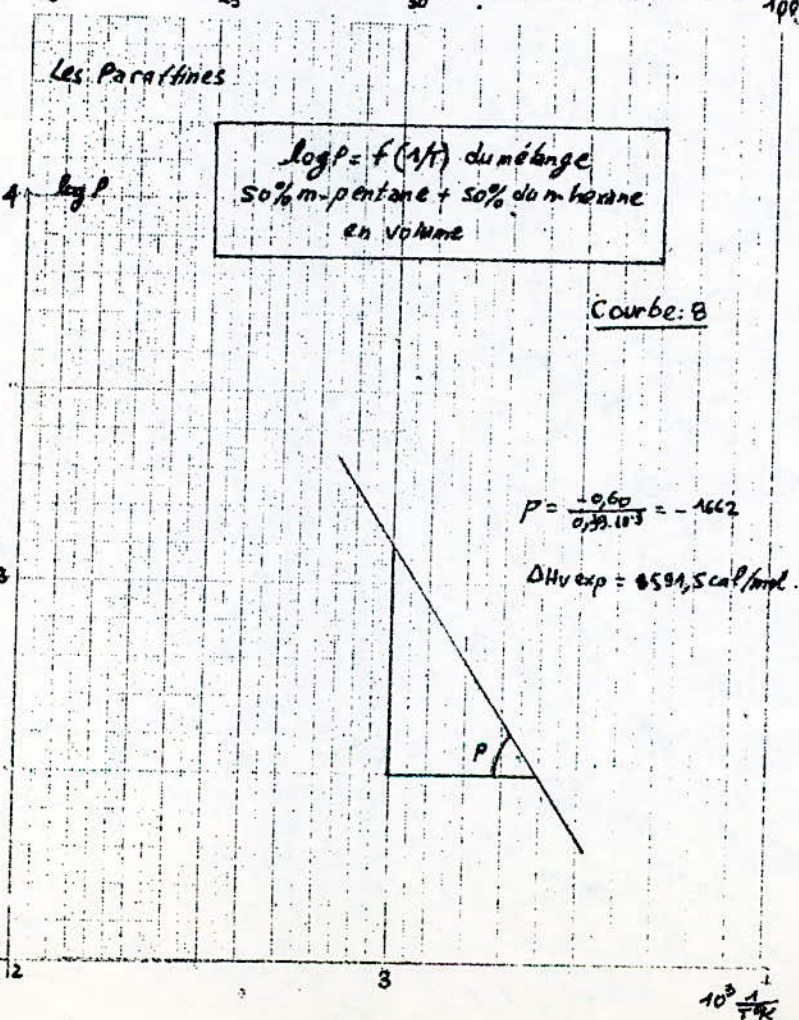
$$\Delta H_v H_f = \frac{0,160 + 6890}{2} = 65,18 \text{ cal/mol}$$

écart : 16%





Courbe: 7



Les Paraffines

TABLEAU - 5 -

Variation de P fonction de T du mélange
50% de n-pentane + 50% de n-heptane en volume

| T°C | 1 ^{er} essai P mm Hg | 2 nd essai P mm Hg | moyenne P mm Hg | log P | $10^4 \frac{A}{T(C)}$ |
|-----|----------------------------------|----------------------------------|--------------------|-------|-----------------------|
| 20 | 241 | 239 | 240 | 2,38 | 3,41 |
| 25 | 199 | 203 | 206 | 2,67 | 3,55 |
| 30 | 219 | 221 | 220 | 2,50 | 3,30 |
| 35 | 358 | 362 | 360 | 2,55 | 3,74 |
| 36 | 370 | 374 | 372 | 2,57 | 3,73 |

calcul de la chaleur de vaporisation :

$$P = \frac{-0,142}{0,30 \cdot 10^{-3}} = -4400$$

$$\Delta H_v \text{ exp} = 6375,60 \text{ cal/mol}$$

$$\Delta H_v \text{ th } = \frac{6160 + 7575}{2} = 6867,5 \text{ cal/mol}$$

écart : 7%

Les Paraffines

TABLEAU - 6 -

Variation de P fonction de T du mélange
50% de n-hexane + 50% de n-heptane en volume

| T°C | 1 ^{er} essai P mm Hg | 2 nd essai P mm Hg | moyenne P mm Hg | log P | $10^4 \frac{A}{T(C)}$ |
|-----|----------------------------------|----------------------------------|--------------------|-------|-----------------------|
| 20 | 102 | 98 | 100 | 2,00 | 3,41 |
| 30 | 150 | 154 | 152 | 2,18 | 3,30 |
| 40 | 242 | 258 | 240 | 2,38 | 3,19 |
| 50 | 300 | 300 | 300 | 2,07 | 3,09 |
| 60 | 358 | 362 | 360 | 2,55 | 3,11 |
| 69 | 437 | 443 | 440 | 2,64 | 2,92 |

calcul de la chaleur de vaporisation

$$P = \frac{-0,158}{0,40 \cdot 10^{-3}} = -4450$$

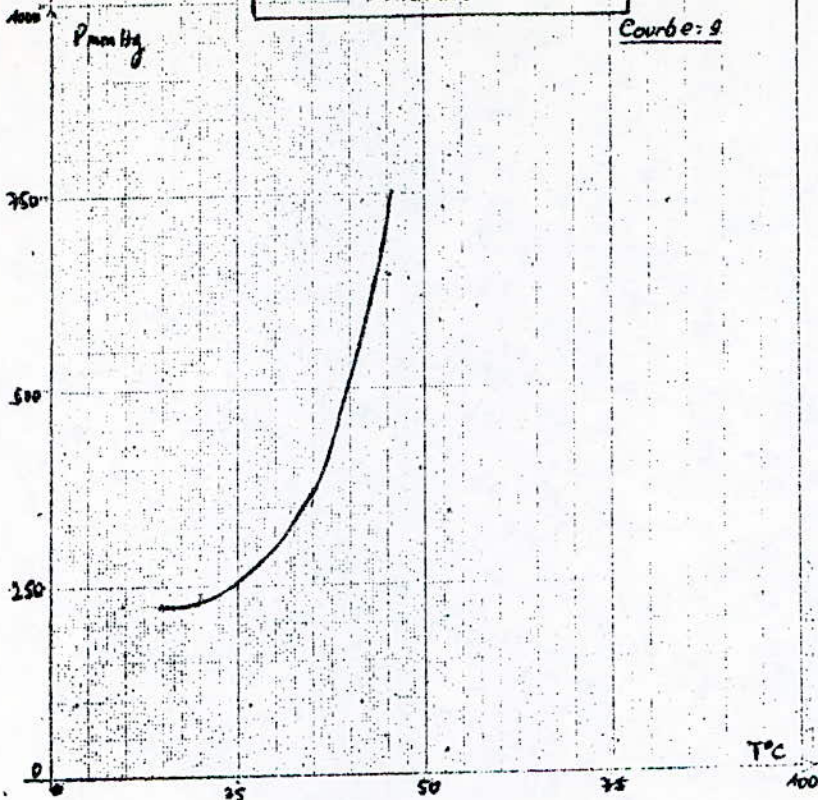
$$\Delta H_v \text{ exp} = 6604 \text{ cal/mol}$$

$$\Delta H_v \text{ th } = \frac{6896 + 7575}{2} = 7235,5 \text{ cal/mol}$$

écart : 9%

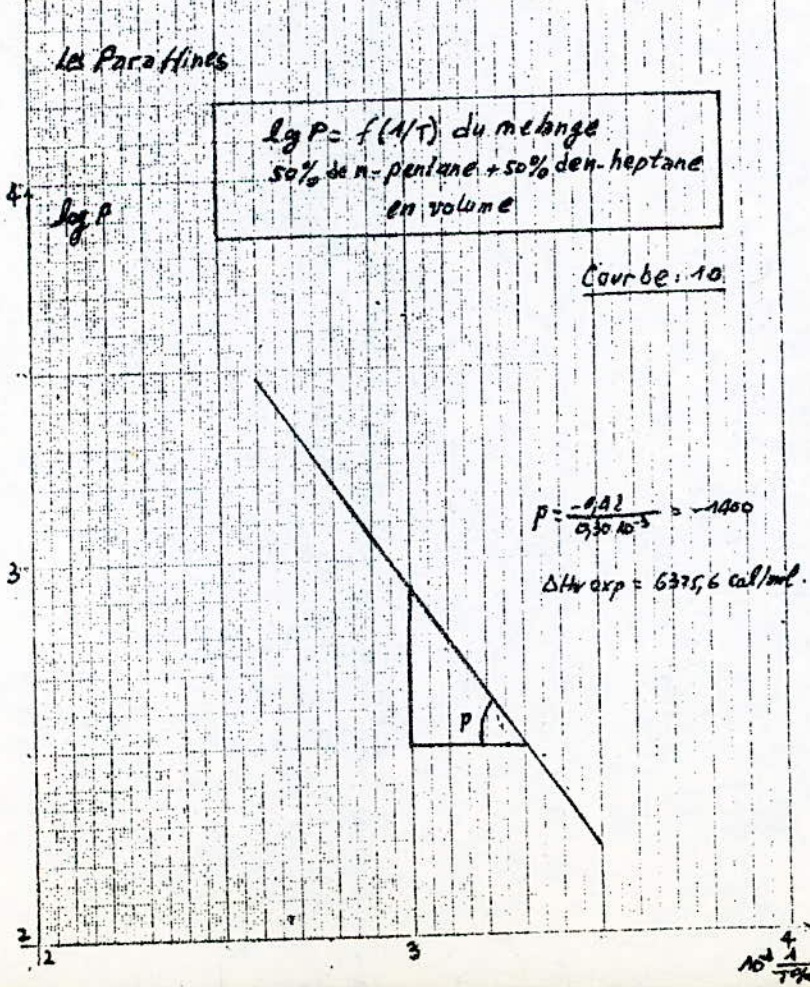
LES paraffines

$P = f(T)$ du mélange.
50% n-pentane + 50% n-heptane
en volume

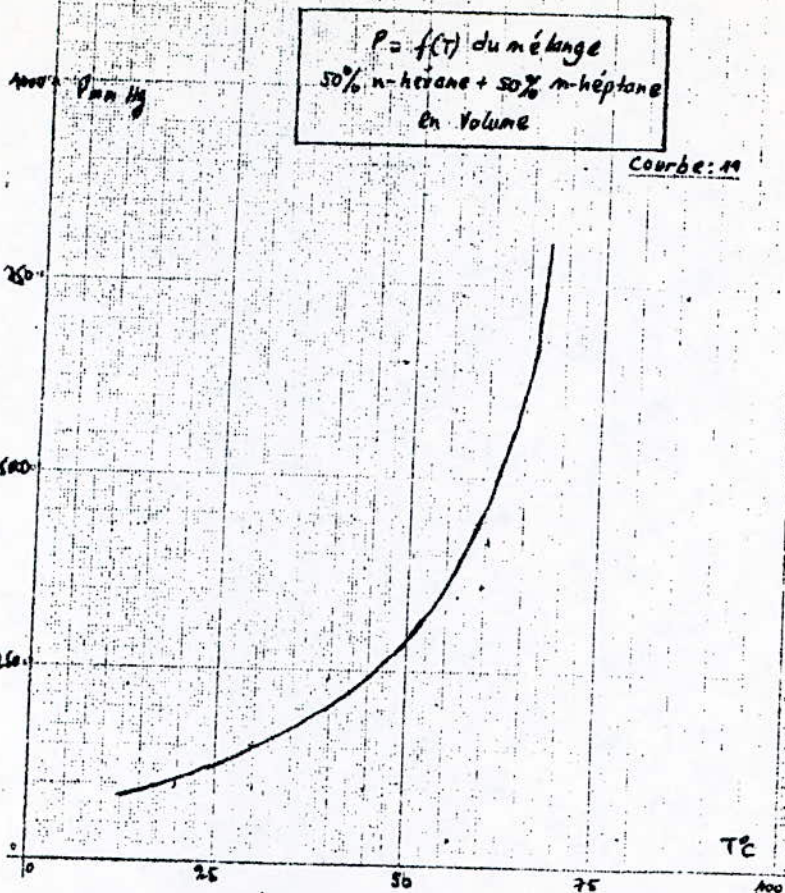


LES Paraffines

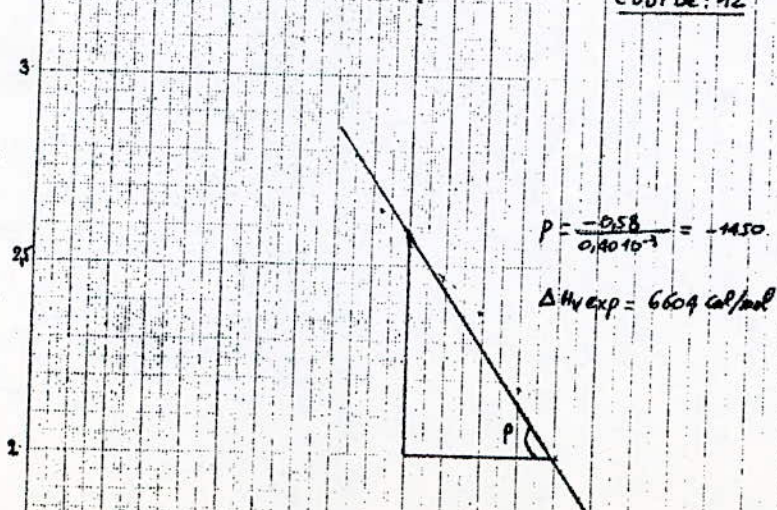
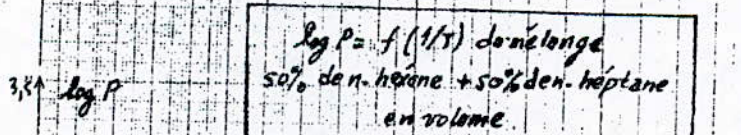
$\log P = f(1/T)$ du mélange
50% de n-pentane + 50% de n-heptane
en volume



Les paraffines



Les Paraffines



Les Paraffines

Variation de P fonction de T du mélange
50% de m-hexane + 50% de m-heptane en poids

| t°C | 15°cuv 1mm Hg | 100°cuv 1mm Hg | moyenne 1mm Hg | log P | $10^{3,1} \frac{1}{T-100}$ |
|-----|------------------|-------------------|-------------------|-------|----------------------------|
| 20 | 100 | 104 | 102 | 2,00 | 3,44 |
| 30 | 158 | 140 | 139 | 2,24 | 3,30 |
| 40 | 180 | 176 | 178 | 2,25 | 3,19 |
| 50 | 240 | 234 | 237 | 2,57 | 3,19 |
| 60 | 320 | 346 | 348 | 2,80 | 3,00 |
| 69 | 350 | 340 | 345 | 2,53 | 2,97 |

Calcul de la chaleur de vaporisation:

$$P = \frac{-0,48}{0,41 \cdot 10^{-3}} = -1170$$

$$\Delta H_v \text{exp} = 53,20 \text{ cal/mol}$$

$$\Delta H_v \text{th} = 72,35,5 \text{ cal/mol}$$

écart : 26%

Les Paraffines

TABLEAU -8-

Variation de P fonction de T du mélange
50% m-hexane + 50% de m-heptane en moles

| t°C | 15°cuv 1mm Hg | 100°cuv 1mm Hg | moyenne 1mm Hg | log P | $10^{3,1} \frac{1}{T-100}$ |
|-----|------------------|-------------------|-------------------|-------|----------------------------|
| 20 | 84 | 88 | 86 | 1,93 | 3,44 |
| 30 | 120 | 122 | 121 | 2,08 | 3,30 |
| 40 | 156 | 160 | 158 | 2,19 | 3,19 |
| 50 | 294 | 298 | 296 | 2,17 | 3,19 |
| 60 | 302 | 310 | 306 | 2,48 | 3,00 |
| 69 | 304 | 314 | 309 | 2,13 | 2,97 |

Calcul de la chaleur de Vaporisation:

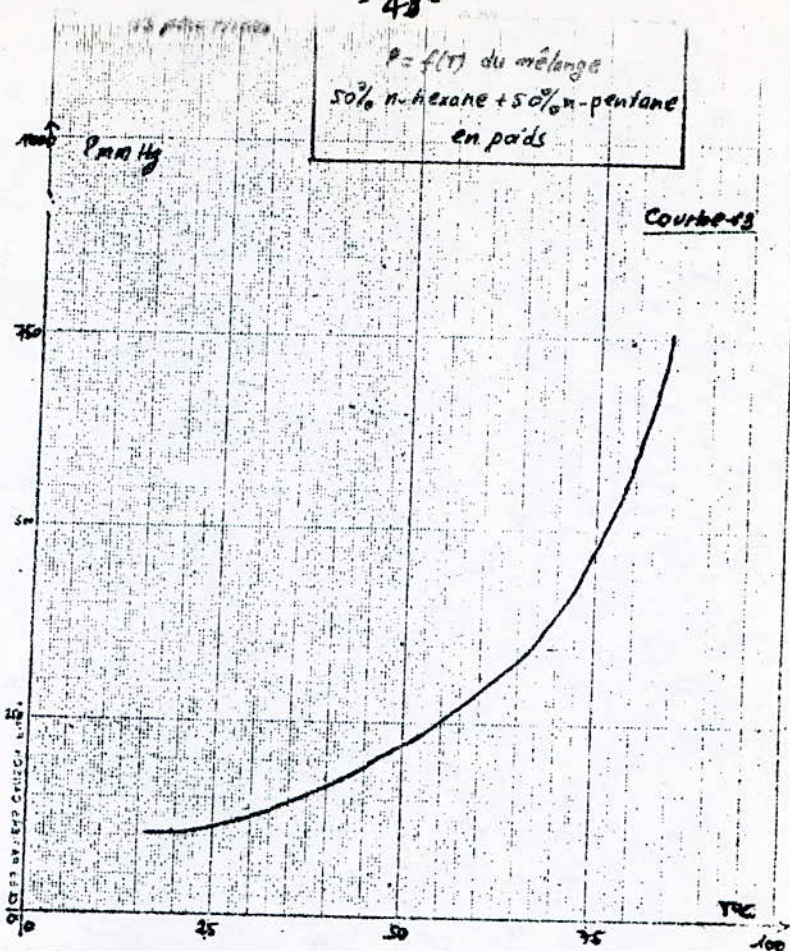
$$P = \frac{-0,419}{0,37 \cdot 10^{-3}} = -1325$$

$$\Delta H_v \text{exp} = 60,34 \text{ cal/mol}$$

$$\Delta H_v \text{th} = 72,35,5 \text{ cal/mol}$$

écart : 16%

$P = f(T)$ du mélange
50% n-hexane + 50% n-pentane
en poids



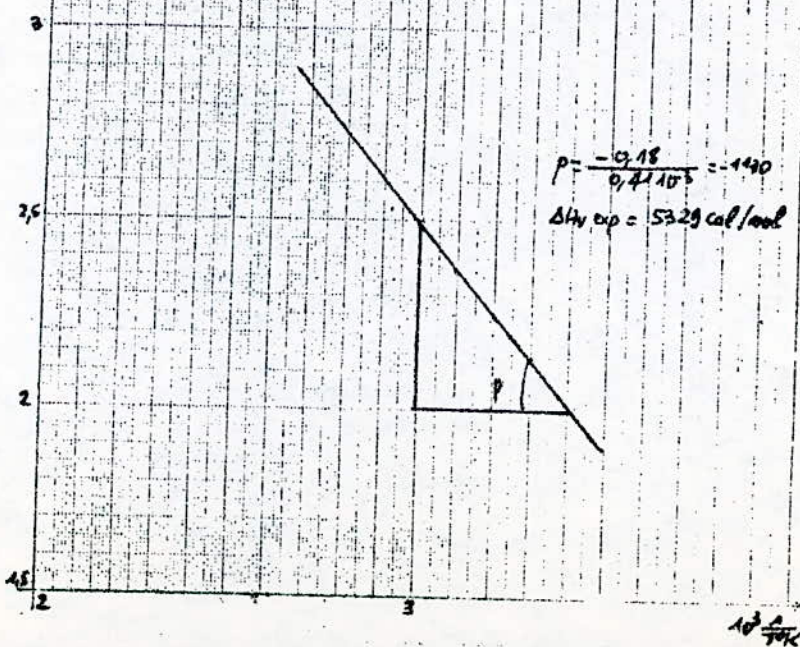
Les Paraffines

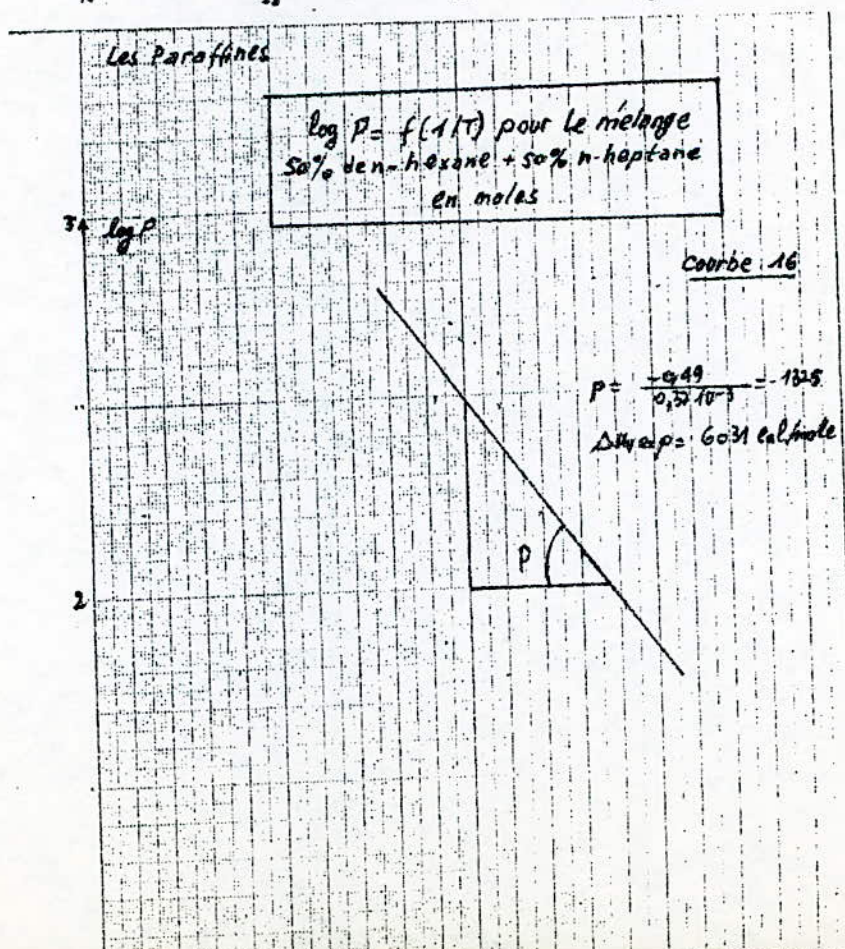
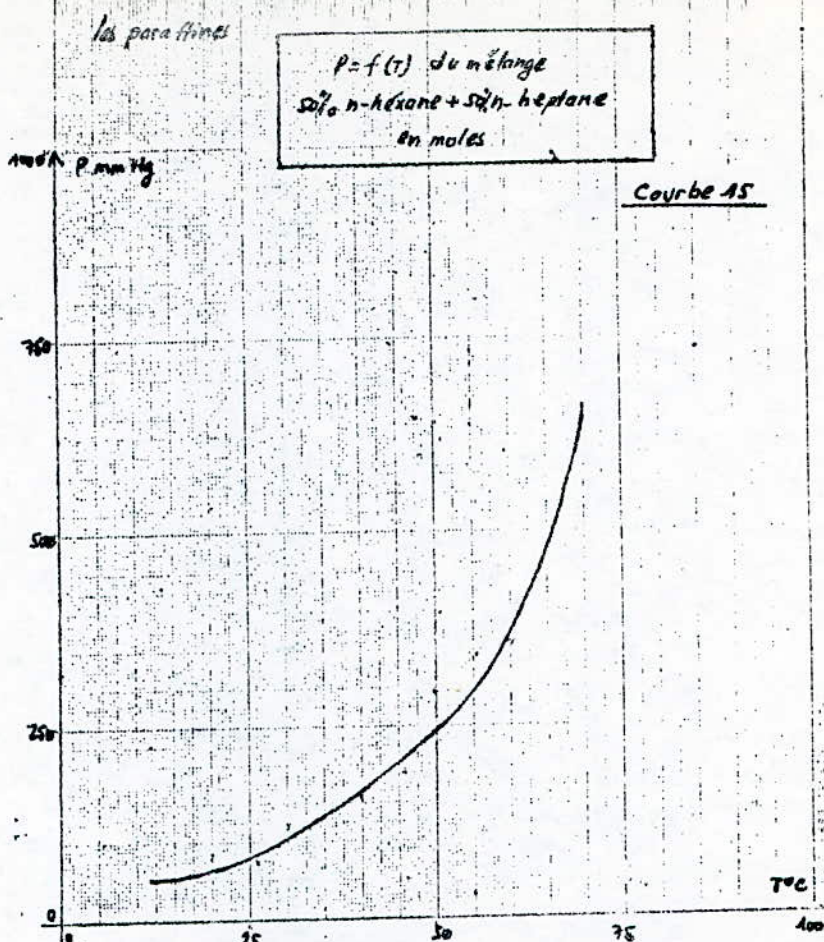
$\log P = f(1/T)$ du mélange
50% de n-hexane + 50% de n-heptane
en Poids

Courbe 18

$$P = \frac{-0,18}{0,4110^3} = -1400$$

$$\Delta H_v \exp = 5329 \text{ cal/mol}$$





Les Paraffines

TABLEAU - 9 -

VARIATION DE P FONCTION DE T DU MELANGE

$\frac{1}{3}$ dum-pentane + $\frac{1}{3}$ dum-hexane + $\frac{1}{3}$ dum-heptane
en volume

| t°C | température °C mmHg | température °F mmHg | température °R mmHg | log P | $10^3 \frac{1}{P} \text{ °C}$ |
|-----|------------------------|------------------------|------------------------|-------|-------------------------------|
| 20 | 148 | 492 | 4412 | 2,4 | 3,1 |
| 25 | 183 | 499 | 494 | 2,18 | 3,13 |
| 30 | 218 | 727 | 724 | 2,05 | 3,10 |
| 35 | 232 | 736 | 734 | 2,06 | 3,24 |
| 36 | 239 | 744 | 740 | 2,08 | 3,21 |

CALCUL DE LA CHALEUR DE VAPORISATION:

$$P = \frac{-5243}{7,28 \cdot 10^{-5}} = -1536$$

$$\Delta H_v \text{ exp} = 6998 \text{ cal/mol}$$

$$\Delta H_v \text{ th } = \frac{6460 + 6896 + 7323}{3}$$

$$\Delta H_v \text{ th } = 6877 \text{ cal/mol}$$

écart : 2%

les paraffines

$P = f(T)$ du mélange

$\frac{1}{3}$ de n-hexane + $\frac{1}{3}$ de n-pentane + $\frac{1}{3}$ de n-heptane
en volume

1000

Courbe 17

750

500

250

0

25

50

75

100

T°C

Les paraffines.

$\log P = f(1/T)$ pour le mélange

$\frac{1}{3}$ de n-hexane + $\frac{1}{3}$ de n-pentane + $\frac{1}{3}$ de n-heptane
en volume.

3,5 log P

Courbe 18

2

2,5

2

$$P = \frac{-9,43}{0,28 \cdot 10^5} = -1536$$

$$\Delta H_r \text{ exp.} = 6935 \text{ cal/mol.}$$

P

LES AMINTENES

TABLEAU - 11 -

Variation de P fonction de T pour
Le méthylcyclopentane

| t°C | 1 ^{re} essai mm Hg | 2 ^{me} essai mm Hg | moyenne mm Hg | log P | $10^3 \frac{1}{T[K]}$ |
|-----|--------------------------------|--------------------------------|------------------|-------|-----------------------|
| 20 | 81 | 89 | 80 | 1,95 | 3,41 |
| 30 | 170 | 178 | 174 | 2,24 | 3,30 |
| 40 | 267 | 265 | 266 | 2,42 | 3,19 |
| 50 | 380 | 380 | 380 | 2,57 | 3,09 |
| 60 | 530 | 534 | 532 | 2,72 | 3,00 |
| 70 | 692 | 706 | 699 | 2,84 | 2,92 |
| 72 | 742 | 758 | 750 | 2,87 | 2,89 |

CALCUL DE LA CHALEUR DE VAPORISATION:

$$P = \frac{-0,70}{0,45 \cdot 10^{-3}} = -1555$$

$$\Delta H_v \text{ exp} = 7082 \text{ cal/mol}$$

$$\Delta H_v \text{ th} = 7031 \text{ cal/mol.}$$

écart : 1%

Les népténènes

TABLEAU - 10 -

Variation de T fonction P pour le cyclohexane

| t°C | 1 ^{re} essai mm Hg | 2 ^{me} essai mm Hg | moyenne mm Hg | log P | $10^3 \frac{1}{T[K]}$ |
|-----|--------------------------------|--------------------------------|------------------|-------|-----------------------|
| 20 | 84 | 80 | 82 | 1,94 | 3,41 |
| 30 | 115 | 125 | 120 | 2,07 | 3,30 |
| 40 | 170 | 188 | 179 | 2,25 | 3,19 |
| 50 | 250 | 250 | 250 | 2,49 | 3,09 |
| 60 | 378 | 382 | 380 | 2,58 | 3,00 |
| 70 | 528 | 531 | 529,5 | 2,72 | 2,92 |
| 80 | 684 | 694 | 689 | 2,83 | 2,83 |
| 85 | 710 | 710 | 710 | 2,85 | 2,79 |
| 88 | 749 | 753 | 751 | 2,87 | 2,77 |

CALCUL DE LA CHALEUR DE VAPORISATION:

$$P = \frac{-0,35}{0,22 \cdot 10^{-3}} = -1591$$

$$\Delta H_v \text{ exp} = 7245 \text{ cal/mol}$$

$$\Delta H_v \text{ th} = 7204 \text{ cal/mol}$$

écart : 1%

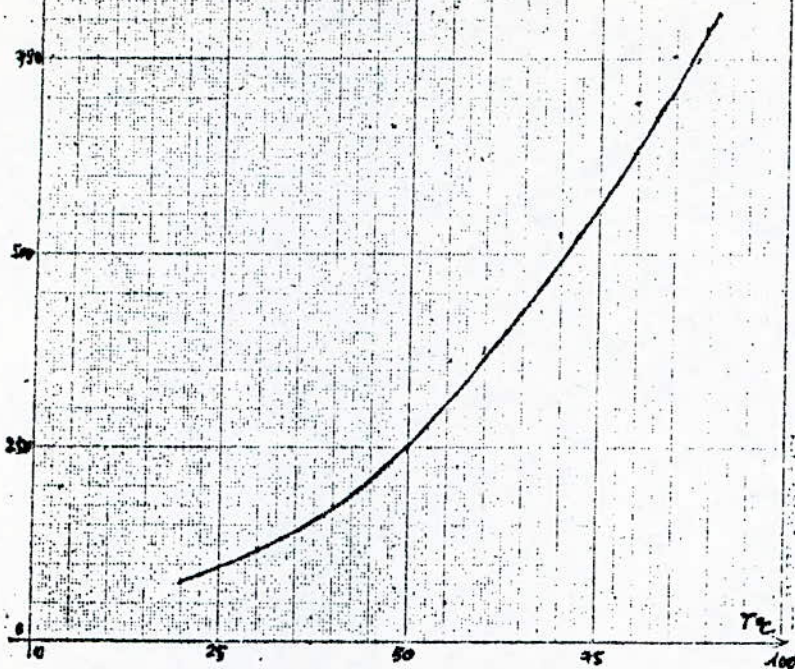
les naphthalènes

$P = f(T)$ du cyclohexane

-54-

ann P mmHg

Courbe 19



les naphthalènes

$\log P = f(1/T)$ du cyclohexane

Courbe 20

3.

$\log P$

$$P = \frac{-0,35}{0,22 \cdot 10^{-3}} = -1590,9$$

$$\Delta H_{\text{vap}} = 7245 \text{ cal/mol}$$

1.

25

3

35

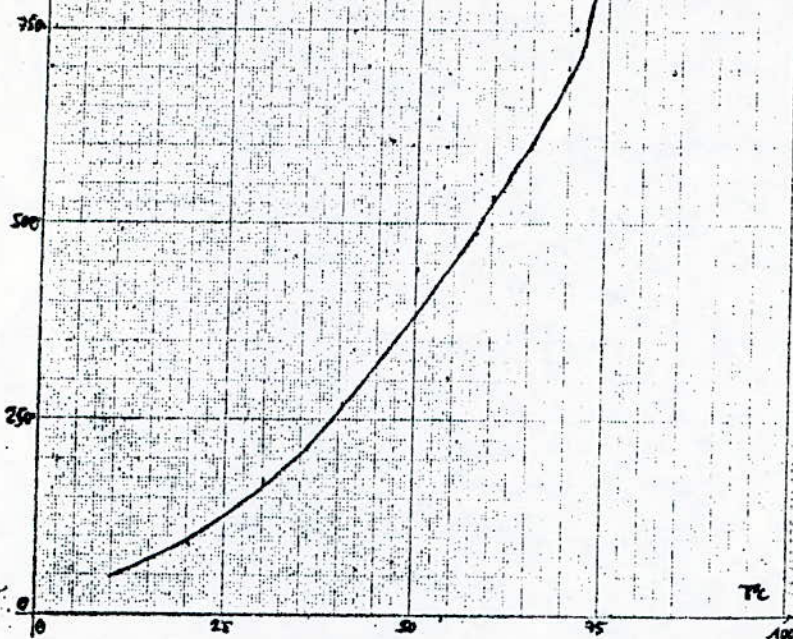
$$10^3 \frac{1}{T \text{ K}}$$

les naphthalènes

$P = f(T)$ du méthylcyclopentane

3^{me} P en mm Hg

Courbe 21



Les naphthalènes

$\log P = f(1/T)$ du méthylcyclopentane-

3^{me} $\log P$

Courbe 22

2 $P = \frac{-0.70}{0.45 \cdot 10^{-3}} = 1555$

$\Delta H_r \text{ exp} = 7082 \text{ cal/mol}$

LES NAPHTHENES

TABLEAU - 13 -

Variation de P fonction de T pour le mélange:
50% de méthylcyclopentane + 50% cyclohexane
en Poids

| t°C | Réel | Moyenne | moyenne | Log P | $10^3 \frac{1}{T(K)}$ |
|-----|----------|----------|----------|-------|-----------------------|
| | Poids Kg | Poids Kg | Poids Kg | | |
| 20 | 106 | 100 | 103 | 2,01 | 3,41 |
| 30 | 150 | 152 | 151 | 2,17 | 3,30 |
| 40 | 186 | 190 | 188 | 2,27 | 3,19 |
| 50 | 240 | 211 | 242 | 2,38 | 3,09 |
| 60 | 274 | 280 | 277 | 2,44 | 3,00 |
| 70 | 300 | 312 | 306 | 2,48 | 2,92 |
| 72 | 310 | 320 | 315 | 2,49 | 2,89 |

CALCUL DE LA CHALEUR DE VAPORISATION:

$$P = \frac{-0,49}{0,41 \cdot 10^{-3}} = -1195$$

$$\Delta H_v \text{ exp} = 5442 \text{ cal/mol}$$

$$\Delta H_v \text{ th} = 7117,5 \text{ cal/mol}$$

écart : 27%

LES NAPHTHENES

TABLEAU - 12 -

Variation de P fonction de T pour
le mélange : 50% cyclohexane + 50% méthylcyclopentane
en volume

| t°C | Réel | Moyenne | moyenne | Log P | $10^3 \frac{1}{T(K)}$ |
|-----|--------|---------|---------|-------|-----------------------|
| | Volume | Volume | Volume | | |
| 20 | 40 | 44 | 42 | 1,62 | 3,41 |
| 30 | 60 | 68 | 64 | 1,80 | 3,30 |
| 40 | 76 | 84 | 82 | 1,91 | 3,19 |
| 50 | 84 | 88 | 86 | 1,93 | 3,09 |
| 60 | 96 | 104 | 100 | 2,00 | 3,00 |
| 70 | 100 | 118 | 109 | 2,03 | 2,92 |
| 72 | 110 | 124 | 117 | 2,06 | 2,89 |

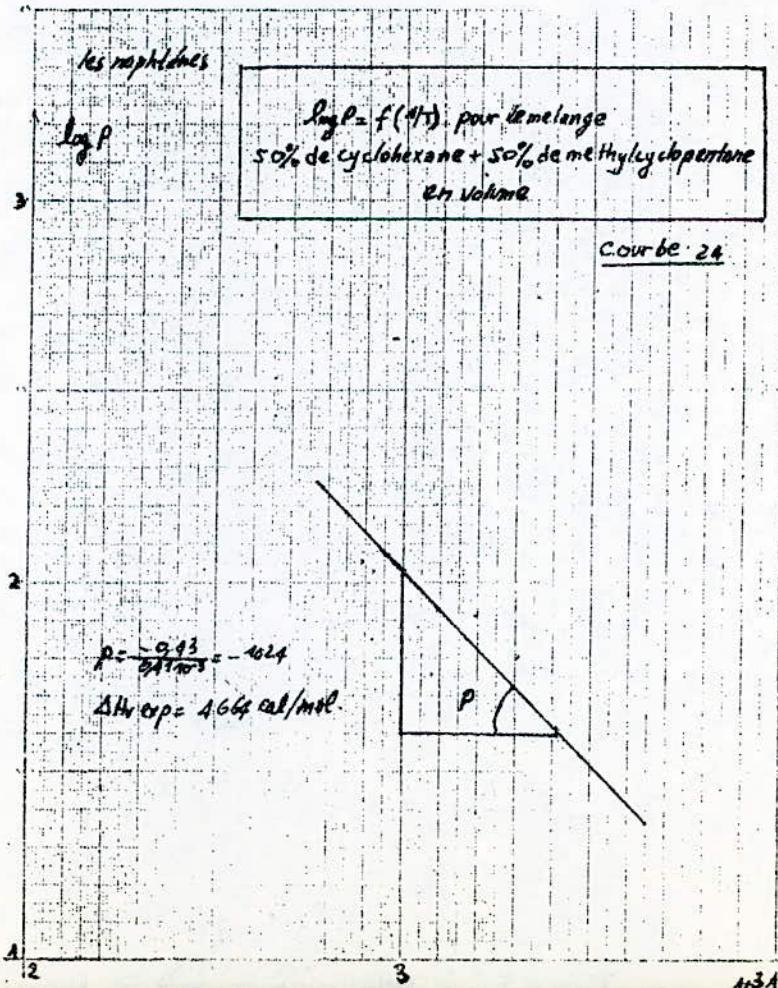
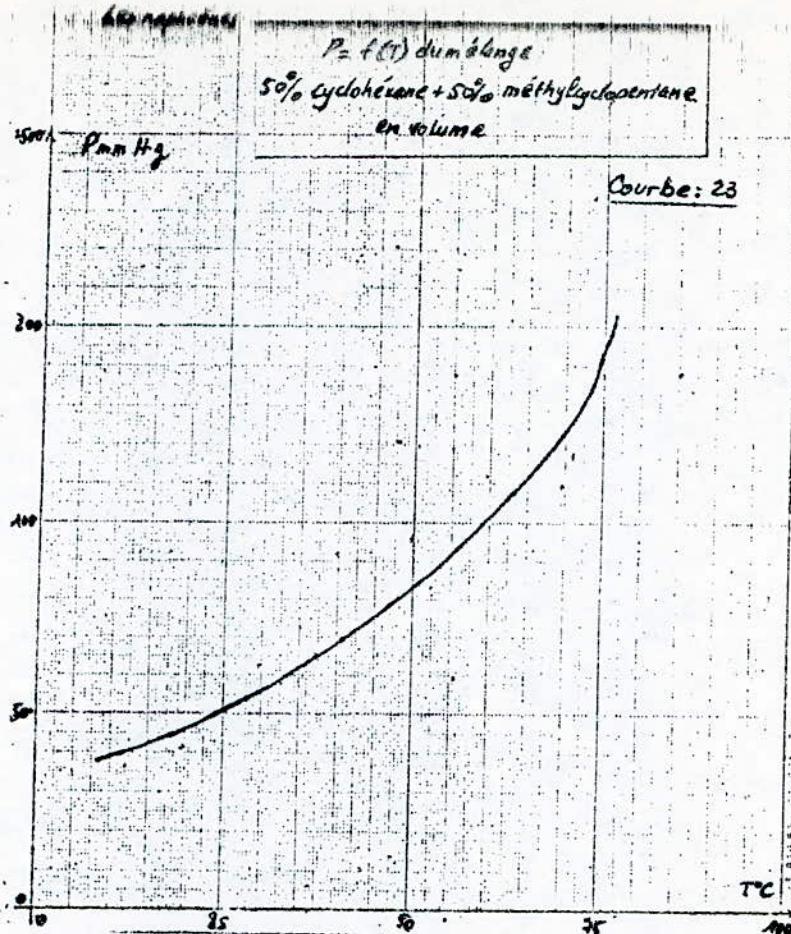
CALCUL DE LA CHALEUR DE VAPORISATION

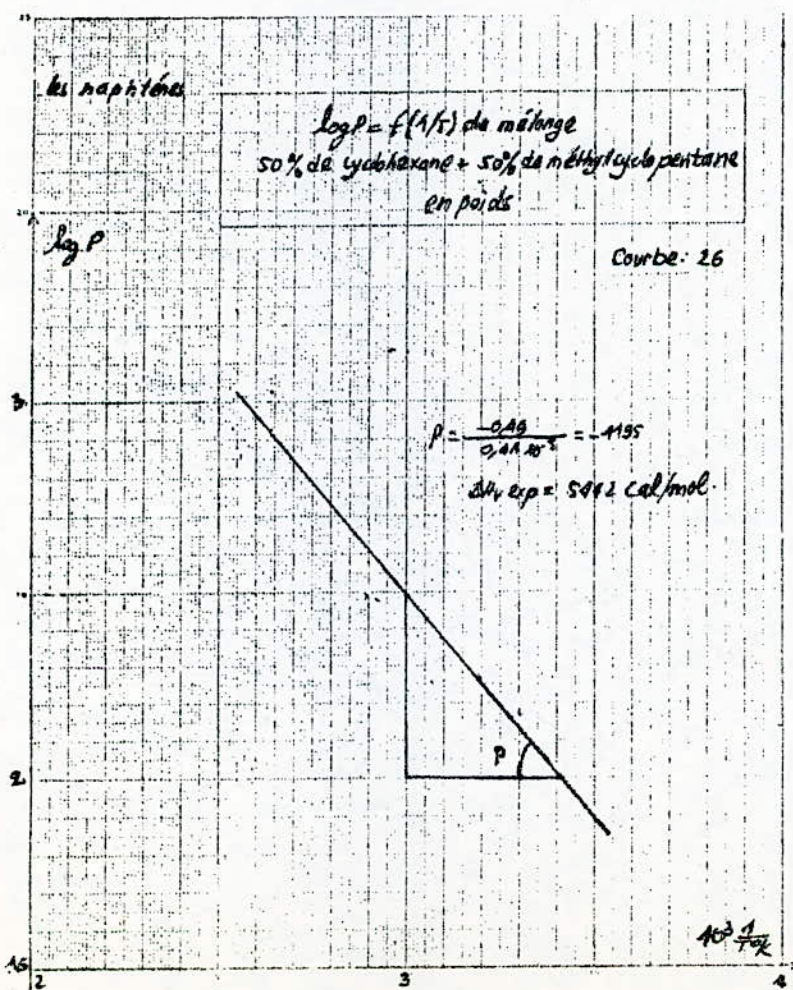
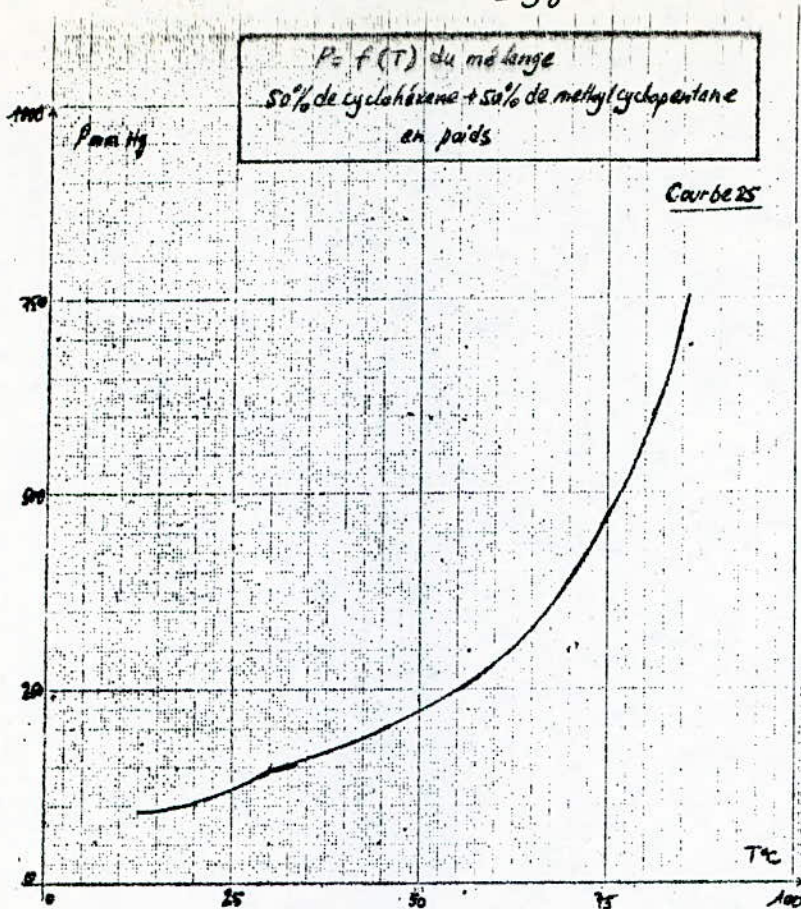
$$P = \frac{-0,43}{0,42 \cdot 10^{-3}} = -1024$$

$$\Delta H_v \text{ exp} = 4664 \text{ cal/mol}$$

$$\Delta H_v \text{ th} = \frac{7204 + 7031}{2} = 7117,5 \text{ cal/mol}$$

écart : 35%





LES NAPHTENES

TABLEAU-14-

Variation de P fonction de T pour le mélange:
50% de méthylcyclopentane + 50% cyclohexane
en moles

| t°C | recette Pan Hg | variance Pan Hg | moyenne Pan Hg | log P | $10^3 \frac{1}{T(K)}$ |
|-----|-------------------|--------------------|-------------------|-------|-----------------------|
| 20 | 98 | 102 | 100. | 2,00 | 3,11 |
| 30 | 118 | 132 | 130 | 2,11 | 3,37 |
| 40 | 132 | 156 | 144 | 2,26 | 3,19 |
| 50 | 234 | 240 | 237 | 2,37 | 3,09 |
| 60 | 296 | 294 | 295 | 2,46 | 3,00 |
| 70 | 320 | 330 | 325 | 2,51 | 2,97 |
| 72 | 330 | 340 | 335 | 2,52 | 2,89 |

CALCUL DE LA CHALEUR DE VAPORISATION:

$$P = \frac{-0,47}{0,40 \cdot 10^{-3}} = -1175$$

$$\Delta H_{vap} \text{ exp} = 5351 \text{ cal/mol}$$

$$\Delta H_{vap} \text{ th} = 7117,5 \text{ cal/mol}$$

écart : 25%

LES ANOMANTHIQUES

TABLEAU-15-

Variation de P fonction de T pour le Benzene

| t°C | recette Pan Hg | variance Pan Hg | moyenne Pan Hg | log P | $10^3 \frac{1}{T(K)}$ |
|-----|-------------------|--------------------|-------------------|-------|-----------------------|
| 20 | 77 | 83 | 80 | 1,90 | 3,41 |
| 30 | 104 | 110 | 107 | 2,05 | 3,30 |
| 40 | 144 | 202 | 173 | 2,24 | 3,19 |
| 50 | 210 | 314 | 262 | 2,41 | 3,09 |
| 60 | 360 | 380 | 370 | 2,57 | 3,00 |
| 70 | 570 | 574 | 572 | 2,76 | 2,92 |
| 80 | 748 | 560 | 754 | 2,87 | 2,83 |

CALCUL DE LA CHALEUR DE VAPORISATION:

$$P = \frac{-0,57}{0,325 \cdot 10^{-3}} = -1754$$

$$\Delta H_{vap} \text{ exp} = 7988 \text{ cal/mol}$$

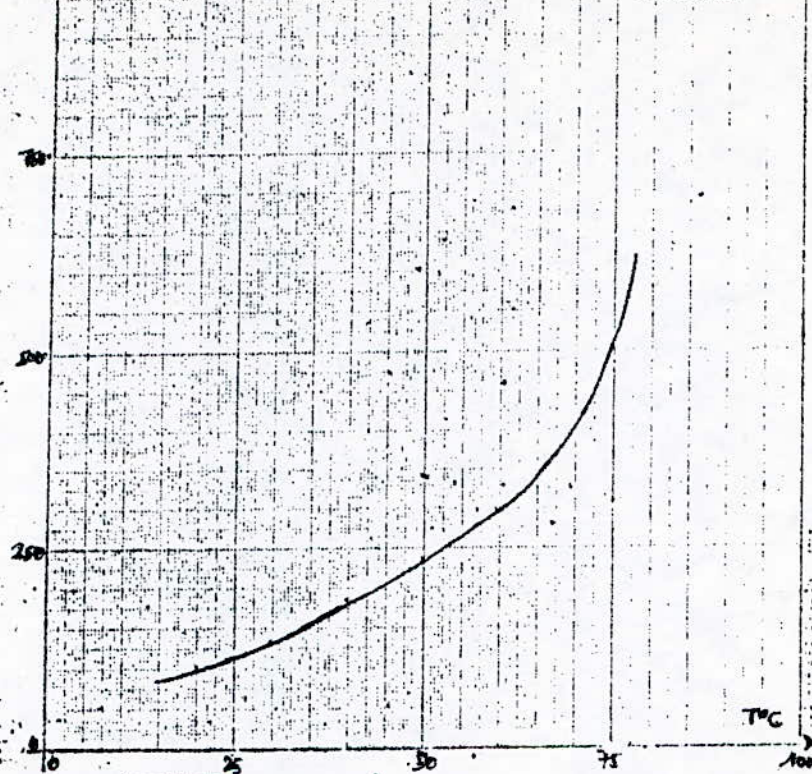
$$\Delta H_{vap} \text{ th} = 7853 \text{ cal/mol}$$

écart : 10%

$P = f(T)$ du mélange en moles
50% cyclohexane + 50% de méthylcyclopentane
en moles

1000 Paatm

Courbe 27



les naphthalènes.

$\log P = f(1/T)$ de mélange
50% cyclohexane + 50% de méthylcyclopentane
en moles

3,51 $\log P$

Courbe 28

$$P = \frac{-0,41}{0,4410} + 3,51$$

$$\Delta H_V \text{ exp} = 5351 \text{ cal/mol}$$

2

2

2

$10^3 \frac{1}{T} K^{-1}$

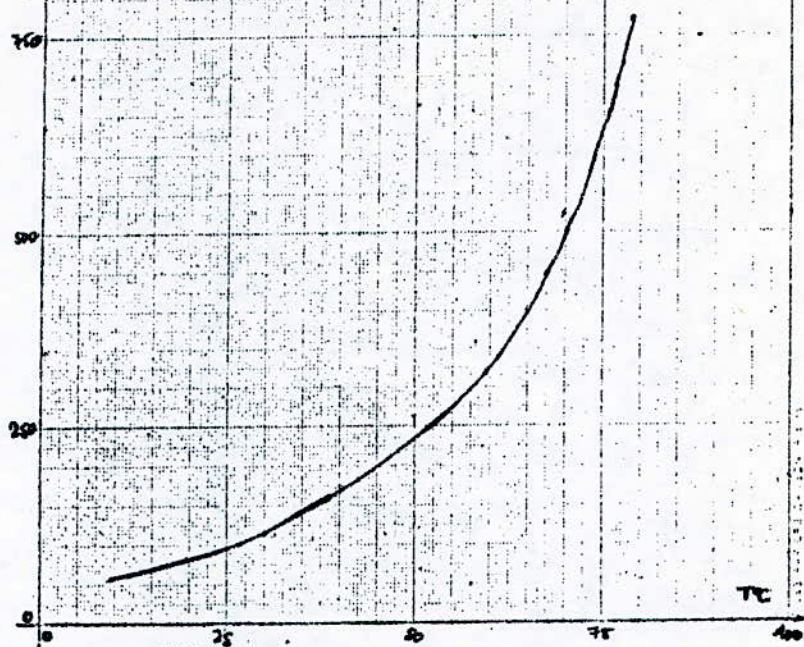
3

4

$\log P = f(1/T)$ du benzène

1 mol

Courbe 29

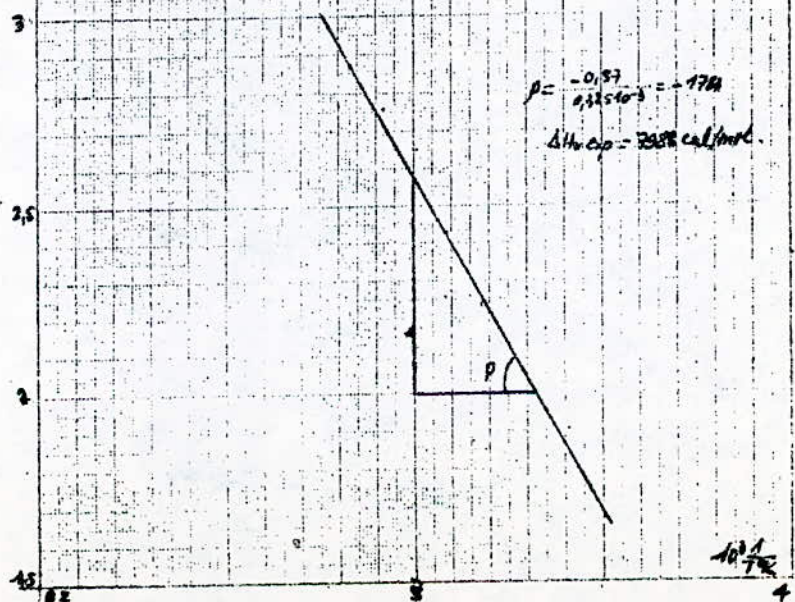


les aromatiques

$\log P = f(1/T)$ du Benzene

1 mol

Courbe 30



Variation de P fonction de T pour Le Toluène

| t_c | 1 ^{er} essai mm Hg | 2 nd essai mm Hg | moyenne mm Hg | $\log P$ | $10^3 \frac{1}{T} \text{ K}^{-1}$ |
|-------|--------------------------------|--------------------------------|------------------|----------|-----------------------------------|
| 20 | 30 | 30 | 30 | 1,18 | 3,41 |
| 30 | 50 | 48 | 49 | 1,69 | 3,30 |
| 40 | 88 | 86 | 87 | 1,94 | 3,19 |
| 50 | 104 | 100 | 102 | 2,01 | 3,09 |
| 60 | 154 | 162 | 158 | 2,20 | 3,00 |
| 70 | 204 | 212 | 208 | 2,32 | 2,92 |
| 80 | 292 | 296 | 294 | 2,47 | 2,83 |
| 90 | 382 | 410 | 396 | 2,60 | 2,75 |
| 100 | 496 | 620 | 558 | 2,75 | 2,68 |
| 110 | 745 | 759 | 752 | 2,87 | 2,61 |

CALCUL DE LA CHALEUR DE VAPORISATION:

$$P = \frac{-0,52}{0,3 \cdot 10^{-3}} = -1734$$

$$\Delta H_v \text{ exp} = 7897 \text{ cal/mol}$$

$$\Delta H_v \text{ th} = 8000 \text{ cal/mol}$$

ecart: 11%

Variation de P fonction de T pour Le Xylène

| t_c | 1 ^{er} essai mm Hg | 2 nd essai mm Hg | moyenne mm Hg | $\log P$ | $10^3 \frac{1}{T} \text{ K}^{-1}$ |
|-------|--------------------------------|--------------------------------|------------------|----------|-----------------------------------|
| 20 | 9 | 9 | 9 | 0,95 | 3,41 |
| 30 | 11 | 13 | 12 | 1,07 | 3,30 |
| 40 | 18 | 22 | 20 | 1,40 | 3,19 |
| 50 | 31 | 37 | 34 | 1,53 | 3,09 |
| 60 | 50 | 54 | 52 | 1,71 | 3,00 |
| 70 | 88 | 92 | 90 | 1,95 | 2,92 |
| 80 | 125 | 135 | 130 | 2,11 | 2,83 |
| 90 | 199 | 201 | 200 | 2,30 | 2,75 |
| 100 | 265 | 275 | 270 | 2,43 | 2,68 |
| 110 | 334 | 346 | 340 | 2,53 | 2,61 |
| 120 | 509 | 521 | 520 | 2,71 | 2,54 |
| 130 | 668 | 672 | 670 | 2,82 | 2,48 |
| 140 | 750 | 756 | 753 | 2,88 | 2,42 |

CALCUL DE LA CHALEUR DE VAPORISATION:

$$P = \frac{-0,665}{0,38 \cdot 10^{-3}} = -2015$$

$$\Delta H_v \text{ exp} = 9176 \text{ cal/mol}$$

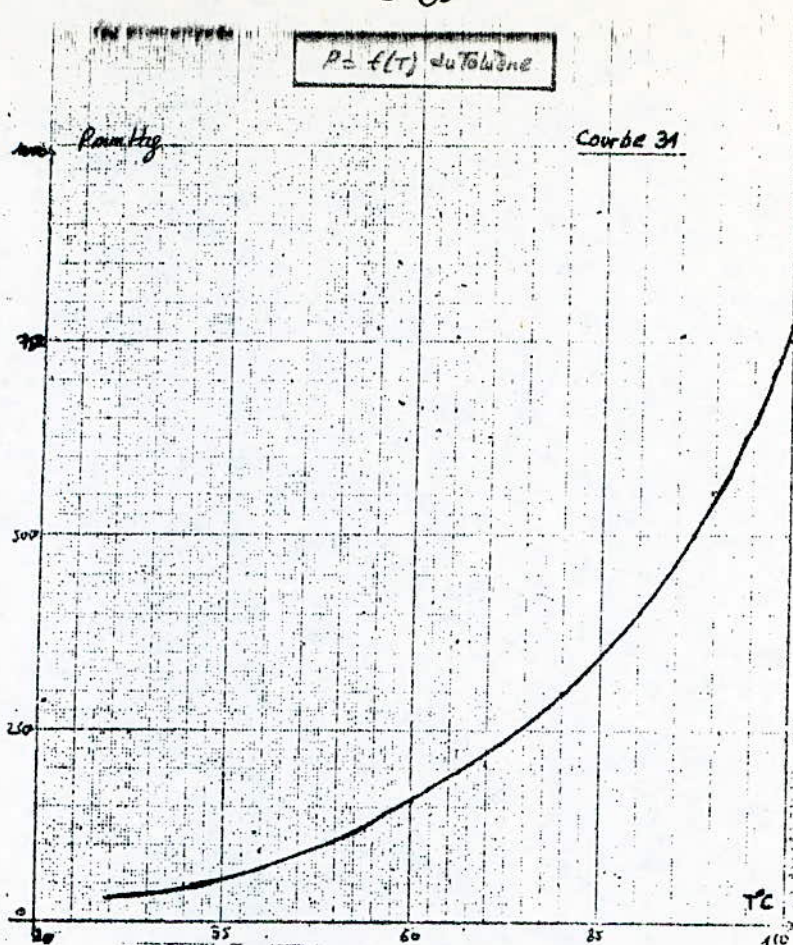
$$\Delta H_v \text{ th} = 8709 \text{ cal/mol}$$

ecart: 5%

$P = f(T)$ du Toluène

Résumé

Courbe 31



Isocapniques

$\log P = f(1/T)$ du Toluène

$\log P$

Courbe 32

$$P = \frac{-0.52}{99.40} = -73.89$$

$$\Delta \log P = 78.93 \text{ cal/mol}$$

2

1

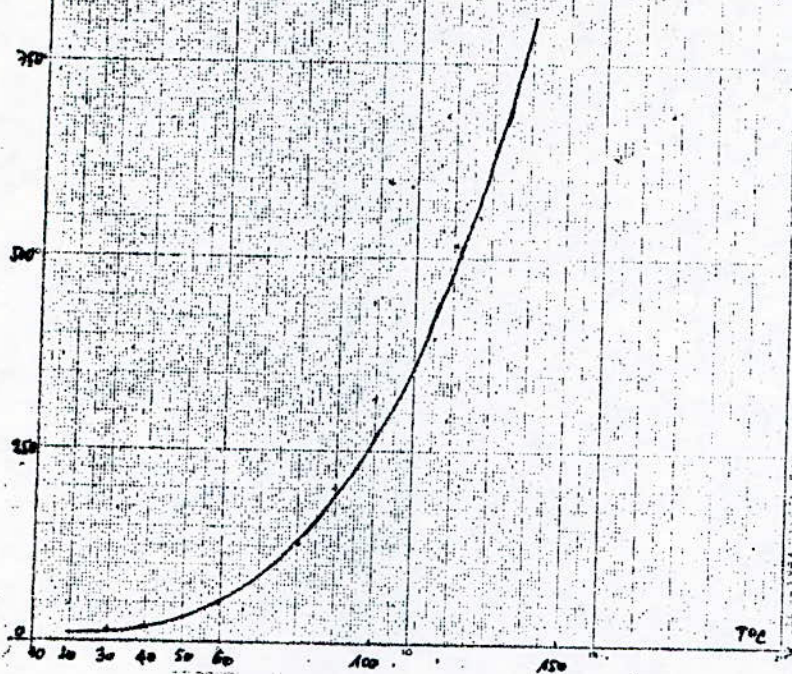
$10^3 \frac{1}{\text{TK}}$

Les aromatiques

$P = f(T)$ du xylène

10000 Pa = 1 kg

Courbe 33



log

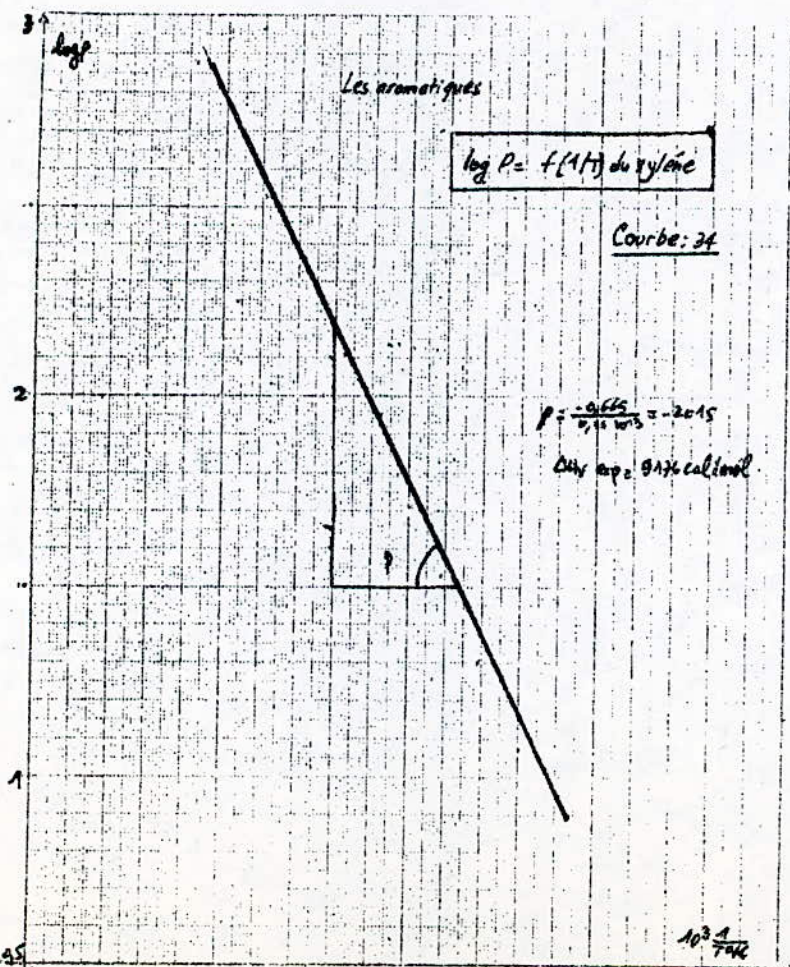
Les aromatiques

$\log P = f(1/T)$ du xylène

Courbe: 34

$$P = \frac{0.665}{0.15 \cdot 10^3} = -2015$$

Diff exp. 9% calculé



LES AROMATIQUES

TABLEAU-19-

Variation de T fonction de P pour le mélange:
50% de Benzène + 50% de Xylène en volume

| température | 1 ^{er} essai P mm Hg | 2 nd essai P mm Hg | moyenne P mm Hg | log P | $10^3 \frac{1}{T} \text{ K}^{-1}$ |
|-------------|----------------------------------|----------------------------------|--------------------|-------|-----------------------------------|
| 20 | 60 | 64 | 62 | 1,79 | 3,41 |
| 30 | 104 | 110 | 107 | 2,02 | 3,30 |
| 40 | 158 | 160 | 159 | 2,20 | 3,19 |
| 50 | 180 | 184 | 182 | 2,26 | 3,09 |
| 60 | 220 | 230 | 225 | 2,35 | 3,00 |
| 70 | 240 | 240 | 240 | 2,39 | 2,92 |
| 80 | 300 | 260 | 280 | 2,44 | 2,75 |

CALCUL DE LA CHALEUR DE VAPORISATION:

$$P = \frac{-0,37}{0,28 \cdot 10^{-3}} = -1321$$

$$\Delta H_v \text{ exp} = 60,15 \text{ cal/mol}^\circ$$

$$\Delta H_v \text{ the} = \frac{7455 + 8109}{2} = 83,28,5 \text{ cal/mol}^\circ$$

écart : 23%

LES AROMATIQUES

TABLEAU-18-

Variation de P fonction de T pour le mélange
50% de Benzène + 50% de Tolène en volume

| température | 1 ^{er} essai P mm Hg | 2 nd essai P mm Hg | moyenne P mm Hg | log P | $10^3 \frac{1}{T} \text{ K}^{-1}$ |
|-------------|----------------------------------|----------------------------------|--------------------|-------|-----------------------------------|
| 20 | 60 | 62 | 61 | 1,78 | 3,41 |
| 30 | 96 | 80 | 78 | 1,89 | 3,30 |
| 40 | 110 | 120 | 115 | 2,06 | 3,19 |
| 50 | 160 | 180 | 170 | 2,23 | 3,09 |
| 60 | 240 | 228 | 234 | 2,36 | 3,00 |
| 70 | 420 | 444 | 432 | 2,63 | 2,92 |
| 80 | 478 | 480 | 479 | 2,68 | 2,83 |

CALCUL DE LA CHALEUR DE VAPORISATION:

$$P = \frac{-0,38}{0,24 \cdot 10^{-3}} = -1583$$

$$\Delta H_v \text{ exp} = 7208 \text{ cal/mol}^\circ$$

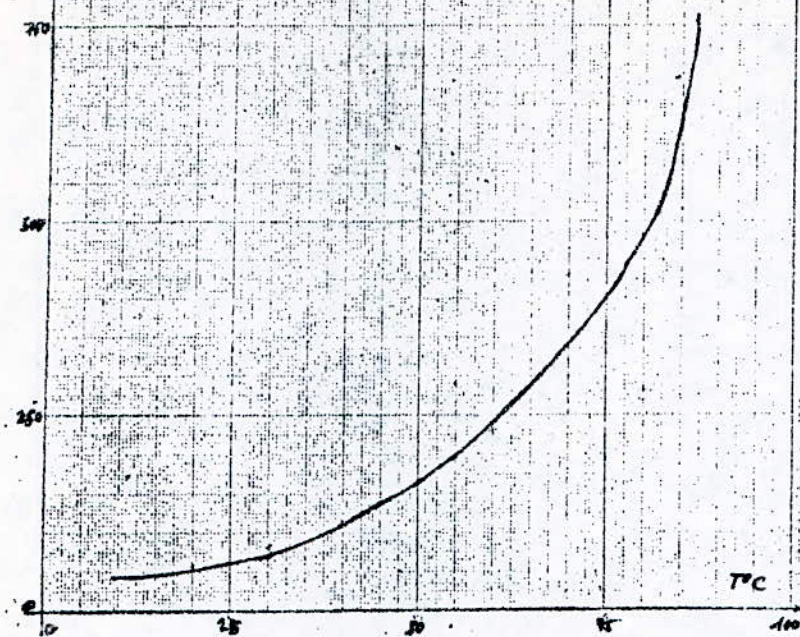
$$\Delta H_v \text{ the} = \frac{7333 + 8000}{2} = 7676,5 \text{ cal/mol}^\circ$$

écart : 7%

100% benzene

50% benzene + 50% toluene
en volume

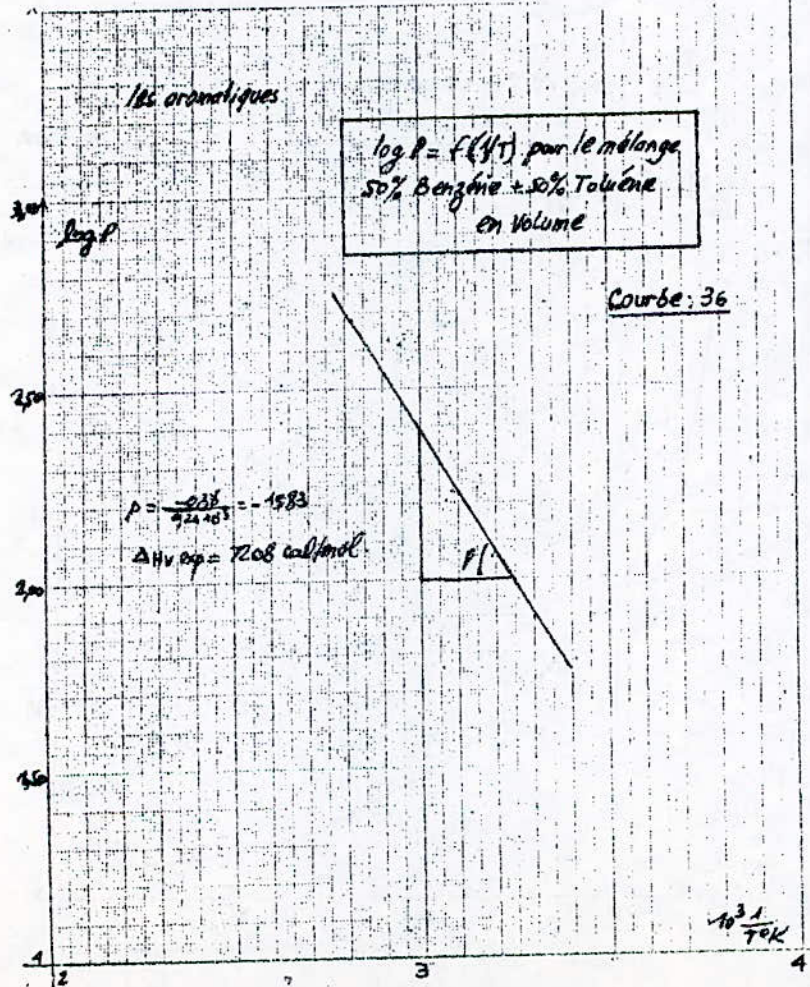
Courbe : 35



100% aromatiques

$\log P = f(YT)$ pour le mélange
50% Benzène + 50% Toluène
en volume

Courbe : 36

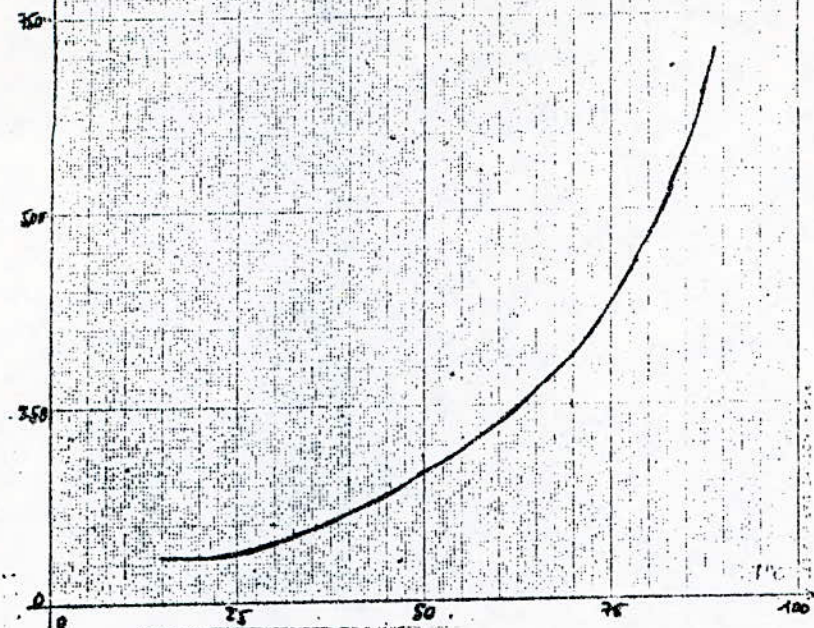


les aromatiques

$P = f(t)$ pour le mélange
50% benzène + 50% de xylène
en volume

10501. Prin by

Courbe 37



les aromatiques

$\Delta \log P = f(t, T)$ du mélange
50% Benzène + 50% xylène
en volume

3. LogP

Courbe 36

$$\rho = \frac{-0.37}{928 \cdot 10^{-3}} = -1321$$

$$\Delta H_{\text{exp}} = 6015 \text{ cal/mol}$$

2.

P_1

$$10^3 \frac{1}{T \cdot R}$$

LES AROMATIQUES

TABLEAU - 20 -

Variation de P fonction de T pour le mélange:
50% de Toluène + 50% de Xylène en volume

| $t^{\circ}C$ | P _{essai} mm Hg | P _{essai} mm Hg | moyenne mm Hg | log P | $10^3 \frac{1}{T^{\circ}K}$ |
|--------------|-----------------------------|-----------------------------|------------------|-------|-----------------------------|
| 20 | 28 | 36 | 32 | 1,50 | 3,41 |
| 30 | 36 | 44 | 40 | 1,60 | 3,30 |
| 40 | 48 | 56 | 52 | 1,71 | 3,19 |
| 50 | 56 | 64 | 60 | 1,77 | 3,09 |
| 60 | 80 | 90 | 85 | 1,92 | 3,00 |
| 70 | 116 | 122 | 119 | 2,07 | 2,92 |
| 80 | 160 | 168 | 164 | 2,21 | 2,83 |
| 90 | 188 | 194 | 191 | 2,28 | 2,75 |
| 100 | 220 | 130 | 225 | 2,35 | 2,66 |
| 110 | 236 | 240 | 238 | 2,37 | 2,61 |

CALCUL DE LA CHALEUR DE VAPORISATION

$$P = \frac{-0,53}{0,39 \cdot 10^{-3}} = -1359$$

$$\Delta H_v \text{ exp} = 6191 \text{ cal/mol}$$

$$\Delta H_v \text{ th } = \frac{7359 + 8709}{2} = 8034 \text{ cal/mol}$$

Ecart : 23%

LES AROMATIQUES

TABLEAU - 21 -

Variation de P fonction de T pour le mélange:
50% Benzene + 50% de Toluène en Poids

| $t^{\circ}C$ | P _{essai} mm Hg | P _{essai} mm Hg | moyenne mm Hg | log P | $10^3 \frac{1}{T^{\circ}K}$ |
|--------------|-----------------------------|-----------------------------|------------------|-------|-----------------------------|
| 20 | 60 | 64 | 62 | 1,79 | 3,41 |
| 30 | 70 | 80 | 78 | 1,89 | 3,30 |
| 40 | 110 | 112 | 111 | 2,04 | 3,19 |
| 50 | 160 | 154 | 157 | 2,19 | 3,09 |
| 60 | 244 | 240 | 242 | 2,38 | 3,00 |
| 70 | 328 | 326 | 327 | 2,54 | 2,92 |
| 80 | 438 | 424 | 431 | 2,63 | 2,75 |

CALCUL DE LA CHALEUR DE VAPORISATION:

$$P = \frac{-0,63}{0,42 \cdot 10^{-3}} = -1570$$

$$\Delta H_v \text{ exp} = 6831 \text{ cal/mol}$$

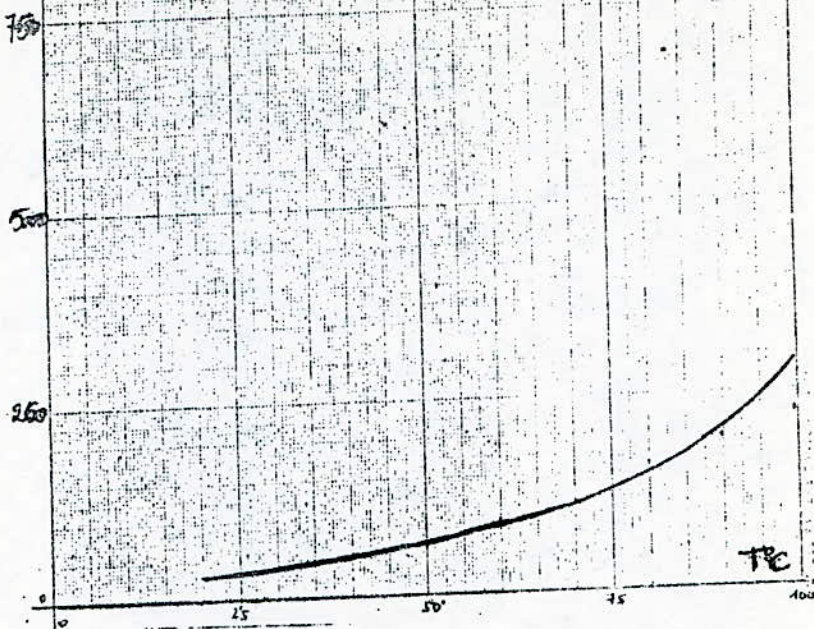
$$\Delta H_v \text{ th } = 7676,5 \text{ cal/mol}$$

Ecart : 11,5%

10000 Paatm

$P = f(T)$ du mélange
50% Toluène + 50% xylène
en volume

Courbe 39



les aromatiques

$\log P = f(1/T)$ du mélange
60% de toluène + 40% de xylène
en volume

Courbe 40

log P

22

$$P = \frac{-0.53}{0.39 \times 10^3} = -1353$$

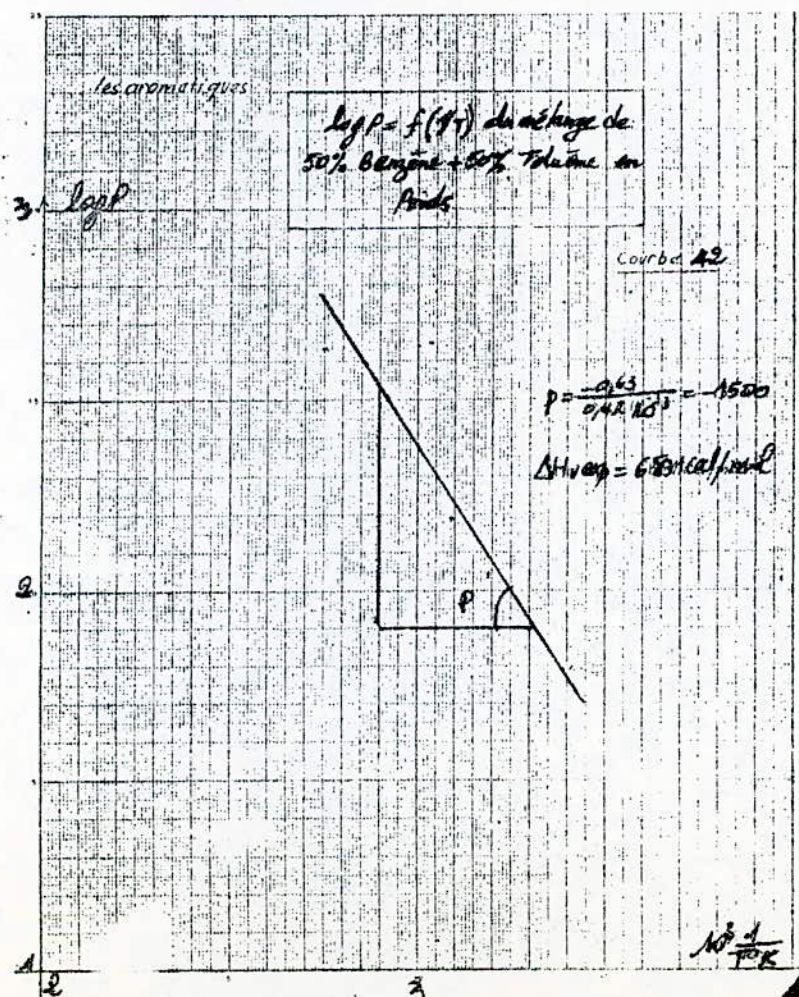
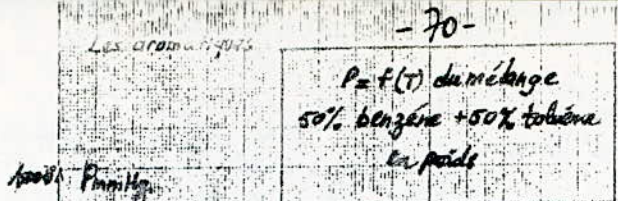
$$\Delta H_{exp} = 649.1 \text{ cal/mol}$$

1
2

3

4

$10^3 \frac{1}{T/K}$



Variation de P fonction de T pour le mélange:
50% de Benzène + 50% de Toluene en molles.

| t°C | 1 ^{re} essai Pmm Hg | 2 ^{re} essai Pmm Hg | moyenne Pmm Hg | log P | $10^3 \frac{A}{T^2 K^2}$ |
|-----|---------------------------------|---------------------------------|-------------------|-------|--------------------------|
| 20 | 64 | 68 | 66 | 1,81 | 3,44 |
| 30 | 84 | 92 | 88 | 1,94 | 3,47 |
| 40 | 110 | 120 | 115 | 2,06 | 3,49 |
| 50 | 178 | 184 | 181 | 2,25 | 3,59 |
| 60 | 230 | 240 | 235 | 2,37 | 3,60 |
| 70 | 260 | 270 | 265 | 2,42 | 2,92 |
| 80 | 320 | 288 | 304 | 2,48 | 2,75 |

CALCUL DE LA CHALEUR DE VAPORISATION:

$$P = \frac{-0,33}{0,25 \cdot 10^{-3}} = -1400$$

$$\Delta H_v \text{ exp} = 6376 \text{ cal/mol}$$

$$\Delta H_v \text{ th } = 7676,5 \text{ cal/mol}$$

écart : 17%

Variation de P fonction de T du mélange:

$\frac{1}{3}$ Benzène + $\frac{1}{3}$ de Toluene + $\frac{1}{3}$ de Xylène

| t°C | 1 ^{re} essai Pmm Hg | 2 ^{re} essai Pmm Hg | moyenne Pmm Hg | log P | $10^3 \frac{A}{T^2 K^2}$ |
|-----|---------------------------------|---------------------------------|-------------------|-------|--------------------------|
| 20 | 40 | 44 | 42 | 1,62 | 3,44 |
| 30 | 62 | 64 | 63 | 1,79 | 3,50 |
| 40 | 80 | 82 | 81 | 1,90 | 3,49 |
| 50 | 96 | 96 | 96 | 1,98 | 3,03 |
| 60 | 104 | 106 | 105 | 2,02 | 3,00 |
| 70 | 130 | 144 | 137 | 2,13 | 2,97 |
| 80 | 142 | 160 | 151 | 2,17 | 2,83 |

CALCUL DE LA CHALEUR DE VAPORISATION:

$$P = \frac{-0,67}{0,33 \cdot 10^{-3}} = -1922$$

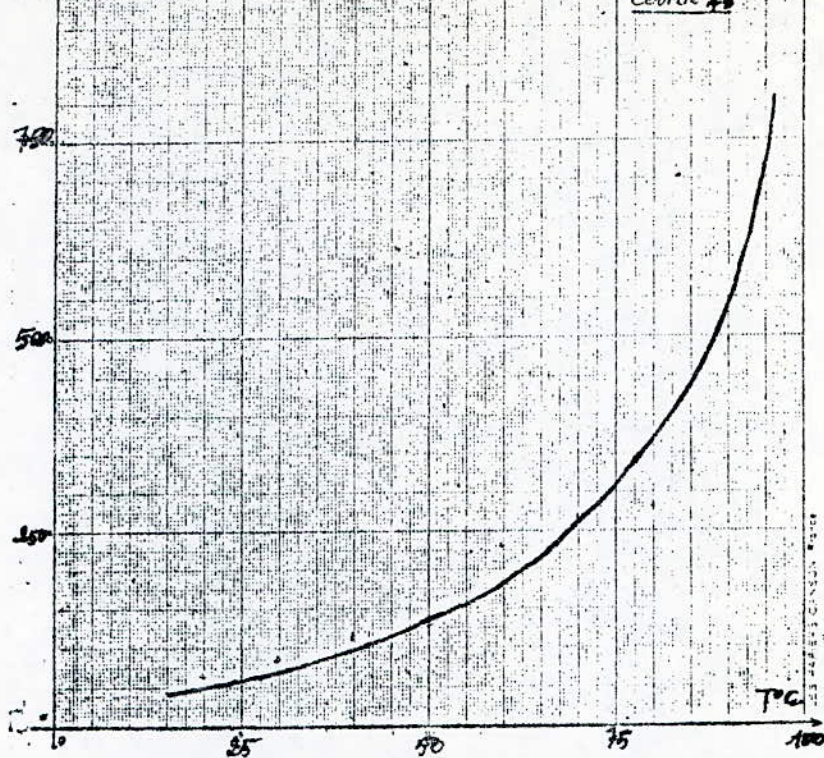
$$\Delta H_v \text{ exp} = 5110 \text{ cal/mol}$$

$$\Delta H_v \text{ th } = \frac{7353 + 8000 + 6703}{3} = 8070 \text{ cal/mol}$$

écart : 35%

$P = f(T)$ du mélange
50% Benzene + 50% Toluène
en moles

1000 - $P_{mm} \text{ kg}$

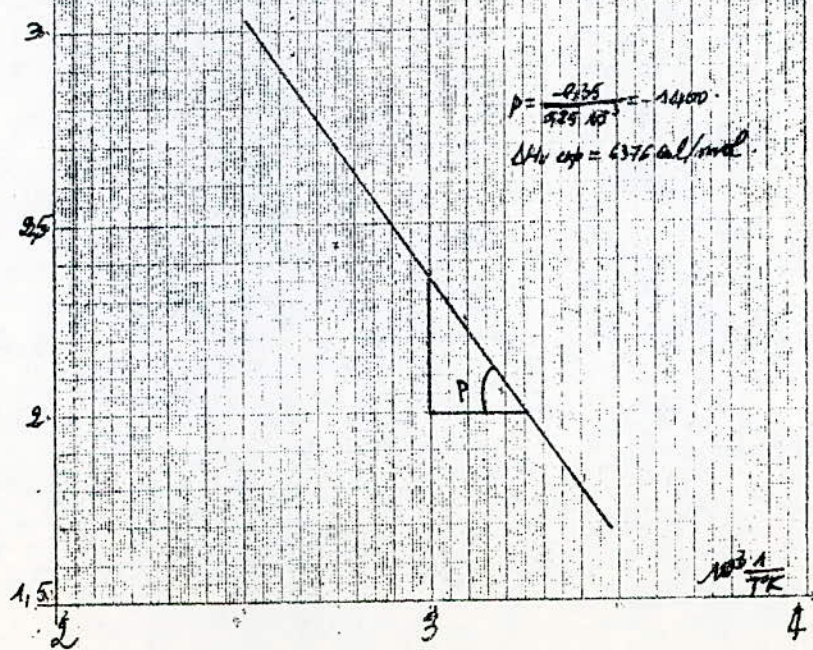


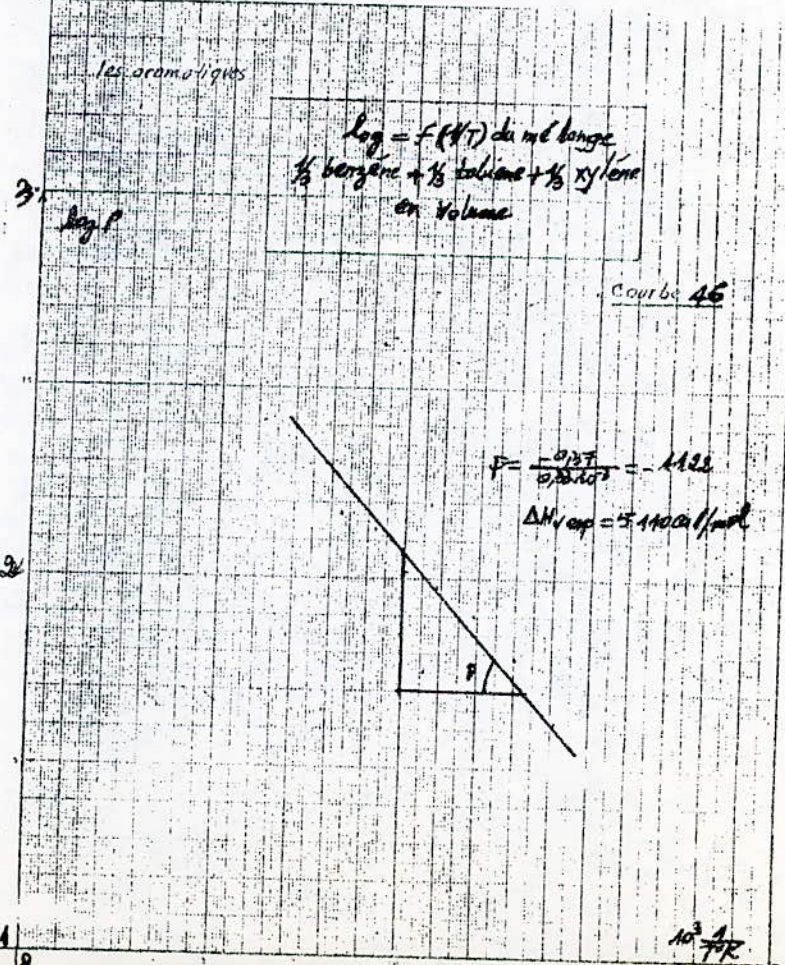
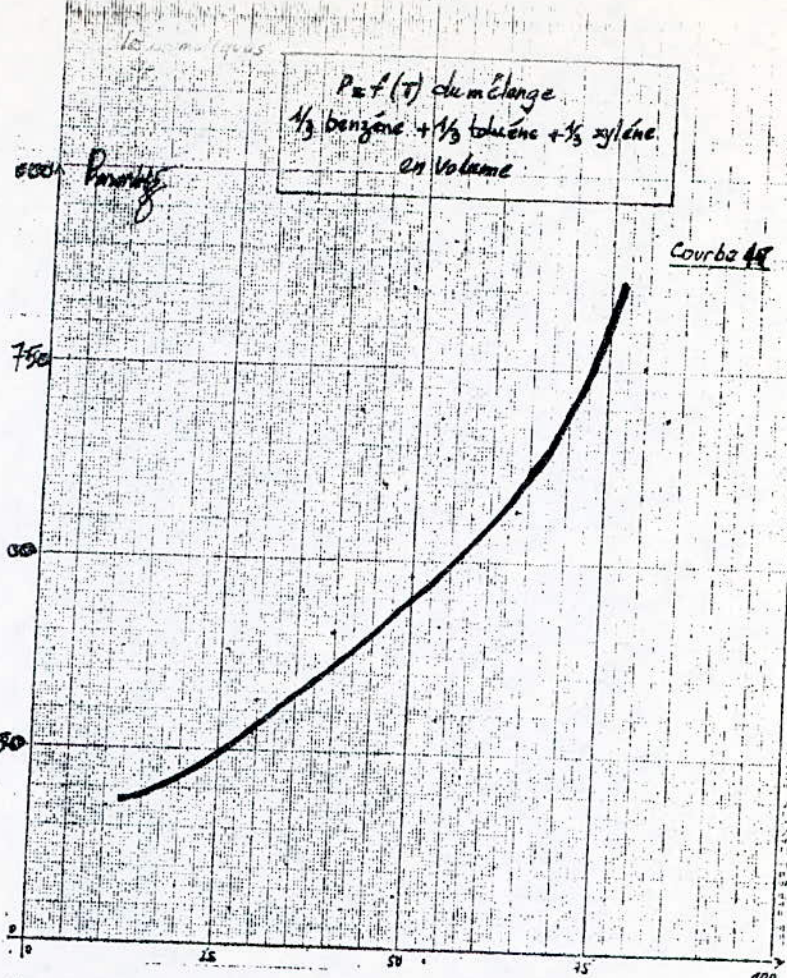
les aromatiques

$\log P = f(1/T)$ du mélange
50% Benzene + 50% tolue
en moles

$\log P$

Courbe 44





MELANGE SIMULANT UNE FRACTION PETROLIERE

TABLEAU-24-

Variation de P fonction de T pour le mélange:
 $\frac{1}{3}$ de n-hexane + $\frac{1}{3}$ de cyclohexane + $\frac{1}{3}$ de Benzine
en volume

| t°C | 1 ^{er} essai | 2 ^{er} essai | moyenne | log P | $10^3 \frac{1}{T} \text{K}^{-1}$ |
|-----|-----------------------|-----------------------|---------|-------|----------------------------------|
| | mm Hg | mm Hg | mm Hg | | |
| 20 | 90 | 100 | 95 | 1,94 | 3,41 |
| 30 | 140 | 146 | 143 | 2,15 | 3,30 |
| 40 | 172 | 174 | 173 | 2,13 | 3,19 |
| 50 | 220 | 230 | 225 | 2,15 | 3,09 |
| 60 | 260 | 272 | 266 | 2,42 | 3,00 |
| 69 | 296 | 300 | 298 | 2,47 | 2,91 |

CALCUL DE LA CHALEUR DE VAPORISATION:

$$P = \frac{-0,44}{0,38 \cdot 10^{-3}} = -1158$$

$$\Delta H_v \text{ exp} = 5275 \text{ cal/mol}$$

$$\Delta H_v H_1 = \frac{6996 + 7353 + 7204}{3} = 7151 \text{ cal/mol}$$

écart : 26%

MELANGE SIMULANT UNE FRACTION PETROLIERE

TABLEAU-25-

Variation de P fonction de T du mélange:
 $\frac{1}{3}$ de n-hexane + $\frac{1}{3}$ de cyclohexane + $\frac{1}{3}$ de Benzine
en poids

| t°C | 1 ^{er} essai | 2 ^{er} essai | moyenne | log P | $10^3 \frac{1}{T} \text{K}^{-1}$ |
|-----|-----------------------|-----------------------|---------|-------|----------------------------------|
| | mm Hg | mm Hg | mm Hg | | |
| 20 | 100 | 98 | 99 | 1,99 | 3,41 |
| 30 | 150 | 152 | 151 | 2,17 | 3,30 |
| 40 | 250 | 254 | 252 | 2,40 | 3,19 |
| 50 | 350 | 354 | 352 | 2,54 | 3,09 |
| 60 | 480 | 478 | 479 | 2,58 | 3,00 |
| 69 | 660 | 656 | 658 | 2,81 | 2,91 |

CALCUL DE LA CHALEUR DE VAPORISATION:

$$P = \frac{-0,57}{0,34 \cdot 10^{-3}} = -1677$$

$$\Delta H_v \text{ exp} = 7632,5 \text{ cal/mol}$$

$$\Delta H_v H_1 = 7151 \text{ cal/mol}$$

écart : 6%

Mélange simulé à fraction élévatrice

Volume

$P = f(T)$ du mélange

$\frac{1}{3}$ de n-hexane + $\frac{1}{3}$ de Benzene + $\frac{1}{3}$ de cyclohexane
en Volume

Courbe : 47



Mélange simulant une fraction élévatrice

log P

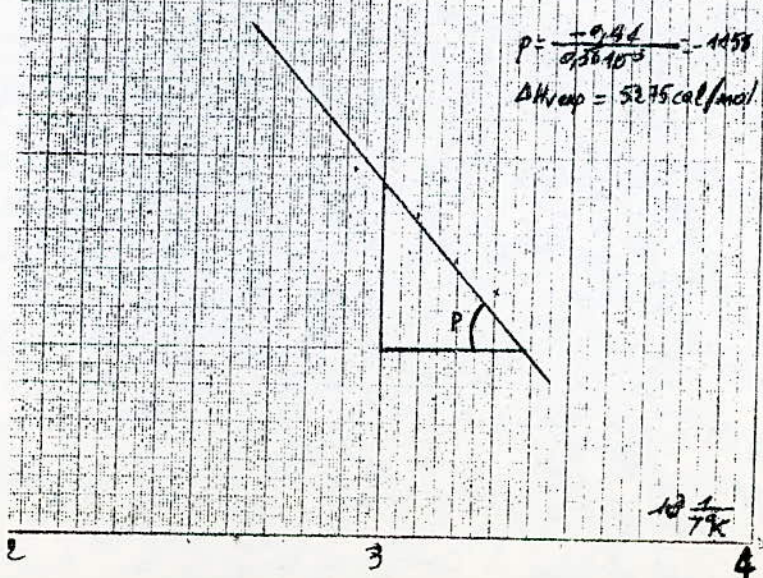
$\log P = f(1/T)$ du mélange

$\frac{1}{3}$ de n-hexane + $\frac{1}{3}$ de cyclohexane + $\frac{1}{3}$ de benzene
en volume

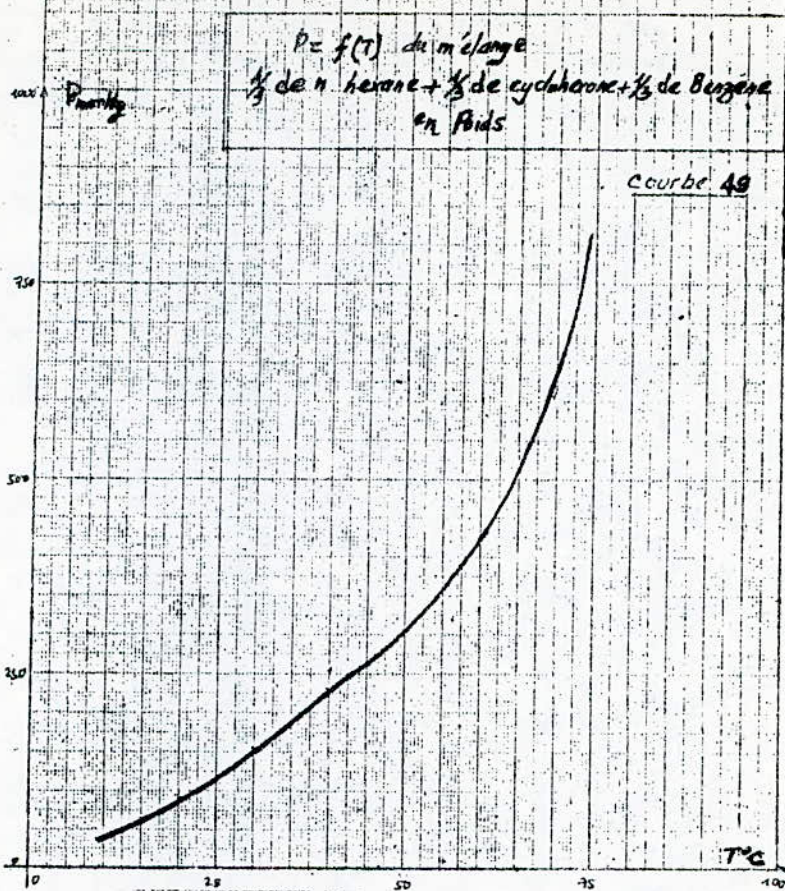
Courbe : 48

$$P = \frac{-9.84}{0.38 \cdot 10^3} - 10.58$$

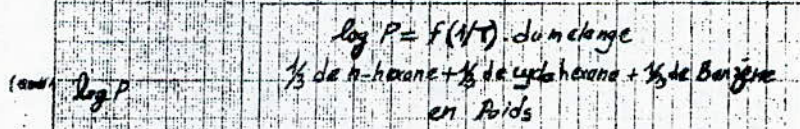
$$\Delta H_{exp} = 52.75 \text{ cal/mol}$$



Mélange suivant une fraction pétrolière



Mélange suivant une fraction pétrolière



$$P = \frac{-0,57}{9,24 \cdot 10^3} = -167P$$

$$\Delta H_{exp} = 7638,5 \text{ cal/mol}$$

$$10^3 \frac{1}{TK}$$

MÉLANGE SIMULANT UNE FRACTION PÉTROLIÈRE

TABLEAU-26-

Variation de P fonction de T pour le mélange:

$\frac{1}{3}$ de hexane + $\frac{1}{3}$ de cyclohexane + $\frac{1}{3}$ de Benzène

en moles

| $t^{\circ}C$ | pression mmHg | pression mmHg | pression mmHg | $\log P$ | $\log \frac{P}{T}$ |
|--------------|------------------|------------------|------------------|----------|--------------------|
| 20 | 420 | 418 | 419 | 2,07 | 2,44 |
| 30 | 240 | 242 | 241 | 2,34 | 2,31 |
| 40 | 142 | 142 | 141 | 2,43 | 2,45 |
| 50 | 358 | 354 | 356 | 2,55 | 2,59 |
| 60 | 486 | 500 | 498 | 2,69 | 2,62 |
| 70 | 640 | 642 | 642 | 2,80 | 2,82 |

CALCUL DE LA CHALEUR DE VAPORISATION:

$$P = \frac{-0,69}{0,57 \cdot 10^{-3}} = -1324$$

$$\Delta H_v \text{ exp} = 6030 \text{ cal/mol}$$

$$\Delta H_v \text{ th } = 7457 \text{ cal/mol}$$

écart : 15 %

Fraction pétrolière

TABLEAU-27-

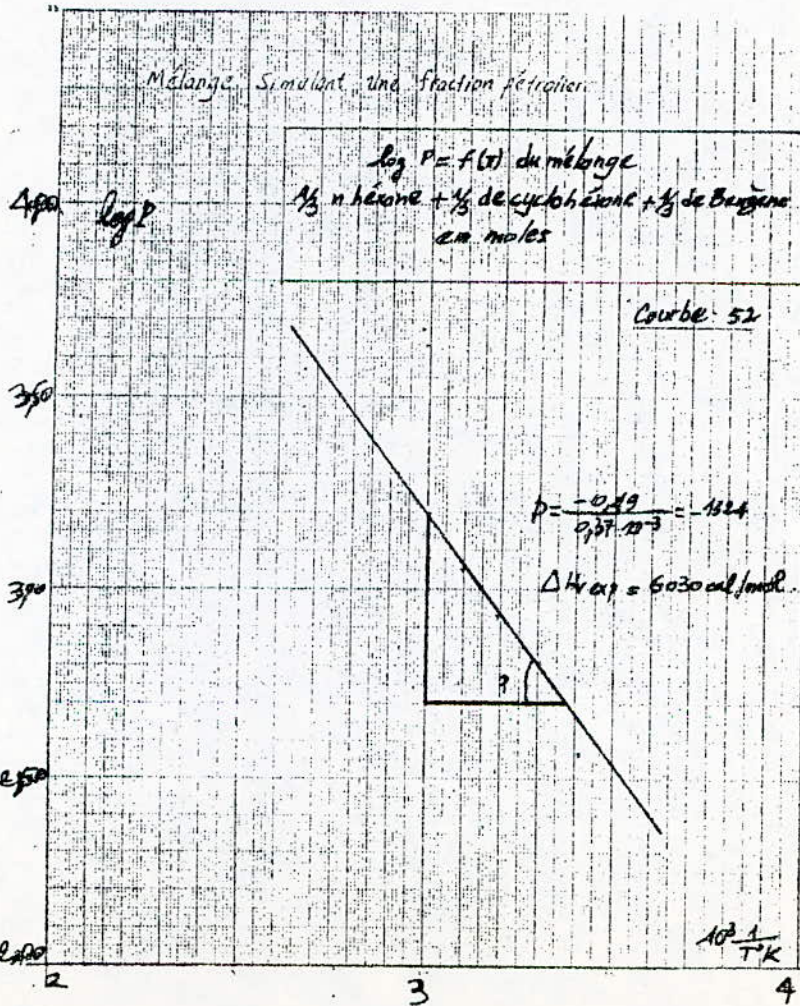
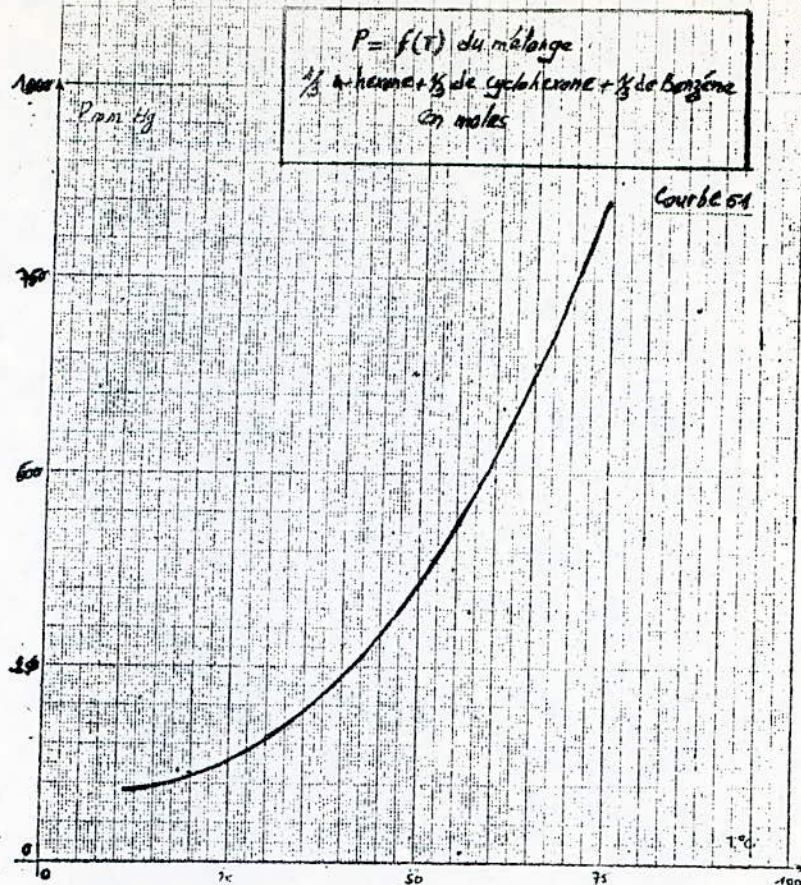
Variation de $P = f(T)$ pour la
coupe Naphtha [PT-102]

| $t^{\circ}C$ | pression mmHg | pression mmHg | pression mmHg | $\log P$ | $\log \frac{P}{T}$ |
|--------------|------------------|------------------|------------------|----------|--------------------|
| 20 | 48 | 52 | 50 | 2,04 | 2,41 |
| 30 | 69 | 73 | 70 | 2,09 | 2,30 |
| 40 | 90 | 80 | 80 | 2,10 | 2,49 |
| 50 | 107 | 105 | 105 | 2,12 | 2,29 |
| 60 | 142 | 148 | 140 | 2,14 | 2,09 |
| 70 | 159 | 152 | 155 | 2,15 | 2,12 |
| 80 | 158 | 162 | 160 | 2,17 | 2,08 |
| 90 | 200 | 205 | 204 | 2,19 | 2,05 |
| 100 | 252 | 260 | 256 | 2,20 | 2,08 |
| 102 | 260 | 264 | 261 | 2,21 | 2,06 |

CALCUL DE LA CHALEUR DE VAPORISATION:

$$P = \frac{-0,58}{0,57 \cdot 10^{-3}} = -1024$$

$$\Delta H_v \text{ exp} = 4677 \text{ cal/mol.}$$

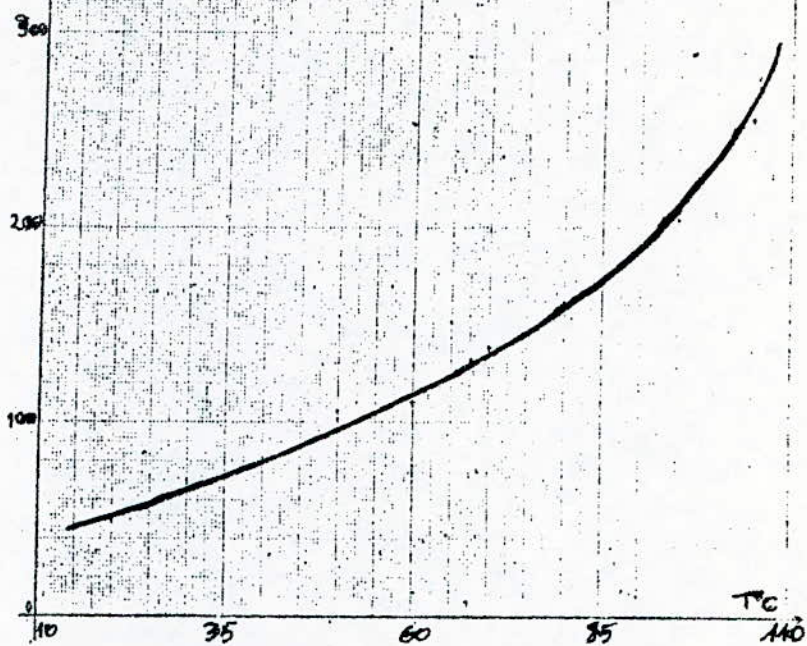


La fraction pétrolière

$$P = f(T) \text{ de la coupe Naphtha}$$

Naphtha

courbe : 53



La fraction pétrolière

$$\log P = f(1/T) \text{ de la coupe Naphtha}$$

Log P

courbe 54

$$P = \frac{-9,33}{0,37103} = -10,27$$

$$\Delta H_{\text{exp}} = 4697 \text{ cal/mol}$$

$$10^3 \frac{\text{J}}{\text{mol}}$$

Chapitre 2

ETUDE COMPARATIVE DES TENSIONS DE VAPEUR ET CHALEUR DE VAPORISATION EXPERIMENTALE ET THEORIQUE

I - ETUDE DE LA TENSION DE VAPEUR :

Dans un premier temps nous avons comparé les valeurs trouvées expérimentalement de la tension de vapeur à 25°C avec celles données par la théorie et cela pour les corps purs des différentes familles.

Dans un second temps nous avons comparé les valeurs expérimentales des mélanges avec celles calculées par l'équation d'Antoine dans le but de voir si la loi d'additivité de la tension de vapeur pour les mélanges de corps pur est correcte.

Nos résultats pour les corps purs et les mélanges de corps pur sont résumés dans les tableaux suivants.

La tension de vapeur des paraffines à 25°C

TABLEAU : 28

| Corps | $P_{mm\text{Hg}}$ exp | $P_{mm\text{Hg}}$ th | écart |
|-----------|--------------------------|-------------------------|-------|
| n-pentane | 500 | 512,50 | 3,5 % |
| n-hexane | 150 | 151,50 | 1 % |
| n-heptane | 50 | 45,70 | 8,6 % |

La tension de vapeur des naphtènes à 25°C.

TABLEAU : 29

| Corps | $P_{mm\text{Hg}}$ exp | $P_{mm\text{Hg}}$ th | écart |
|---------------------------|--------------------------|-------------------------|-------|
| cyclohexane | 97 | 97,58 | 0,6 % |
| méthylgly- -claptonane | 175 | 220,40 | 20 % |

La tension de vapeur des aromatiques à 25°C

TABLEAU : 30

| Corps | $P_{mm\text{Hg}}$ exp | $P_{mm\text{Hg}}$ th | écart |
|---------|--------------------------|-------------------------|-------|
| Benzène | 95 | 95,17 | 0,2 % |
| Toluène | 45 | 28,44 | 36 % |
| Xylène | 15 | 9,58 | 36 % |

Les paraffines

TABLEAU : 31

Calcul de la Tension de Vapeur du mélange
50% m-hexane + 50% n-heptane

| t°C | 1 n-hexane | | 2 n-heptane | | 3 Mélange 50% n hexane + 50% n heptane | | 4 en volume | | 5 en poids | | 6 Σ occ Pi / Σ Pi en mol% | | 7 Pmm Hg E. Antoine [Σ (2) * (4)] / 2 | | 8 Pmm Hg E. Antoine [(5) + (6) * (7)] / 3 | | 9 Pmm Hg E. Antoine [(5) + (6) * (7)] / 2 | | 10 | |
|-----|---------------|----------------------|----------------|----------------------|---|-----|----------------|-------|---------------|--------|---------------------------------|--|--|--|--|--|--|--|----|--|
| | Pex mmHg | Pmm Hg E. Antoine | Pex mmHg | Pmm Hg E. Antoine | | | | | | | | | | | | | | | | |
| 20 | 137 | 87 | 50 | 35,00 | 180 | 102 | 86 | 93,5 | 61,00 | 96,00 | | | | | | | | | | |
| 30 | 200 | 134,90 | 60 | 58,11 | 152 | 139 | 121 | 130,0 | 96,50 | 137,33 | | | | | | | | | | |
| 40 | 291 | 201,40 | 95 | 92,00 | 240 | 178 | 158 | 193,0 | 146,70 | 192,00 | | | | | | | | | | |
| 50 | 398 | 292,00 | 194 | 140,83 | 300 | 237 | 296 | 298,5 | 216,45 | 277,66 | | | | | | | | | | |
| 60 | 533 | 412,46 | 226 | 208,98 | 360 | 318 | 306 | 379,5 | 310,72 | 328,00 | | | | | | | | | | |
| 69 | 755 | 551,60 | 324 | 291,14 | 440 | 345 | 309 | 539,5 | 421,37 | 364,66 | | | | | | | | | | |

L'équation d'Antoine $\log P_s = A - \frac{B}{C + T}$

pour le n-hexane $\left\{ \begin{array}{l} A = 6,73812 \\ B = 1171,53 \\ C = 224,366 \end{array} \right.$

pour le n-heptane $\left\{ \begin{array}{l} A = 6,90240 \\ B = 1268,115 \\ C = 216,9 \end{array} \right.$

Les naphtènes

TABLEAU 32

Calcul de la tension de vapeur du mélange
50% cyclohexane + 50% méthylcyclopentane

| t°C | 1 | | 2 | | 3 | | 4 | | 5 | | 6 | | 7 | | 8 | | 9 | | 10 | |
|-----|-------------|----------------------|----------|----------------------|-----------------------|--|--|----------------------|--------------|--|----------------------|--|----------------------|--|----------------------|--|----------------------|--|----|--|
| | Cyclohexane | Méthylcyclo. C5 | | | Mélangé | | 50% cyclohexane + 50% méthylcyclopentane | | | | | | | | | | | | | |
| | Per mmHg | Pmm Hg G. Antoine | Per mmHg | Pmm Hg G. Antoine | Per mmHg en volume | | Per mmHg en poids | Per mmHg en moles | Σxi Pi / Σxi | | Pmm Hg G. Antoine | | | |
| 20 | 82,0 | 77,14 | 90 | 109,64 | 42 | | 103 | 100 | 85,0 | | 93,40 | | 81,66 | | | | | | | |
| 30 | 120,0 | 121,07 | 174 | 169,06 | 64 | | 151 | 130 | 147,0 | | 145,00 | | 115,00 | | | | | | | |
| 40 | 179,0 | 183,61 | 266 | 252,32 | 82 | | 188 | 184 | 222,5 | | 217,90 | | 158,33 | | | | | | | |
| 50 | 250,0 | 267,83 | 380 | 365,83 | 86 | | 242 | 237 | 315,0 | | 316,83 | | 188,33 | | | | | | | |
| 60 | 380,0 | 386,60 | 532 | 516,80 | 100 | | 277 | 295 | 456,0 | | 451,70 | | 229,00 | | | | | | | |
| 70 | 529,5 | 539,99 | 699 | 713,23 | 109 | | 306 | 325 | 614,0 | | 621,61 | | 246,66 | | | | | | | |
| 72 | 530,0 | 575,74 | 750 | 758,73 | 117 | | 315 | 335 | 640,0 | | 667,25 | | 255,66 | | | | | | | |

l'équation d'antoine $\log P_s = A - \frac{B}{c+t}$

pour le cyclohexane $\begin{cases} A = 6,84498 \\ B = 1203,526 \\ C = 222,863 \end{cases}$

pour le méthylcyclopentane $\begin{cases} A = 6,86283 \\ B = 1186,059 \\ C = 226,042 \end{cases}$

Les aromatiques

Calcul de la Tension de Vapeur du mélange
50% Benzéne + 50% Toluène

TABLEAU: 33

| t°c | 1 | | 2 | | 3 | | 4 | | 5 | | 6 | | 7 | | 8 | | 9 | | 10 | |
|-----|---------|--------|---------|--------|-------------------------------------|--|-----|--|-----|--|------|--|--------|--|------------------|--|-------------------|--|--------------------------|--|
| | Benzéne | | Toluène | | Mélange : 50% Benzéne + 50% Toluène | | | | | | | | | | $\Sigma x_i P_i$ | | Pmm Hg Antoine | | Pmm Hg $(5)+(6)+7)/3$ | |
| | | | | | | | | | | | | | | | | | | | | |
| 20° | 80 | 73,74 | 30 | 21,76 | 61 | | 62 | | 66 | | 55 | | 47,75 | | 63,00 | | | | | |
| 30° | 112 | 117,15 | 49 | 36,51 | 78 | | 78 | | 88 | | 80,5 | | 76,83 | | 81,33 | | | | | |
| 40° | 173 | 179,44 | 87 | 58,88 | 115 | | 111 | | 115 | | 112 | | 119,16 | | 113,66 | | | | | |
| 50° | 262 | 266,62 | 102 | 91,64 | 170 | | 157 | | 181 | | 182 | | 179,13 | | 173,33 | | | | | |
| 60° | 370 | 384,64 | 158 | 138,19 | 234 | | 242 | | 235 | | 264 | | 261,42 | | 237,00 | | | | | |
| 70° | 572 | 541,45 | 208 | 210,72 | 432 | | 327 | | 265 | | 390 | | 376,08 | | 358,33 | | | | | |
| 80° | 754 | 745,0 | 294 | 289,5 | 479 | | 431 | | 279 | | 524 | | 517,25 | | 396,33 | | | | | |

L'équation d'Antoine $\log P_S = A - \frac{B}{C+T}$

pour le benzéne $\begin{cases} A = 6,90565 \\ B = 1211,033 \\ C = 220,482 \end{cases}$

pour le toluène $\begin{cases} A = 6,95464 \\ B = 1344,8 \\ C = 219,482 \end{cases}$

TABLEAU 34

Mélange simulant une fraction Petrolière

Calcul de la Tension de vapeur du mélange: $\frac{1}{3}$ n-hexane + $\frac{1}{3}$ cyclohexane + $\frac{1}{3}$ benzène

| | 1 n-hexane | 2 cyclohexane | 3 benzene | 4 benzene | 5 benzene | 6 benzene | 7 Mélange: $\frac{1}{3}$ nC ₆ + $\frac{1}{3}$ cycloC ₆ + $\frac{1}{3}$ benzene | 8 en volume | 9 en poids | 10 en moles | 11 $\Sigma \text{vol} P_i / \Sigma \text{vol}$ $(1) + (2) + (3)$ | 12 $P_{\text{m}}^{\text{mm Hg}}$ E. Antoine | 13 $P_{\text{m}}^{\text{mm Hg}}$ (7) + (8) + (10) |
|-----|-----------------------|-----------------------|-----------------------|-----------------------|-----------------------|-----------------------|---|-----------------------|----------------------|----------------------|--|---|---|
| t°C | Pex mmHg E-Antoine | Pex mmHg en volume | Pex mmHg en poids | Pex mmHg en moles | | Pex mmHg E-Antoine | Pex mmHg (7) + (8) + (10) |
| 20 | 137 | 87,00 | 82 | 77,14 | 80 | 73,14 | 95 | 99 | 115 | 99,66 | 79,09 | 104,33 | |
| 30 | 200 | 134,90 | 120 | 121,07 | 112 | 117,15 | 143 | 151 | 207 | 144,00 | 124,37 | 167,00 | |
| 40 | 291 | 201,40 | 179 | 183,61 | 173 | 179,44 | 173 | 252 | 272 | 244,33 | 188,15 | 232,33 | |
| 50 | 298 | 292,00 | 250 | 267,83 | 262 | 268,62 | 225 | 352 | 356 | 269,33 | 275,48 | 311,00 | |
| 60 | 533 | 412,46 | 380 | 386,60 | 370 | 384,64 | 266 | 379 | 498 | 427,66 | 394,56 | 381,00 | |
| 69 | 755 | 551,60 | 460 | 524,48 | 455 | 523,47 | 298 | 658 | 642 | 556,66 | 533,18 | 532,66 | |

$$\text{l'Équation d'Antoine } \log P = A - \frac{B}{C + T}$$

Les constantes A, B et C des divers corps ont été citées dans les tableaux 31, 32 et 33.

tension de vapeur de la coupe Naphta:

Enfin nous avons voulu étudier la tension de vapeur d'une fraction pétrolière complexe, nous avons pris pour cela une coupe Naphta (102-177) qui correspond à l'intervalle de distillation des corps purs étudiés.

Coupe Naphta (102-177)

$$d_4^{20} = 0,7452$$

$$\eta = 1,420$$

$$P_A = 61$$

Intervalle de distillation:

| % V | 5 | 10 | 15 | 20 | 25 | 30 | 35 | 40 | 50 | 55 | 60 | 65 | 70 | 75 | 80 | 90 | 94 |
|-----|-----|-----|-------|-----|-----|-----|-----|-----|-----|-------|-----|-------|-------|-----|-----|-----|-----|
| t°C | 110 | 122 | 135,5 | 138 | 141 | 143 | 145 | 147 | 151 | 153,5 | 154 | 156,5 | 158,5 | 160 | 163 | 171 | 177 |

$$t_V = \frac{t_{10} + 2t_{50} + t_{90}}{4} \approx 150^\circ C. \quad s = \frac{t_{70} - t_{10}}{60} = 0,6\%$$

$$t_p = 151^\circ C \quad T_{\text{mav}} = 148^\circ C \quad T_m = 150^\circ C.$$

$$K_{\text{OOP}} = 10,8$$

Composition: méthode n. d. pA.

$$\% C_A = 1039,4n - 470,4d - 0,315P_A - 1094,3$$

$$\% C_A = 8,7\%$$

$$\% C_N = -1578,3n + 840,15d - 0,9619P_A + 1662,2$$

$$\% C_N = 26\%$$

$$\% C_P = 100 - (26 + 8,7)$$

$$\% C_P = 65,3\%$$

$$M = 130g. \quad T_C = 340^\circ C \quad P_C = 28,6$$

toutes ces valeurs ont été déterminées des abaques de fractions pétrolières.

Après la caractérisation de notre coupe Nous avons utilisé l'abaque "estimation de vapeur Reid avec les 2 pts : (5% ASTM et 20% ASTM) Nous avons déterminer la T.V.R.

$$T.V.R = 0,20 \text{ kg/cm}^2$$

II. ETUDE DE LA CHALEUR DE VAPORISATION

Nous avons calculé la chaleur de vaporisation des mélanges par les différentes équations empiriques :

- Équation de Ridel.
- Équation de Chen
- Expression de Trouton.

pour chaque corps et comparé les résultats avec ceux obtenus expérimentalement afin de pouvoir vérifier la loi d'additivité de cette grandeur dans les mélanges de même famille.

Nos résultats sur la chaleur de vaporisation sont rassemblés dans les tableaux suivants :

Les naphtènes

CALCUL DE LA CHALEUR DE VAPORISATION
du méthylcyclopentane et du cyclohexane

TABLEAU 36

| 1 | 2 | 3 | 4 | 5 | 6 | 7 | 8 | 9 | 10 |
|---------------------------|---------------------|--------------------------|-------------------------|----------------------------|-----------------------|---------------------|--------------------------|-------------------------|----------------------------|
| methylcyclopentane | | | | | cyclohexane | | | | |
| ΔH_v théorique | ΔH_v exp | ΔH_v E. Ridel | ΔH_v E. Chen | ΔH_v E. Trouton | ΔH_v théo. | ΔH_v exp | ΔH_v E. Ridel | ΔH_v E. Chen | ΔH_v E. Trouton |
| 7031 | 7082 | 6596,93 | 6104,47 | 7581 | 7204 | 7245 | 6754,82 | 7245 | 7245 |

CALCUL DE LA CHALEUR DE VAPORISATION DU MELANGE
50% méthylcyclopentane + 50% du cyclohexane

| ΔH_v E. trouton [(1) + (2)]/2 | ΔH_v théo $(1) + (2)$ $\frac{1}{2}$ | ΔH_v exp $(2) + (3)$ $\frac{1}{2}$ | ΔH_v exp mélange en volume | ΔH_v exp mélange en poids | ΔH_v exp mélange en vol | ΔH_v E. Ridel [(3) + (4)]/2 | ΔH_v E. Chen [(4) + (5)]/2 |
|---|---|--|---------------------------------------|--------------------------------------|------------------------------------|---|--|
| 7413 | 7117,50 | 7163,5 | 4664 | 5442 | 5321 | 6675,87 | 6127,56 |

$$[\Delta H_v] = \text{cal/mol.}$$

des équations de Ridel, Chen et Trouton ont été citées au tableau: 35

les aromatiques

CALCUL DE LA CHALEUR DE VAPORISATION
du Benzène et du Toluène

TABLEAU 37

| 1 | 2 | 3 | 4 | 5 | 6 | 7 | 8 | 9 | 10 |
|------------------------|---------------------|--------------------------|-------------------------|----------------------------|-----------------------|---------------------|--------------------------|-------------------------|----------------------------|
| Benzène | | | | | Toluène | | | | |
| ΔH_v théor. | ΔH_v exp | ΔH_v E. Ridel | ΔH_v E. Chen | ΔH_v E. Trouton | ΔH_v théo. | ΔH_v exp | ΔH_v E. Ridel | ΔH_v E. Chen | ΔH_v E. Trouton |
| 7353 | 7988 | 6948,78 | 5980,99 | 8673 | 8000 | 7897 | 7589,91 | 6867,43 | 7413 |

CALCUL DE LA CHALEUR DE VAPORISATION
DU: mélange 50% Benzène + 50% Toluène

| ΔH_v E. Trouton $[(5)+(10)]/2$ | ΔH_v théo $(1)+(2)$ $\frac{--}{2}$ | ΔH_v exp. $(2)+(7)$ $\frac{--}{2}$ | ΔH_v exp mélange en Vol. | ΔH_v exp mélange en Poids | ΔH_v exp mélange en moles | ΔH_v E. Ridel $[(5)+(8)]/2$ | ΔH_v E. Chen $[(4)+(9)]/2$ |
|--|--|--|-------------------------------------|--------------------------------------|--------------------------------------|---|--|
| 8043 | 7676,5 | 7942,5 | 7208 | 6831 | 6376 | 7269,34 | 6424,21 |

$$[\Delta H_v] = \text{cal/mol}$$

Les équations de Ridel, Chen et trouton ont été citées au tableau : 35

Calcul de la chaleur de vaporisation de la coupe Naphta :

On utilise la méthode de Maxwell :

Coupe Naphta

$$P_r \text{ Naphta} = \frac{P_c}{P'_c}$$



la paraffine

$$P_r \text{ para} = \frac{P'}{P'_c}$$



$$P_r = P_r \text{ para} = P_r \text{ naphta}.$$

$M_p = 150 \text{ g}$ de la courbe $M_p = f(T_{eb})$ à $T = 151^\circ\text{C}$

$P'_c = 21,5 \text{ atm}$ de la courbe $P'_c = f(M_p)$.

$$P_r = \frac{1}{28,5} = 0,035$$

$$P = 0,035 \times 21,5 = 0,7225 \text{ atm}.$$

$\Delta H_{Vp} = 140 \text{ Btu/lb}$ de la courbe $\Delta H_V = f(T_{eb}, P)$

$$\Delta H_{V \text{ naphta}} = \frac{140 \times 150}{130} = 161,5 \text{ Btu/lb}$$

$$\Delta H_{V \text{ naphta}} = 8964 \text{ cal/mol.}$$

Pour une coupe Naphta normale $T_V = 300^\circ\text{C}$ et
on calcule ΔH_V entre $11,8 < K_{napp} < 13$ on
trouve $\Delta H_V = 9700 \text{ cal/mol}$. Donc notre
écart par rapport à la théorie est de $7,4\%$.

Chapitre 3

UTILISATION DES RESULTATS

I. UTILISATION DES RESULTATS DE CHALEUR DE VAPORISATION POUR LE CALCUL DE LA CONTRIBUTION DU GROUPEMENT tCH_2

Principe: il s'agit de proposer des corrélations pour le calcul de la contribution du groupement tCH_2 dans la chaleur de vaporisation d'un hydrocarbure appartenant à une même famille.

Dans une première étape nous avons évalué la variation de chaleur de vaporisation entre 2 hydrocarbures successifs et après plusieurs tentatives de calcul de cette variation en fonction des paramètres courants (d, n, \dots) nous sommes arrivés à proposer quelques corrélations pour les différentes familles d'hydrocarbures et comparer nos résultats par d'autres équations :

- équation de Ridel.
- équation de Clapeyron.
- équation de Chen.

Nos résultats sont rassemblés dans les tableaux suivants :

| famille des | corps de référence | équation proposée |
|--------------|--------------------|--|
| paraffines | n-butane | $\Delta H_{v,p} = 5352 + (n-4) \times 59,585 \text{ Kuop}$ |
| naphthalènes | methylcydohexane | $\Delta H_{v,n} = 7680 + (n-7) \times 55,5 \text{ Kuop}$ |
| aromatiques | Toléne | $\Delta H_{v,A} = 8000 + (n-7) \times 50,5 \text{ Kuop}$ |

Comparaison des ΔH_V

TABLEAU 38

| | Corps | Knop | ΔH_V elap. | ΔH_V Ridel | ΔH_V Chen | ΔH_V E. proposé |
|-----------------|--------------------|-------|-----------------------|-----------------------|----------------------|----------------------------|
| Paraffines | m-pentane | 13,14 | 6160 | 6213 | 5613 | 6134,95 |
| | n-hexane | 12,91 | 6896 | 6564,75 | 6442,50 | 6813,02 |
| | n-heptane | 12,72 | 7575 | 7241,8 | 7260,14 | 7625,76 |
| | n-octane | 12,74 | 8360 | 7912,52 | 8103,08 | 8388,45 |
| Naphthalènes | éthyl cyclohexane | 11,47 | 8377 | 7501,47 | 7436,02 | 8316 |
| | propyl cyclohexane | 11,56 | 8944 | 7938,92 | 8056,54 | 8963 |
| | butyl cyclohexane | 11,68 | 9478 | 9072,39 | 8684,81 | 9624 |
| les aromatiques | éthylbenzène | 10,42 | 8600 | 8144,24 | 7133,58 | 9527 |
| | propylbenzène | 10,83 | 9001 | 8520,55 | 8161,99 | 9094 |
| | butylbenzène | 10,84 | 9550 | 9261,71 | 9022,96 | 9640 |

$$[\Delta H_V] = \text{cal/mol.}$$

Les expressions des équations ont été citées auparavant.

II - UTILISATION DES RESULTATS DE PV POUR LE CALCUL D'AUTRES PARAMÈTRES CARACTÉRISTIQUES - LA CONSTRUCTION DE NOMOGRAMME.

Dans ce chapitre nous avons utilisés des valeurs de la pression de vapeur pour accéder à 15 autres paramètres : P_c , T_c , V_c , M , τ_e , H_v , C_p , H_c , R_m , R_i , d_1 , n , c_g , Δ_a , T_s . par la construction de nomogramme.

Dans une première étape nous avions étudié le sens d'évolution de ces paramètres en fonction du nombre de carbone pour chaque famille.

Dans un deuxième temps nous avons essayé d'approcher ces paramètres à partir du log P_v en déterminant des points, triangles et droites pivots

Nous proposons 3 nomogrammes, un pour chaque famille avec un exemple d'utilisation :

Pour les paraffines : n-hexane
pour les naphténées : cyclo-hexane.
pour les aromatiques : Benzène

Nous résumerons dans les tableaux suivants les valeurs théoriques, les valeurs lues sur le nomogramme et leurs écarts.

- Comparaison des valeurs théoriques et réelles sur les
Nanogramme

TABLEAU 39

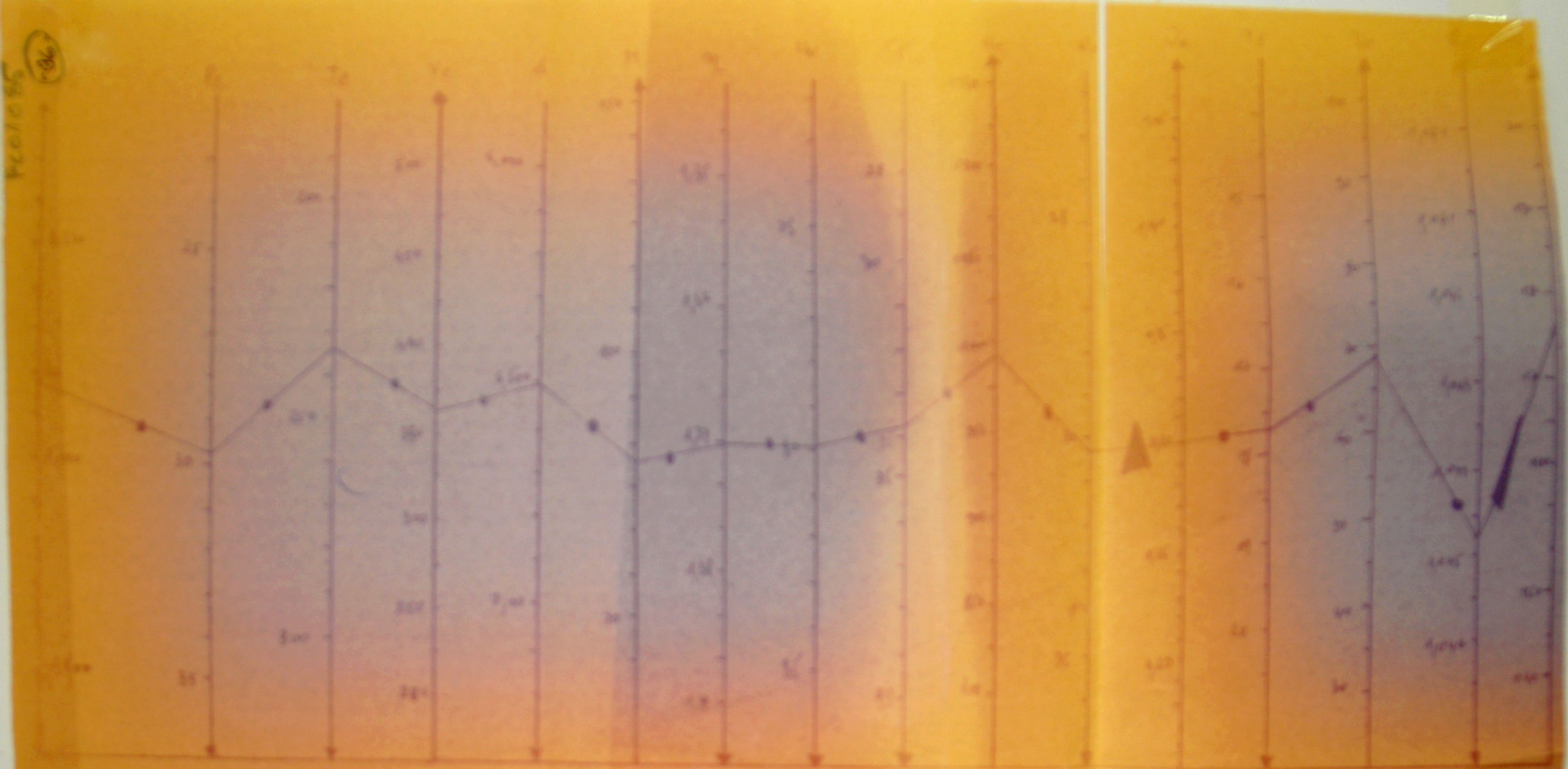
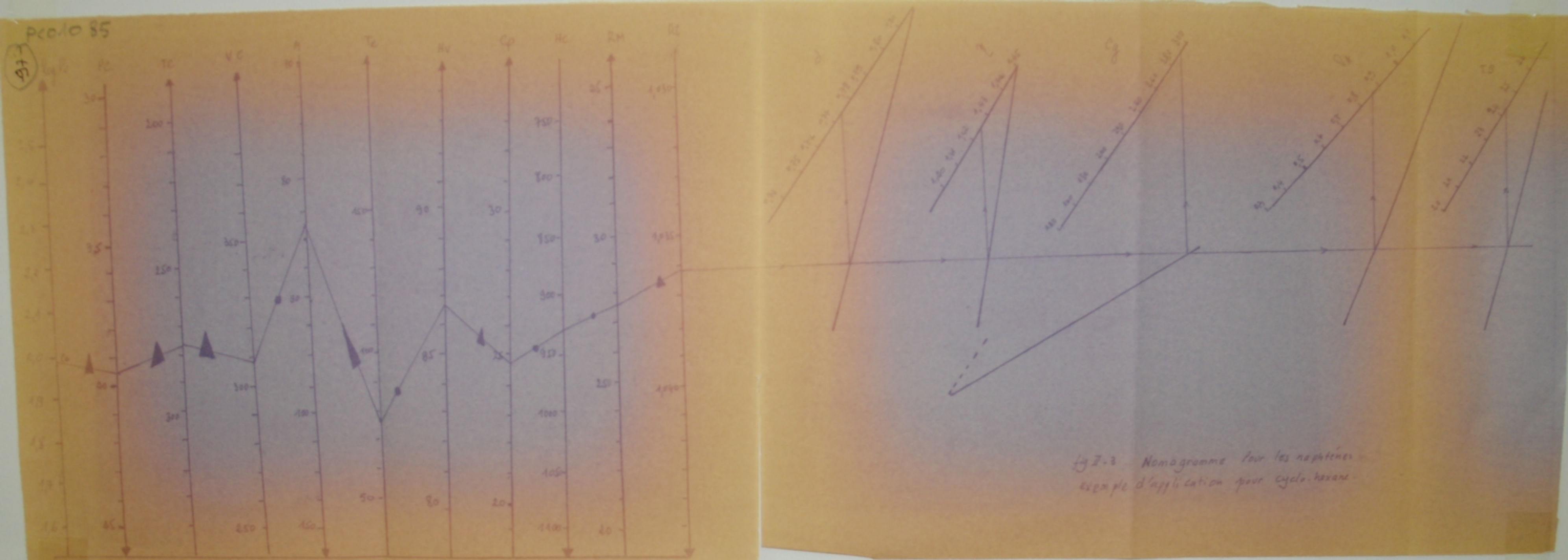
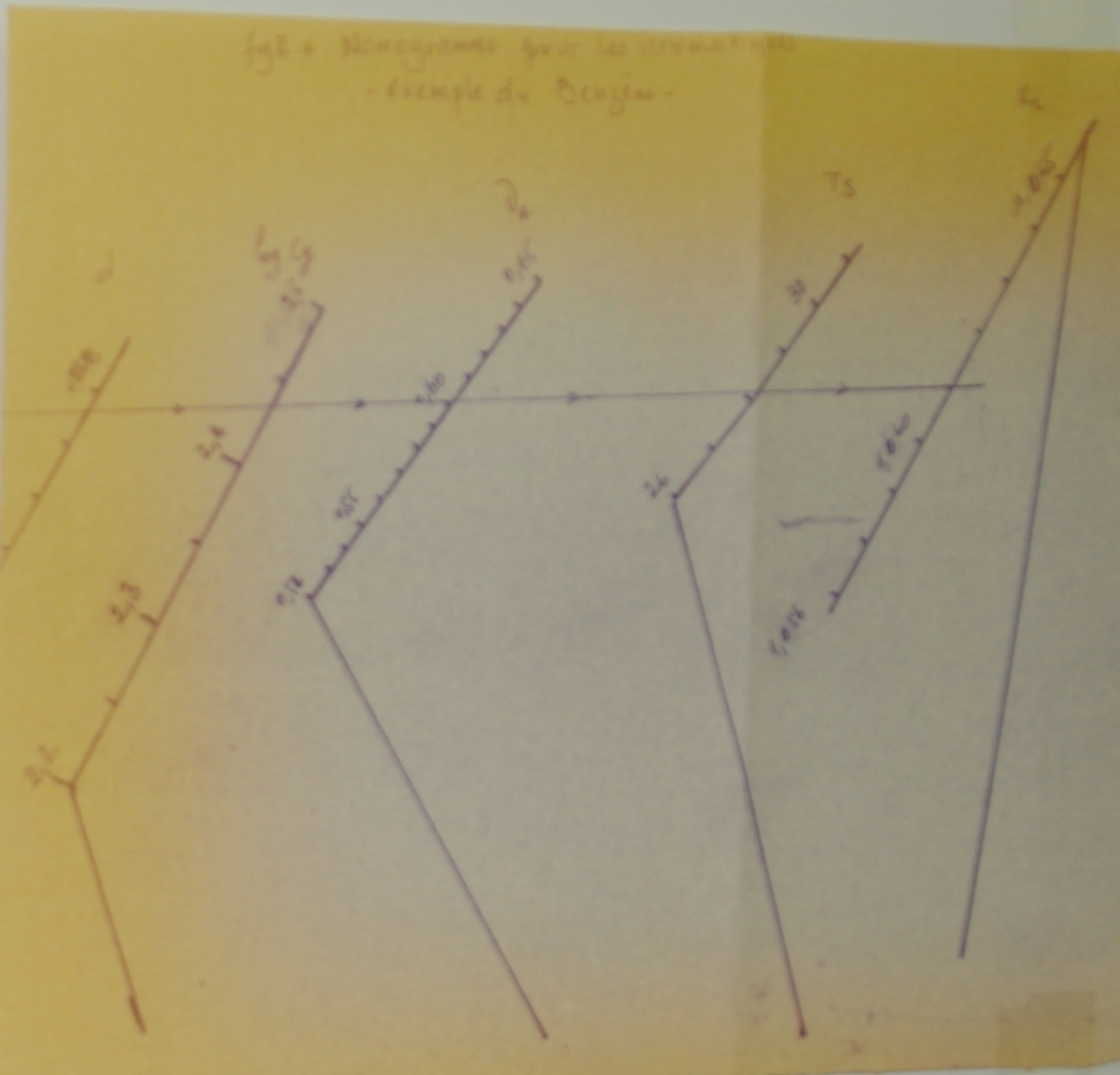
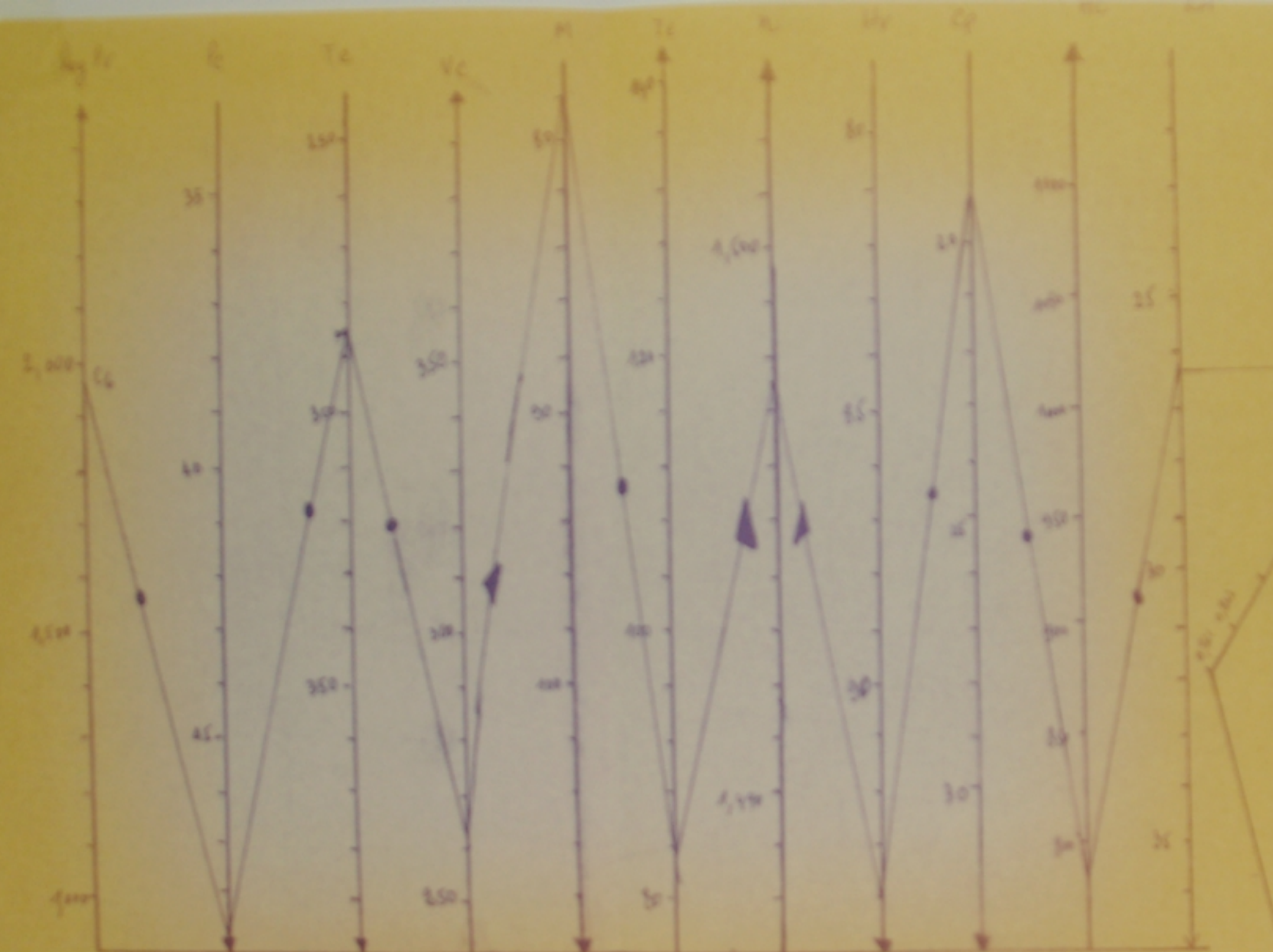


Fig. 1. Variation par le temps de la pression atmosphérique dans l'atmosphère terrestre.





COMMENTAIRE DES RESULTATS

1) Les Resultats des essais obtenus de l'appareillage Construit s'avèrent satisfaisants dans la mesure où les courbes de $P = f(T)$ vérifient l'équation de Clapeyron et montent bien que dans le cas où T augmente la pression de vapeur augmente. Les courbes $\log P = f(1/T)$ nous donnent des valeurs de ΔH_r correctes

2) des tableaux 28, 29 et 30 il ressort d'une part que l'écart à 25°C entre les pressions de vapeur des différentes familles croît des paraffines aux aromatiques (9% - 20% - 36%)

D'autre part on remarque pour les mélanges (Tableaux 31 - 32 - 33 et 34) que les valeurs sont satisfaisantes lorsque on est loin du point d'ébullition. On voit que la loi d'additivité de la pression de vapeur reste valable tant qu'on est loin du point d'ébullition d'un corps composant ce mélange ayant le plus bas point d'ébullition. De plus quand les hydrocarbures sont plus lourds l'erreur est moins importante et l'écart est plus faible entre les valeurs expérimentales (mélange en volume, en poids et en moles) et les valeurs théoriques ($\sum H_{xi}/\sum x_i$, équation d'Antoine, équation de Clapeyron)

On a calculé une valeur moyenne entre les mélanges en volume, en poids et en moles, cette valeur se rapproche plus des valeurs théoriques calculées.

On remarque dans le tableau 32 que les valeurs obtenues pour l'essai du mélange en volume sont loin de la réalité cela est dû à la pureté du méthyl cyclopentane.

- 3) La comparaison de la chaleur de vaporisation des divers mélanges avec celle obtenue à partir de la théorie et des équations empiriques (tableaux 35-36 et 37):
- Équation de Ridel.
 - Équation de Chen.
 - Équation de Trouton.

Montre que la loi d'additivité reste valable lorsqu'on est loin du point critique. L'écart entre les différentes valeurs est inférieur à 10% et l'équation de Chen semble donner des résultats qui se rapprochent de la réalité.

Même remarque pour la pression de vapeur: les valeurs du mélange méthyl/cyclopentane et du cyclohexane sont loin de la réalité cela est dû à la pureté des composants du mélange et aux perturbations dans l'essai.

4) Les équations citées dans le chapitre 3 pour le calcul de la contribution du groupement (C_4+) donnent des résultats satisfaisants dans la mesure où l'écart moyen entre les différentes valeurs est inférieur à 5%. Seulement une étude plus approfondie sur un éventail plus large de composés des différentes familles permettra d'affiner ces équations.

5) Des monogrammes proposés donnent des résultats en moins de 7% d'écart par rapport à la théorie seulement cette approche reste à parfaire.

6) La tentative de l'étude des fractions pétrolières reste à poursuivre.

CONCLUSION

Ce travail nous a permis tout d'abord de mettre au point un dispositif expérimental simple, facile d'utilisation pour la détermination de la tension de vapeur et la chaleur de vaporisation de n'importe quel corps ou mélange.

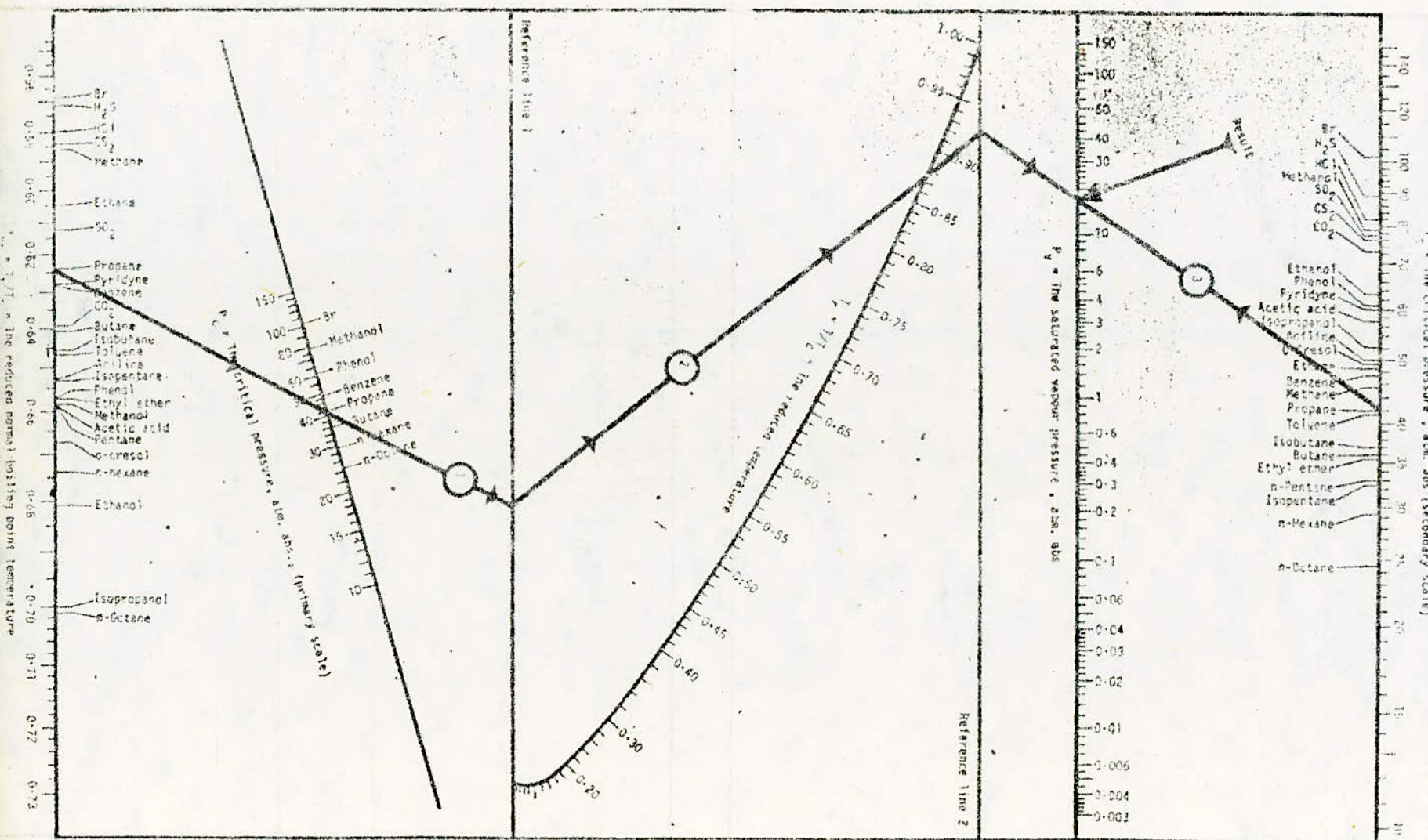
Les résultats obtenus confrontés à ceux de la théorie se sont avérés corrects. Par la suite nous avons vérifié les résultats obtenus expérimentalement et leurs écarts par rapport à ceux calculés par les équations théoriques. Les écarts constatés peuvent être dus à plusieurs causes dont la perfection de l'appareil.

L'exploitation des résultats de la tension de vapeur nous a permis de déterminer les valeurs de 15 autres paramètres caractéristiques d'un hydrocarbure en proposant des nomogrammes. Ensuite l'utilisation des résultats de ΔH_v nous a permis de déterminer la contribution du groupement de l'effet pour chaque famille d'hydrocarbures.

L'amélioration et le perfectionnement de l'appareillage pourront certainement donner plus de rigueur aux résultats obtenus, d'autres techniques plus élaborées pourront mieux nous permettre d'apprécier les résultats expérimentaux. C'est le cas de la chromatographie en phase gazeuse.

La tentative d'établissement d'un nomogramme est perfectible, il sera alors possible à partir de la connaissance d'une grandeur physique de déduire les autres grandeurs.

Calculation of vapour pressures



- NOMOGRAMME DE ZANKER -

- BIBLIOGRAPHIE -

1. P. WUITIER Le pétrole. Raffinage et génie chimique T₁
Editions Technip - 1972-
2. J. VIDAL : thermodynamique - Méthodes appliquées au ra-
ffinage et au génie chimique. Editions Technip. 1974
3. S.E. CHITOUR Raffinage du pétrole - Correlations sur le pétrole
brut et les fractions pétrolières T₁ et T₂. OPI - 1983
4. MAXWELL Data book on hydrocarbons
Ed Van Nostrand .
5. PERRY (J.H) - Chemical Engineering Hand-book
Mac Graw Hill.
6. Y. DOUCET - Cours de thermodynamique
DUNOD 1972
7. R. SUARDET . thermodynamique
Ed. J. B. Baillière et Fils 1969
8. SMITH et van Ness . CHEMICAL Engeneering Series -
Introduction to chemical Engeneering
Thermodynamics 3^e Ed. - Mac Graw Hill
9. B. CLAUDEL Bases du génie chimique
Technique et documentation 77
10. M. KARAPETIANTZ Thermodynamique chimique
Ed. de Moscow - Mir 1973

11. AFNOR. Méthode d'essais des produits pétroliers
Ed. Technip 1971
12. P. SOUCHAY CHIMIE PHYSIQUE - THERMODYNAMIQUE CHIMIQUE
Ed. MASSON 1968
13. R. KLING - THERMODYNAMIQUE GÉNÉRALE ET APPLICATIONS
Ed. Technip 1980

Références particulières :

1. RICHARD. A Wilsak et George Thodos
Ind. Eng. chem. Fundam. Vol. 23 N° 1. 1984
pp 75-82 .
2. Alwarappa SIVARAMAN, Joe. W. Magee et Riki Kobayashi
Ind. Eng. chem. Fundam. Vol 23 N° 1 1984
pp 97-100
3. J. Cordon. Hauna .
Ind. Eng. chem. Fundam. Vol 23 N° 1. 1984
pp 101-104
4. ZANKER . Process. Engineering 1977 Nov. pp 132-133
5. Journal : Pétrole et techniques Oct 81 n° 283
Compte rendu du 9^e Congrès français du Pétrole
6. Gilot B. GUIRANDE. SURAKWADIC .
Détermination de la T.V à l'aide d'un chromatographe + Institut de génie chimique - Toulouse .

TERMES UTILISÉS

P : Pression

V : vapeur

L : liquide

t, T : Température .

G : enthalpie libre .

g : enthalpie libre molaire

N : nombre de moles

ΔV : Variation du volume .

Z : facteur de compressibilité

w : facteur acentrique

T_c, P_c : Température et Pression critique .

T_r, P_r : Température et Pression réduite .

P_s, T_V, P_V : tension de vapeur .

ΔH_v ; L : chaleur latente de vaporisation .

ΔS ; : entropie .

T_b : Température d'ébullition .

T_{bp} : Température d'ébullition réduite

T_{p.c}, P_{p.c} : Température et pression pseudo-critique .

h : l'enthalpie

R : constante des gaz parfait

P_a : Pression atmosphérique .

T.V.V : tension de vapeur Vraie .

T.V.R : tension de vapeur Reid .

x_i : fraction molaire .

Hg : Mercure .

Courbes et figures

- 1 à 18 : $P = f(T)$ et $\log P = f(1/T)$ pour les paraffines
19 à 28 : " " " " " pour les naphténées
29 à 46 : " " " " pour les aromatiques
47 à 52 : " " " " pour le mélange
simulant une fraction pétrolière.
53 et 54 : $P = f(T)$ et $\log P = f(1/T)$ pour la fraction pétrolière la coupe Naphtes.

- fig II-1 : l'appareil de mesure de tension de vapeur
fig II-2 : Nomogramme pour les paraffines
fig II-3 : Nomogramme pour les naphténées
fig II-4 : Nomogramme pour les aromatiques

Les Annexes

1. pression de vapeur . (courbes)
2. tableau des constantes d'antoine
3. Abaque COX - chart
4. " de la tension de vapeur (0,1 à 100 atm)
5. " " " " " des fractions P.
6. Nomogramme de Zanker
7. abaque
8. Courbe $M = f(T_e)$ des n-paraffines
- 9: tableau des propriétés de phase liquide
- 10 : courbe $P_c = f(M)$ des n-paraffines
- 11 : tableau des valeurs théorique de DHv
- 12 : Abaque de Katinas
- 13 : Abaque de DHv des paraffines .

TABLEAUX

- 1 à 9 : variation de P fonction de T pour les paraffines
10 à 14 : " " " " " pour les naphténés
15 à 23 : " " " " " pour les aromatiques
24 à 26 : " " " " " n pour le mélange
 simulant une fraction pétrolière
27 : variation de P fonction de T pour la fraction
 pétrolière naphta.
28 : tension de vapeur à 25° des paraffines
29 : " " " " " " naphténés
30 : " " " " " " aromatiques
31 : calcul de la tension de vapeur d'un mélange de paraffines
32 : " " " " " " " de naphténés
33 : " " " " " " " d'aromatiques
34 : " " " " " " " simulant
 une fraction pétrolière
35 : calcul de la ΔH_v d'un mélange de paraffines
36 : " " " " " " de naphténés
37 : " " " " " " d'aromatiques
38 : " " " " par des équations proposées
 de contribution du groupements $\text{t}(\text{CH}_2)$.
39 : comparaison des valeurs théoriques et lues
 sur les homogrammes.

34 : " " " " " " " simulant
 une fraction pétrolière

35 : " " " " " " " simulant

- SOMMAIRE -

INTRODUCTION

Partie théorique

Chapitre 1 : ETUDE THERMODYNAMIQUE DE LA TENSION DE VAPEUR

I. INTRODUCTION

II. ETUDE DE LA TENSION DE VAPEUR D'UN CORPS PUR

| | |
|---|----|
| II-1. définition | 3 |
| II-2. Équation de Clapeyron | 4 |
| II-3. Équation d'Antoine | 8 |
| II-4. Équation de Calingeart-Davis | 8 |
| II-5. Utilisation d'un corps de référence : | |
| Abaque "Cox-Othmer" | 9 |
| II-6. Équations empiriques | 11 |
| II-6.1 expression de Rankine | 11 |
| II-6.2 expression de Kirchoff | 11 |
| II-6.3 expression d'Unwin | 11 |
| II-6.4. Expression proposée par Ridel | 11 |
| II-6.5 expression de Frost-Kalwatt | 11 |
| II-6.6 les équations de Thodos | 12 |
| II-6.7. Corrélation de R.A. Wilskand | 12 |
| II-6.8. Corrélation de J.C. Hanna | 14 |
| II-7. Expression de la tension de vapeur en coordonnées critiques | 15 |
| II-7.1. en fonction du facteur de compre- -ssibilité'. | 15 |
| II-7.2. en fonction du facteur acentrique | 15 |
| II-7.3. en fonction du paramètre de Ridel | 16 |
| II-7.4. calcul de la tension de vapeur d'un liquide de Van der Waals . | 16 |

| | | |
|----------------|--|----|
| II - 8 | Autres formules et méthodes | 17 |
| I - 8.1 | formule de Duppery | 17 |
| I - 8.2 | Relation de Regnault | 17 |
| I - 8.3 | Relation de Supré | 17 |
| I - 8.4 | Homogramme de Zantke | 17 |
| <u>III</u> | TENSION DE VAPEUR DES MÉLANGES DE CORPS PURS | 18 |
| <u>III</u> -1. | Loi des solutions idéales loi de Raoult | 18 |
| <u>III</u> -2. | Tension de vapeur d'un mélange | 18 |
| <u>IV</u> | TENSION DE VAPEUR DES FRACTIONS PÉTROLIÈRES | 19 |
| <u>IV</u> .1. | Influence de la pression total sur les P_i | 20 |
| <u>IV</u> .2. | Calcul de la T.V.V. de l'essence | 21 |

Chapitre: 2 LA CHALEUR LATENTE DE VAPORISATION

| | | |
|-----------------|---|----|
| I | DEFINITION | 22 |
| II | CHALEUR LATENTE DE VAPORISATION D'UN CORPS PUR | 22 |
| II-1. | Règle de Maxwell | 23 |
| II-2 | Méthode de calcul | 24 |
| <u>III</u> | Les corrélations | 25 |
| <u>III</u> -1 | Equation de Clapeyron | 25 |
| <u>III</u> -2 | Corrélation basée sur la loi des états correspondants | 26 |
| <u>III</u> -3. | Règle de Trouton | 26 |
| <u>III</u> -4. | Règle de Kistiakowsky | 27 |
| <u>III</u> -5. | Corrélation de Pitzer | 27 |
| <u>III</u> -6. | Corrélation de Chen | 27 |
| <u>III</u> -7 | Corrélation de Ridel | 28 |
| <u>III</u> -8. | Relation de Watson- theisson | 28 |
| <u>III</u> -9. | Equation de Bradford | 28 |
| <u>III</u> -10. | Equation de Katinas | 29 |
| <u>III</u> -11. | Corrélation de Landé Wuithier | 29 |

| | |
|--|-----------|
| III - 12. Equation de Haggumacher | 29 |
| III - 13. Corrélation sur ΔH_v des hydr. légers | 30 |
| III - 14. Corrélation de Slavaraman | 30 |
| III - 15. Formules pour divers corps | 32 |
| IV La CHALEUR LATENTE DE VAPORISATION D'UNE Fraction Pétrolière | 32 |
| V. Variation de la chaleur de vap. avec la T°. | 33 |

Partie expérimentale

Chapitre 1 ETUDE DE LA TENSION DE VAPEUR DES HYDROCARBURES

| | |
|-------------------------------------|----|
| I - Exposé du problème | 34 |
| II - Description de l'appareillage. | 34 |
| III - Mode opératoire | 35 |
| IV - Corps étudiés | 36 |
| V - Méthode de calcul. | 37 |
| VI - Tableaux et courbes des essais | 38 |

Chapitre 2. ETUDE COMPARATIVE DES TENSIONS DE VAPEUR ET CHALEUR DE VAPORISATION EXPERIMENTALE ET THÉORIQUE

| | |
|---|----|
| I - ETUDE DE LA TENSION DE VAPEUR | 80 |
| II - ETUDE DE LA CHALEUR DE VAPORISATION. | 88 |

Chapitre 3 : UTILISATION DES RESULTATS

| | |
|--|----|
| I - UTILISATION DES RESULTATS DE CHALEUR DE VAPORISATION POUR LE CALCUL DE LA CONTRIBUTION du groupement (CH_2) | 92 |
| II - UTILISATION DES RESULTATS DE P.V. POUR LE CALCUL D'AUTRES PARAMETRES CARACTÉRISTIQUES - NOMOGRAMME | 94 |

| | |
|-----------------------------|-----|
| - COMMENTAIRE DES RESULTATS | 99 |
| - CONCLUSION | 102 |
| - BIBLIOGRAPHIE | 104 |
| - TERMES UTILISES | 106 |
| - COURBES ET FIGURES | 107 |
| - TABLEAUX | 108 |
| - ANNEXES | |

